

Het niet-lineaire veersysteem benaderd volgens de methode van Ritz-Galerkin

Citation for published version (APA):

Leers, J. W. H. (1965). *Het niet-lineaire veersysteem benaderd volgens de methode van Ritz-Galerkin*. (DCT rapporten; Vol. 1965.045). Technische Hogeschool Eindhoven.

Document status and date:

Gepubliceerd: 01/01/1965

Document Version:

Uitgevers PDF, ook bekend als Version of Record

Please check the document version of this publication:

- A submitted manuscript is the version of the article upon submission and before peer-review. There can be important differences between the submitted version and the official published version of record. People interested in the research are advised to contact the author for the final version of the publication, or visit the DOI to the publisher's website.
- The final author version and the galley proof are versions of the publication after peer review.
- The final published version features the final layout of the paper including the volume, issue and page numbers.

[Link to publication](#)

General rights

Copyright and moral rights for the publications made accessible in the public portal are retained by the authors and/or other copyright owners and it is a condition of accessing publications that users recognise and abide by the legal requirements associated with these rights.

- Users may download and print one copy of any publication from the public portal for the purpose of private study or research.
- You may not further distribute the material or use it for any profit-making activity or commercial gain
- You may freely distribute the URL identifying the publication in the public portal.

If the publication is distributed under the terms of Article 25fa of the Dutch Copyright Act, indicated by the "Taverne" license above, please follow below link for the End User Agreement:

www.tue.nl/taverne

Take down policy

If you believe that this document breaches copyright please contact us at:

openaccess@tue.nl

providing details and we will investigate your claim.

WE-65-45

Het niet-lineaire Meersysteem benaderd volgens de
methode van Kitz-Galerkin.

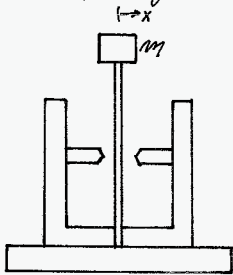
J. M. H. Reers . Juli 1965

Opdracht.

Maak m.b.v. magneetjes een niet-lineair veersysteem, zodanig dat de krachten tussen de magneetjes de niet-lineaire veer vervangen, en werk dit systeem uit volgens de methode van Ritz-Galerkin.

Lidvoering

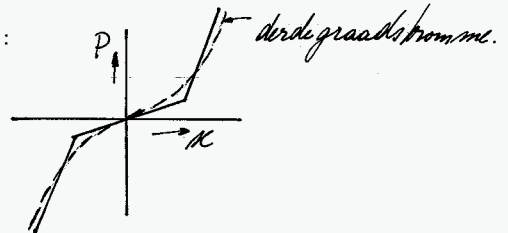
In eerste instantie is gedacht aan een uitbreiding van het systeem dat in januari 1964 reeds onderzocht is door Dhr. P.F.F. van de Ven.



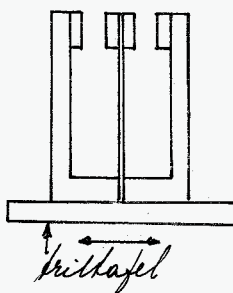
triltafel

de uitslag van de verticale strip, waaraan de massa m bevestigd is, wordt beperkt door twee horizontale penen, die instelbaar zijn.

De veer karakteristiek voor de massa m heeft de volgende vorm:



De veer karakteristiek is benaderd door een derdegraadsbromme.



triltafel

Er is gedacht aan een vervanging van de massa m door twee magneetjes plus twee magneetjes die deze massa afstoten, aantrekken of gecombineerd werken.

De veer karakteristiek voor de massa m is hier een stabiële bromme, die geen knik vertoont en wordt bepaald door de stijfheid van de verticale strip en de kracht tussen de magneetjes.

Bij dit systeem treden moeilijkheden op, omdat de eigenfrequentie te laag werd en de triltafel niet geschikt is voor hoge frequenties beneden 10 herzk.

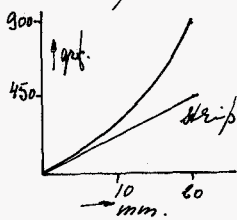
de maximale kracht tussen de magneetjes is 450 grf.

Het gewicht per magneet is 22 grf.

de versnellingsmeter, die op de massa geplaatst wordt, weegt 18 grf.

de afstand tussen de magneten mag niet te klein zijn, omdat de magneten tijdens het trillen, elkaar niet mogen raken.

Stel: afstand tussen de magneetjes is 20 mm.



Willen de magneten voor een voldoende niet-lineair effect zorgen, dan mag de stijfheid van de strip niet te groot zijn.

Stel: bij maximale uitslag de tegenwerkende kracht van de strip gelijk aan die van de magneetjes.

de eigenfrequentie van het lineaire systeem wordt:

$$\text{Massa } m: \frac{2 \times 22 + 18}{10^3} = 62 \times 10^{-3} \frac{\text{grf} \cdot \text{sec}^2}{\text{cm}}$$

$$\text{de veerijfheid } c: \frac{450}{2} = 225 \text{ grf/cm.}$$

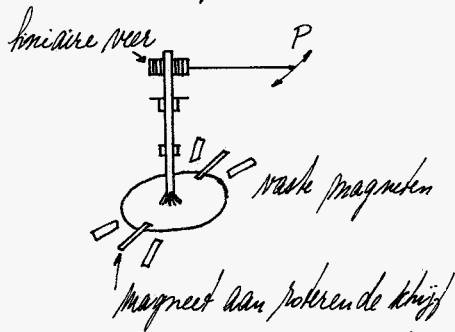
$$\omega_0^2 = \frac{c}{m} = \frac{225}{62 \times 10^{-3}} = 3620$$

$$f_0 = \frac{\omega_0}{2\pi} = \frac{60}{2\pi} = 9,55 \text{ hertz.}$$

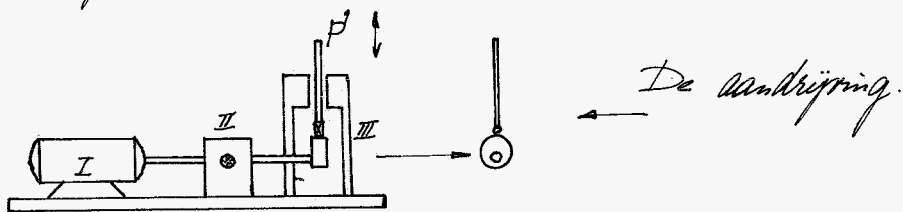
deze frequentie lijkt redelijk.

Het systeem is geprobeerd maar gaf juist door deze lage eigenfrequentie slechte resultaten omdat de triltafel hiervoor niet geschikt is.

Dit volgende systeem is gebouwd m.b.v. de FAG 12. bouwdoos en is in dit verslag behandeld.



ook van dit systeem is de eigenfrequentie laag.



I gelijkstroom motorlief

II Torental instelling m.b.v. twee schijfwieletjes

III Pakken mechanisme.

De aandrijving van het geëetste systeem is geschikt voor frequenties van 2 hertz en hoger.

Conclusie

Er waren drie mogelijkheden:

1^e de magneetjes vervangen door sterkere magneetjes, zodat de eigenfrequentie hoger zou worden en de triltafel gebruikt kon worden.

2^e dezelfde magneten gebruiken maar een aandrijving nemen die geschikt is voor lage frequenties.

3^e Een ander systeem zoeken.

De punten twee en drie zijn gecombineerd uitgevoerd.

De experimentele en theoretisch berekende Amplitude-frequentie grafiek komen redelijk overeen. Zie blz. 22^a

| <u>Inhoudsopgave.</u> | blz. |
|---|-------|
| Het niet-lineaire versysteem | 1-2. |
| Het separeren van de karakteristieke grootheden van het systeem. | 3-6 |
| De differentiaalvergelijking voor het beschouwde systeem. | 7 |
| Lees over variatierekening ter inleiding van de methode van Kitz-Galerkin | 8-10 |
| De methode van Kitz en Kitz-Galerkin. | 11-12 |
| De methode van Kitz-Galerkin toegepast op een tweede orde differentiaalvergelijking | 13-15 |
| De berekende amplitude als functie van de frequentie | 16-19 |
| De gemeten amplitude als functie van de frequentie. | 20-21 |
| Vergelijken van theoretische en gemeten amplitude-frequentie relatie | 22-24 |
| Conclusie | 24 |

Literatuur.

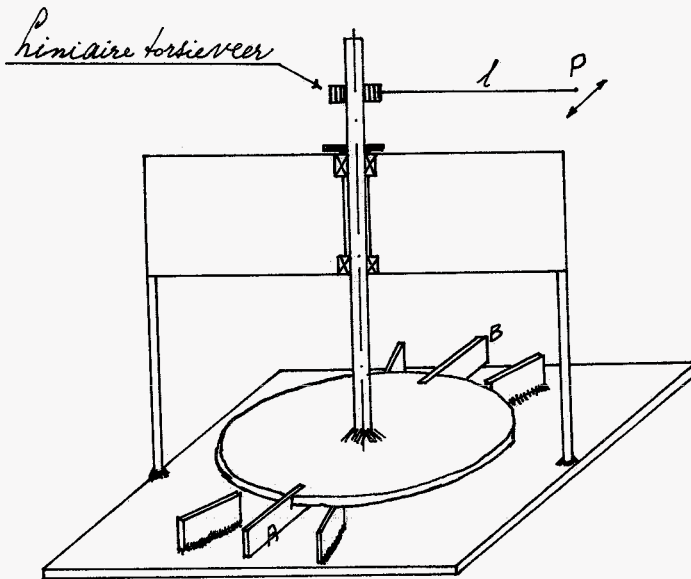
College dictaat: "Vortgevette Dynamica"

Verslag van de R.A.F. van de Ven over een niet-lineaire trilling (januari 1964)

Technische Mechaniek door Kichiger - Kneschke Band 3

Publikatie: Non-linear vibration problems treated by the Averaging Method of W. Kitz door K. Klotter.

Het niet-lineaire veersysteem



Het beschouwde systeem bestaat uit een verticaal draaibare as, die loodrecht staat op een horizontale schijf, waaraan twee magneten (A en B) bevestigd zijn.

Deze magneten kunnen bewegen tussen twee paar andere magneten, die aan de vaste grondplaat bevestigd zijn, en wel zodanig dat de magneten A en B afgestoten worden.

De afstotende kracht is niet-lineair met de hoekverdraaiing en zorgt voor het niet-lineaire gedrag van de ver karakteristiek.

Aan het boveninde van de verticale as is een lineaire torsieveer bevestigd, waarvan een uiteinde aan de verticale as vastzit en het andere aan het horizontale staafje l , dat draaibaar is om de verticale as.

Het systeem wordt aangedreven in het punt P zodanig dat P beweegt volgens $\varphi = \varphi_0 \cos \omega t$.

Stel: J (gfm 2 sec 2) : het roterende massa traagheidsmoment.

$M_t = a\varphi + b\varphi^3 + c\varphi^5$: het tegenwerkend moment t.g.v. de lineaire veer
 M_t (gfm) en de magneten samen.
 φ (rad)

$p\dot{\varphi}$: de demping
 p (gfm/rad 2 sec)

$M_v = d\varphi$: het moment t.g.v. de lineaire torsie veer.
 M_v (gfm)
 φ (rad)

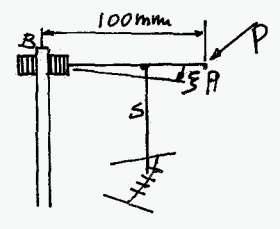
Voor het systeem geldt: $\bar{M} = \bar{E}$ of $M = J\ddot{\varphi}$

de differentiaalvergelijking voor dit systeem is dus:

$$\underline{J\ddot{\varphi} + p\dot{\varphi} + a\varphi + b\varphi^3 + c\varphi^5 = d\varphi_0 \cos \omega t}$$

Het bepalen van de karakteristieke grootheden van het systeem.

I de lineaire verkeerarakteristiek.



de roterende schijf wordt vastgezet.
 op een afstand 100 mm van B wordt de horizontale kracht P, loodrecht op AB, als functie van de hoek ϵ gemeten, m.b.v. een krachtmeter.

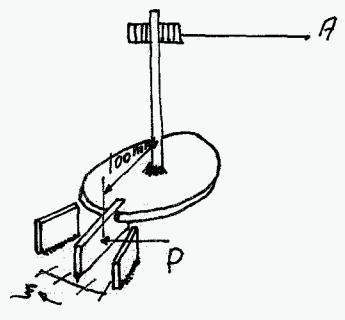
op de grondplaat is een gradenverdeling geplakt. Door aan de horizontale staaf AB een verticaal staafje S te bevestigen, kan de hoek ϵ in graden worden afgelezen.

de kracht P (N) als functie van de hoek ϵ (grad) is uitgezet in grafiek I op blz. 3^A

Het moment uitgevoerd door de lineaire torsieer $M_t = 57,14 \text{ N}$

M_t (N)
 ϵ (graden)

II de nietlineaire verkeerarakteristiek van magneten + lineaire ver samen.

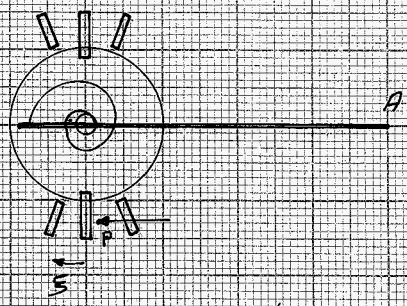


Het punt A wordt vastgezet.
 op een afstand 100 mm van de verticale as wordt de horizontale kracht P loodrecht op de magneten gemeten m.b.v. een krachtmeter.

de hoek ϵ wordt afgelezen op de gradenverdeling.

de kracht P (N) als functie van de hoek ϵ (grad) is uitgezet in grafiek I op blz. 3^A

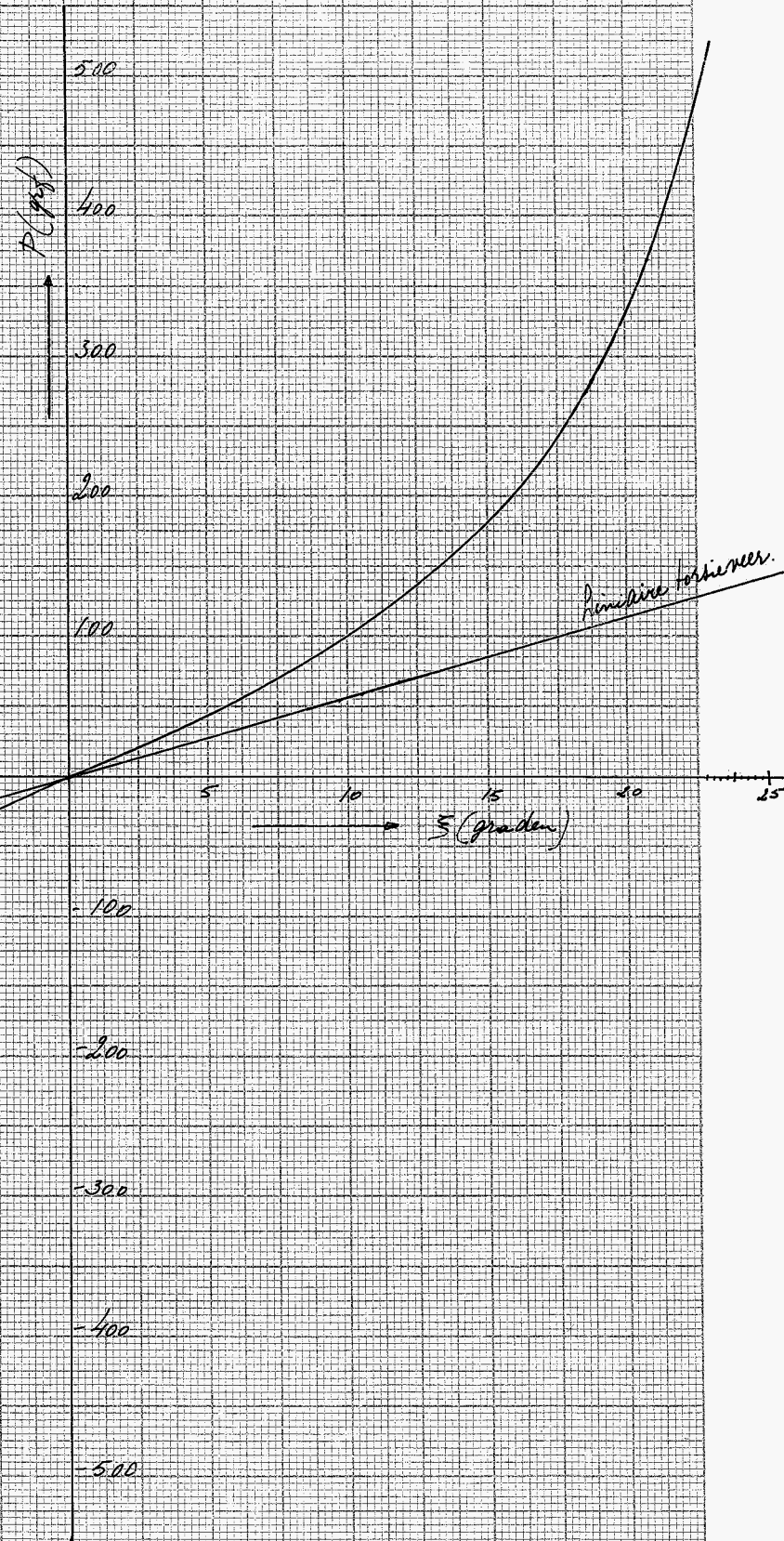
Grafiek I



Pin de tegenwerkende kracht op
 een draad van 100 mm

Pin de kracht teg de magneet
 plus de lineaire toename

Blij punt A blijft op zijn plaats
 bij een draaiing over 3 graden



Magneet plus lineaire toename

De kracht P (grf) als functie van de hoek ξ (grad) is uit de grafiek bepaald m.b.v. de methode der kleinste kwadraten.

$$P = 9,3708 \xi + 0,00050453 \xi^3 + 0,000043185 \xi^5$$

$$M_z = 93,708 \xi + 0,0050453 \xi^3 + 0,00043185 \xi^5$$

P (grf)
 ξ (graden)
 M_z (grfcm)

III Bepaling van massatraagheidsmoment J en dempingscoëfficiënt p
 op de horizontale schijf is een versnellingsmeter van het type Brüel en Kjær bevestigd.

Via een versterker en voedingsapparaat wordt de beweging van de versnellingsmeter geregistreerd op een oscillograaf.

In de versterker is een differentiaalverzekeling getrouwd, zodat de verplaatsing, snelheid of versnelling gemeten kan worden.

Het beeld op het scherm kan makkelijk gefotografeerd worden met een speciaal voor dit doel te gebruiken oscilloscope camera.

Het men de versterker op verplaatsing en stelt men een bepaalde tijdbasis op de oscillograaf in dan kan de frequentie bepaald worden door de standaardtijd T (sec) op de gemaakte foto te meten.

Frequentie $f = \frac{1}{T}$

Bij de bepaling van massatraagheidsmoment en dempingscoëfficiënt is alleen gebruik gemaakt van de lineaire reer.

De tegenwerkende magneten, die op de grondplaat zitten, zijn weggenomen.

Voor dit systeem geldt de volgende differentiaalvergelijking:

$$J\ddot{\varphi} + p\dot{\varphi} + d\varphi = 0 \quad \text{voor een vrije trilling.}$$

J : massatraagheidsmoment (grfcm^2)
 $p\dot{\varphi}$: het dempend moment
 $d\varphi$: het tegenwerkend moment van de lineaire reer
 φ : hoekvelddraaiing in rad.

de reage metdamping van dit lineaire systeem is gefotografeerd.

Kan de lineaire meer is bekend $M_V = 57,14 \text{ } \Xi$ M_V (grafen)
 Ξ (graden)
 of $M_V = 57,14 \times \frac{180}{\pi} \times \varphi$
 $M_V = 3200 \varphi$ φ (rad.)

de differentiaalvergelijking is nu:

$\gamma \ddot{\varphi} + \rho \dot{\varphi} + 3200 \varphi = 0$ met algemene oplossing:

$$\varphi = e^{-\frac{\rho}{2\gamma} t} \left\{ A \cos \sqrt{\frac{d}{\gamma} - \frac{\rho^2}{4\gamma^2}} t + B \sin \sqrt{\frac{d}{\gamma} - \frac{\rho^2}{4\gamma^2}} t \right\}$$

stel: $t=0 \Rightarrow \varphi=0$

$$\varphi = B e^{-\frac{\rho}{2\gamma} t} \sin \sqrt{\frac{d}{\gamma} - \frac{\rho^2}{4\gamma^2}} t$$

stel: $\frac{d}{\gamma} \gg \frac{\rho^2}{4\gamma^2}$ dan is $\omega_0 = \sqrt{\frac{d}{\gamma}}$ $\omega_0 = 2\pi f$

$$f = \frac{d}{\omega_0^2}$$

$$d = 3280$$

ω_0 wordt uit de foto bepaald

Als φ maximaal dan geldt $\varphi(m) = e^{-\frac{\rho}{2\gamma} t}$

Voor een tijdschip T sec. later is φ weer maximaal en geldt $\varphi(m+1) = e^{-\frac{\rho}{2\gamma} (t+T)}$

$$\text{dus } \frac{\varphi(m+1)}{\varphi(m)} = e^{-\frac{\rho}{2\gamma} T}$$

de quotiënten $\frac{\varphi(m+1)}{\varphi(m)}$ zijn uit de foto bepaald en daar f en T

nu ook bekend zijn, kan ρ bepaald worden.

Ingestelde tijdbasis op de oscillograaf 0,5 sec. per cm.

Opgemeten: 3 perioden (trillingen) over 17 mm.

door het fotograferen 9 mm op de foto $\hat{=}$ 10 mm op scherm van oscillograaf

Aantal trillingen per sec. $\frac{9 \times 3}{17 \times 0,5} = 3,2$.

Frequentie: $f = 3,2$ hertz.

$$\eta = \frac{d}{\omega^2} = \frac{3280}{4\pi^2 f^2} = \frac{3280}{4\pi^2 \cdot 3,2^2} = 8,12 \text{ gr/cm sec}^2$$

$$\underline{\eta = 8,12 \text{ gr/cm sec}^2}$$

$$\text{Damping: } \frac{y(n+1)}{y(n)} = e^{-\frac{\rho}{2,3} T}$$

$${}^2 \log y(n+1) - {}^2 \log y(n) = -\frac{\rho}{2,3} T$$

$$\rho = \frac{2,3}{T} [{}^2 \log y(n) - {}^2 \log y(n+1)]$$

$$\rho = 2 \times 8,12 \times 3,2 \times 2,3 [{}^{10} \log y(n) - {}^{10} \log y(n+1)]$$

$$\rho = 119,7 [{}^{10} \log y(n) - {}^{10} \log y(n+1)]$$

Opgemeten waarden van $y(n)$'s uit de foto in mm:

10, 16, 14, 12, 10,25, 9, 7,5

$$\underline{\rho = 7,77 \text{ gr/cm sec/rad.}}$$

De differentiaalvergelijking voor het beschouwde systeem.

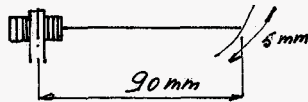
Op bladz. 1 is de algemene vorm gegeven:

$$J\ddot{\varphi} + p\dot{\varphi} + a\varphi + b\varphi^3 + c\varphi^5 = d\varphi_0 \cos \omega t \quad \varphi(\text{rad})$$

$$J: 8,12 \text{ g/cm}^2 \text{cc}^2$$

$$p: 7,77 \text{ g/cm}^2 \text{cc/rad.}$$

$$\varphi_0: \frac{2,5}{90} \text{ rad.}$$



$$M_t: \text{Totale tegenwerkend Moment: } 93,708 \text{ } \xi + 0,0050453 \xi^3 + 0,00043185 \xi^5$$

$$M_t (\text{g/cm}^2) \quad \xi \text{ grad.}$$

$$M_v: \text{tegenwerkend Moment simulaire torsieer: } 57,14 \text{ } \xi$$

$$M_v (\text{g/cm}^2) \quad \xi \text{ grad.}$$

De differentiaalvergelijking wordt dus:

$$8,12 \ddot{\varphi} + 7,77 \dot{\varphi} + \left(\frac{180}{\pi} \times 93,708\right) \varphi + \left(\frac{180^3}{\pi^3} \times 0,0050453\right) \varphi^3 + \left(\frac{180^5}{\pi^5} \times 0,00043185\right) \varphi^5 = \frac{2,5 \times 180}{90 \pi} \times 57,14 \cos(\omega t)$$

$$\varphi (\text{rad})$$

$$\text{of } \frac{\pi}{180} \times 8,12 \ddot{\xi} + \frac{\pi}{180} \times 7,77 \dot{\xi} + 93,708 \xi + 0,0050453 \xi^3 + 0,00043185 \xi^5 = \frac{2,5 \times 180}{90 \pi} \times 57,14 \cos(\omega t)$$

$$\xi (\text{grad})$$

$$\underline{0,1418 \ddot{\xi} + 0,1358 \dot{\xi} + 93,708 \xi + 0,0050453 \xi^3 + 0,00043185 \xi^5 = 91,1 \cos(\omega t)}$$

Stels over variatierekening ter inleiding van de methode van
Ritz - Galerkin. (zie boek; Kündiger - Kneschke. Technische Mechanik
 Band 3. blz. 242-251)

We bekijken eerst: $J(y(x)) = \int_a^b F(x, y, y') dx = \text{extremum}$ (1)

Dit probleem is een variatieprobleem.

De grondfunctie F is bekend. De opgave is nu een functie $y(x)$ zodanig te bepalen, dat aan (1) voldaan is.

$J(y(x)) = \int_a^b F(x, y, y') dx$ noemt men functionaal.

We nemen aan dat de functie F en $y(x)$ tweemaal differentieerbaar is naar x, y en y' .

Om een voorwaarde voor $y(x)$ te vinden, bekijken we de tweemaal differentieerbare functie $\bar{y}(x) = y(x) + \epsilon \eta(x)$, waarin $\eta(x)$ in het interval (a, b) begrensd is. ϵ is een parameter.

Men wordt $J(\bar{y}(x)) = \int_a^b F(x, y + \epsilon \eta, y' + \epsilon \eta') dx$.

$J(\bar{y}(x))$ is een functie van ϵ geworden en wordt aangeduid met $J(\epsilon)$.

Voor $\epsilon = 0$ is $\bar{y} = y$. $J(\epsilon)$ moet dan een extreme waarde aannemen.

Er moet dus gelden $\left. \frac{dJ(\epsilon)}{d\epsilon} \right|_{\epsilon=0} = 0$

$$\frac{dJ(\epsilon)}{d\epsilon} = \int_a^b \left[\frac{\partial F(x, \bar{y}, \bar{y}')}{\partial y} \eta(x) + \frac{\partial F(x, \bar{y}, \bar{y}')}{\partial y'} \eta'(x) \right] dx$$

We weten: $\frac{\partial F}{\partial y} = \frac{\partial F}{\partial y} \frac{\partial y}{\partial \bar{y}} = \frac{\partial F}{\partial \bar{y}}$

$\frac{\partial F}{\partial y'} = \frac{\partial F}{\partial y'} \frac{\partial y'}{\partial \bar{y}'} = \frac{\partial F}{\partial \bar{y}'}$

$$\frac{d \eta(\epsilon)}{d\epsilon} \Big|_{\epsilon=0} = \int_a^b \left[\frac{\partial F(x, y, y')}{\partial y} \eta(x) + \frac{\partial F(x, y, y')}{\partial y'} \eta'(x) \right] dx = 0$$

$$\frac{d \eta(\epsilon)}{d\epsilon} \Big|_{\epsilon=0} = \frac{\partial F}{\partial y} \eta \Big|_a^b + \int_a^b \left[\frac{\partial F}{\partial y} - \frac{d}{dx} \frac{\partial F}{\partial y'} \right] \eta dx = 0$$

Vit deze voorwaarde kan een differentiaalvergelijking afgeleid worden, indien $\frac{\partial F}{\partial y} \eta \Big|_a^b$ nul te maken is.

$\frac{\partial F}{\partial y} \eta \Big|_a^b$ is nul indien:

$$1^{\circ} \quad \eta(x) \Big|_a = \eta(x) \Big|_b = 0$$

of als:

$$2^{\circ} \quad \frac{\partial F}{\partial y} \Big|_a = \frac{\partial F}{\partial y} \Big|_b = 0$$

Dit 2^e noemt men de natuurlijke randvoorwaarden van het variatieprobleem.

Er moet nu dus gelden $\int_a^b \left[\frac{\partial F}{\partial y} - \frac{d}{dx} \frac{\partial F}{\partial y'} \right] \eta dx = 0$

Hieruit volgt: $\frac{\partial F}{\partial y} - \frac{d}{dx} \frac{\partial F}{\partial y'} = 0$

$$\text{of} \quad \frac{\partial F}{\partial y} - \left(\frac{\partial^2 F}{\partial x \partial y'} + \frac{\partial^2 F}{\partial y'^2} \frac{dy'}{dx} + \frac{\partial^2 F}{\partial y' \partial y} \frac{dy}{dx} \right) = 0$$

$$\text{of} \quad \frac{\partial^2 F}{\partial y'^2} y'' + \frac{\partial^2 F}{\partial y' \partial y} y' + \frac{\partial^2 F}{\partial y' \partial x} - \frac{\partial F}{\partial y} = 0$$

Dit variatieprobleem is nu vervangen door een tweede orde differentiaalvergelijking, die aangeduid wordt als de differentiaalvergelijking van Euler.

Meestal gebruikt men een andere notatie, nl die volgens Lagrange.

$$\bar{y}(x) = y(x) + \epsilon \eta(x) \quad \text{wordt geschreven als}$$

$$\delta y = \bar{y} - y = \epsilon \eta$$

Bij verdere uitwerking krijgt men dan

$$\delta y = \frac{\partial F}{\partial y'} \delta y' \Big|_a^b + \int_a^b \left(\frac{\partial F}{\partial y} - \frac{d}{dx} \frac{\partial F}{\partial y'} \right) \delta y \, dx = 0$$

en hieruit volgt weer de differentiaalvergelijking van Euler.

Uit de grondfunctie $F(x, y, y')$ kan makkelijk de differentiaalvergelijking van Euler bepaald worden.

Het omgekeerde, uit een tweede orde differentiaalvergelijking, de grondfunctie F bepalen is veel moeilijker.

Er kan nu aangetoond worden dat voor de functie F on eindig veel oplossingen mogelijk zijn.

De methode van Ritz-Galerkin geeft nu een goede benadering voor de functie $y(x)$ uit een gegeven tweede orde differentiaalvergelijking, m.b.v. variatierekening, zonder dat de grondfunctie F expliciet bepaald wordt.

Dat F niet expliciet bepaald hoeft te worden is het grote voordeel van deze methode.

de methode van Ritz en van Ritz-Galerkin.

de op te lossen differentiaalvergelijking is: $G(x, y, y', y'') = 0$
 met randvoorwaarden $y(a) = \bar{y}^a$
 $y(b) = \bar{y}^b$

deze differentiaalvergelijking is equivalent aan het variatieprobleem:

$$J(y) = \int_a^b F(x, y, y') dx = \text{extremum.}$$

met randvoorwaarden: $y(a) = \bar{y}^a$
 $y(b) = \bar{y}^b$

Als benaderingsoplossing kiest men de functie $\bar{y} = \bar{v}(x) + \sum_{m=1}^p c^m \bar{v}^m(x)$
 waarbij \bar{v}^m en $\bar{v}(x)$ zo gekozen worden, dat geldt:

$$\bar{v}^m(a) = \bar{y}^a \quad \bar{v}^m(b) = \bar{y}^b$$

$$\bar{v}^m(a) = 0 \quad \bar{v}^m(b) = 0$$

Door deze keuze is aan de randvoorwaarden van y voldaan.
 de functie \bar{y} is afhankelijk van de nog vrije parameters c^m
 Bepaal men deze parameters c^m nu zodanig, dat $J(\bar{y})$ een
 extreme waarde aanneemt, dan kan men verwachten dat
 $\bar{y}(x)$ een goede benadering is voor de exacte oplossing $y(x)$
 deze benadering is natuurlijk sterk afhankelijk van de keuze
 van de functies $\bar{v}^m(x)$ en zal des te beter zijn naarmate
 $\bar{v}^m(x)$ meer de exacte benadering is.

Bovendien is een betere benadering te verwachten naarmate
 men meer termen bij de keuze van \bar{y} meeneemt.

De voorwaarden om $J(\bar{y})$ extreem te maken, zijn

$$\frac{\partial}{\partial \bar{c}^m} J(\bar{c}^1, \bar{c}^2, \dots, \bar{c}^p) = 0 \quad m = 1, 2, \dots, p.$$

Deze p vergelijkingen noemt men de vergelijkingen van Ritz.

Als de grondfunctie F bekend, dan kan op deze manier $y(x)$ benaderd worden door $\bar{y}(x)$.

Deze methode duidt men dan als de methode van Ritz.

Meestal is de grondfunctie F echter onbekend en dan moet men de benaderingsmethode van Ritz-Galerkin gebruiken.

De benaderingsfunctie $\bar{y}(x)$ wordt hier op dezelfde manier gekozen

$$\text{nl } \bar{y}(x) = \bar{y}(x) + \sum_{m=1}^p \bar{c}^m \bar{v}^m(x) \text{ met bijbehorende randvoorwaarden.}$$

Ter bepaling van de parameters \bar{c}^m moet voldaan worden aan:

$$\frac{\partial}{\partial \bar{c}^m} J(\bar{y}(x, \bar{c}^1, \bar{c}^2, \dots, \bar{c}^p)) = 0$$

$$\frac{\partial}{\partial \bar{c}^m} J(\bar{c}^1, \bar{c}^2, \dots, \bar{c}^p) = 0$$

$$\int_a^b \left[\frac{\partial F}{\partial \bar{y}} \frac{\partial \bar{y}}{\partial \bar{c}^m} + \frac{\partial F}{\partial \bar{y}'} \frac{\partial \bar{y}'}{\partial \bar{c}^m} \right] dx = \int_a^b \left[\frac{\partial F}{\partial \bar{y}} \bar{v}^m + \frac{\partial F}{\partial \bar{y}'} \bar{v}^{m'} \right] dx = 0$$

$$\frac{\partial J}{\partial \bar{c}^m} = \left[\frac{\partial F}{\partial \bar{y}'} \bar{v}^m \right]_a^b + \int_a^b \left[\frac{\partial F}{\partial \bar{y}} - \frac{d}{dx} \frac{\partial F}{\partial \bar{y}'} \right] \bar{v}^m dx = 0$$

De term $\left[\frac{\partial F}{\partial \bar{y}'} \bar{v}^m \right]_a^b = 0$ door de keuze van de functie v in a en b

De term $\frac{\partial F}{\partial \bar{y}} - \frac{d}{dx} \frac{\partial F}{\partial \bar{y}'}$ is identiek aan de differentiaalvergelijking

$$G(x, \bar{y}, \bar{y}', \bar{y}''). \text{ zie bladz. 9}$$

De voorwaarden om $J(\bar{y})$ extreem te maken, zijn hier dus:

$$\int_a^b \left[G(x, \bar{y}, \bar{y}', \bar{y}'') \bar{v}^m \right] dx = 0 \quad m = 1, 2, \dots, p$$

Dit zijn de vergelijkingen van Galerkin.

p vergelijkingen, met p onbekenden, nl $\bar{c}^1, \bar{c}^2, \dots, \bar{c}^p$.

de methode van Kitz-Galerkin toegepast op een tweede-orde differentiaalvergelijking.

(zie publicatie van K. Klopper. Non-linear Vibration Problems treated by the Averaging method of W. Kitz.

de op te lossen differentiaalvergelijking heeft de volgende vorm:

$$a\ddot{q} + b\dot{q}(q) + c f(q) = P \cos \omega t$$

We nemen aan dat de functies $g(q)$ en $f(q)$ oneven zijn, dus

$$-f(q) = f(-q)$$

$$-g(\dot{q}) = g(-\dot{q})$$

We schrijven de differentiaalvergelijking in de volgende vorm.

$$E = \ddot{q} + 2Dk\dot{q}(q) + k^2 f(q) - p \cos \tau = 0$$

$$2Dk = \frac{b}{a} \quad p = \frac{P}{a}$$

$$k^2 = \frac{c}{a} \quad \tau = \omega t$$

We zoeken een periodieke oplossing q die we als volgt benaderen:

$$\bar{q} = Q \cos(\tau - \epsilon)$$

$$\bar{q} = A \cos \tau + B \sin \tau \quad A = Q \cos \epsilon$$

$$B = Q \sin \epsilon$$

Wanneer de term $\frac{\partial F}{\partial q'} \Big|_a^b$ nul is, is aan de randvoorwaarden voldaan. (zie blok 9)

Er wordt verondersteld, dat er een periodieke functie $F(\tau, q, q')$ bestaat met periode $2\bar{c}$ zodanig dat $\int_0^{2\bar{c}} F(\tau, q, q') d\tau = \text{extrem}$ equivalent is aan de hierboven genoemde differentiaalvergelijking met als oplossing een periodieke functie q

Als er een periodieke F dan is $\frac{\partial F}{\partial q'}$ ook periodiek en de term

$$\frac{\partial F}{\partial q'} \cos \tau \Big|_0^{2\bar{c}} = \frac{\partial F}{\partial q'} \sin \tau \Big|_0^{2\bar{c}} = 0$$

De voorwaarden volgens Galerkin worden hier dus:

$$1^{\circ} \int_0^{2\pi} E(\bar{q}) \cos z \, dz = 0 \quad \text{en} \quad 2^{\circ} \int_0^{2\pi} E(\bar{q}) \sin z \, dz = 0$$

Bekijkt eerst:

$$\begin{aligned} \int_0^{2\pi} q(\bar{q}) \cos z \, dz &= \int_0^{2\pi} q[-2q \sin(z-\varepsilon)] \cos z \, dz = - \int_0^{2\pi} q(q-2 \sin p) \cos(p+\varepsilon) \, dp \\ &= - \int_0^{2\pi} q(q-2 \sin p) (\cos p \cos \varepsilon - \sin p \sin \varepsilon) \, dp \\ &= 4 \sin \varepsilon \int_0^{\frac{\pi}{2}} q(q-2 \sin p) \sin p \, dp. \end{aligned}$$

$$\begin{aligned} \int_0^{2\pi} q(\bar{q}) \sin z \, dz &= \int_0^{2\pi} q[-2q \sin(z-\varepsilon)] \sin z \, dz = - \int_0^{2\pi} q(q-2 \sin p) \sin(p+\varepsilon) \, dp \\ &= - \int_0^{2\pi} q(q-2 \sin p) (\sin p \cos \varepsilon + \cos p \sin \varepsilon) \, dp \\ &= -4 \cos \varepsilon \int_0^{\frac{\pi}{2}} q(q-2 \sin p) \sin p \, dp \end{aligned}$$

$$\begin{aligned} \int_0^{2\pi} f(q) \cos z \, dz &= \int_0^{2\pi} f[q \cos(z-\varepsilon)] \cos z \, dz = \int_0^{2\pi} f(q \cos p) \cos(p+\varepsilon) \, dp \\ &= \int_0^{2\pi} f(q \cos p) (\cos p \cos \varepsilon - \sin p \sin \varepsilon) \, dp \\ &= 4 \cos \varepsilon \int_0^{\frac{\pi}{2}} f(q \cos p) \cos p \, dp \end{aligned}$$

$$\begin{aligned} \int_0^{2\pi} f(q) \sin z \, dz &= \int_0^{2\pi} f[q \cos(z-\varepsilon)] \sin z \, dz = \int_0^{2\pi} f(q \cos p) \sin(p+\varepsilon) \, dp \\ &= \int_0^{2\pi} f(q \cos p) (\sin p \cos \varepsilon + \cos p \sin \varepsilon) \, dp \\ &= 4 \sin \varepsilon \int_0^{\frac{\pi}{2}} f(q \cos p) \cos p \, dp. \end{aligned}$$

$$\int_0^{2\pi} \cos(z-\varepsilon) \cos z \, dz = \int_0^{2\pi} (\cos z \cos \varepsilon + \sin z \sin \varepsilon) \cos z \, dz = \pi \cos \varepsilon$$

$$\int_0^{2\pi} \cos(z-\varepsilon) \sin z \, dz = \int_0^{2\pi} (\cos z \cos \varepsilon + \sin z \sin \varepsilon) \sin z \, dz = \pi \sin \varepsilon$$

voorwaarde

$$1^{\circ} \int_0^{2\pi} E(\bar{q}) \cos z \, dz = \int_0^{2\pi} [-\Omega^2 q \cos(z-\varepsilon) + 2Dk q(\bar{q}) + k^2 f(\bar{q}) - p \cos z] \cos z \, dz = 0$$

$$2^{\circ} \int_0^{2\pi} E(\bar{q}) \sin z \, dz = \int_0^{2\pi} [-\Omega^2 q \cos(z-\varepsilon) + 2Dk q(\bar{q}) + k^2 f(\bar{q}) - p \cos z] \sin z \, dz = 0$$

$$1^{\circ} -\Omega^2 q \pi \cos \varepsilon + 2Dk \cdot 4 \sin \varepsilon \int_0^{\frac{\pi}{2}} q(\Omega q \sin p) \sin p \, dp + k^2 \cdot 4 \cos \varepsilon \int_0^{\frac{\pi}{2}} f(q \cos p) \cos p \, dp - \pi p = 0$$

$$2^{\circ} -\Omega^2 q \pi \sin \varepsilon + 2Dk \cdot 4 \cos \varepsilon \int_0^{\frac{\pi}{2}} q(\Omega q \sin p) \sin p \, dp + k^2 \cdot 4 \sin \varepsilon \int_0^{\frac{\pi}{2}} f(q \cos p) \cos p \, dp = 0$$

$$1^{\circ} \frac{-\Omega^2}{k^2} \cos \varepsilon + 2D \sin \varepsilon \frac{4}{kq\pi} \int_0^{\frac{\pi}{2}} q(\Omega q \sin p) \sin p \, dp + \cos \varepsilon \frac{4}{q\pi} \int_0^{\frac{\pi}{2}} f(q \cos p) \cos p \, dp - \frac{p}{k^2 q} = 0$$

$$2^{\circ} \frac{-\Omega^2}{k^2} \sin \varepsilon - \frac{2D}{k^2} \cos \varepsilon \frac{4}{kq\pi} \int_0^{\frac{\pi}{2}} q(\Omega q \sin p) \sin p \, dp + \sin \varepsilon \frac{4}{q\pi} \int_0^{\frac{\pi}{2}} f(q \cos p) \cos p \, dp = 0$$

Noem $\eta^2 = \frac{\Omega^2}{k^2}$ $F(q) = \frac{4}{\pi q} \int_0^{\frac{\pi}{2}} f(q \cos p) \cos p \, dp$

$$s = \frac{p}{k^2} = \frac{P}{C} \quad G(\Omega, q) = \frac{4}{kq\pi} \int_0^{\frac{\pi}{2}} q(\Omega q \sin p) \sin p \, dp$$

de beide voorwaarden worden nu:

$$1^{\circ} -\eta^2 \cos \varepsilon + 2D G(\Omega, q) \sin \varepsilon + F(q) \cos \varepsilon = \left(\frac{s}{q}\right)$$

$$2^{\circ} -\eta^2 \sin \varepsilon - 2D G(\Omega, q) \cos \varepsilon + F(q) \sin \varepsilon = 0$$

$$\text{of } -\eta^2 + F(q) = \left(\frac{s}{q}\right) \cos \varepsilon$$

$$2D G(\Omega, q) = \left(\frac{s}{q}\right) \sin \varepsilon$$

$$\text{of } [F(q) - \eta^2]^2 + 4D^2 G^2(\Omega, q) = \left(\frac{s}{q}\right)^2$$

$$\tan \varepsilon = \frac{2D G(\Omega, q)}{F(q) - \eta^2}$$

de berekende Amplitude als functie van de frequentie

op bladz. 7 is de differentiaalvergelijking voor het onderzocht systeem bepaald:

$$0,1418 \ddot{\xi} + 0,1358 \dot{\xi} + 93,708 \xi + 0,0050453 \xi^3 + 0,00043185 \xi^5 = 91,1 \cos(\omega t)$$

$$\text{of } 0,1418 \ddot{\xi} + 0,1358 \dot{\xi} + 93,708 [\xi + 5,37 \times 10^{-5} \xi^3 + 0,461 \times 10^{-5} \xi^5] = 91,1 \cos(\omega t)$$

Deze differentiaalvergelijking wordt met de benaderingsmethode van Ritz-Galerkin opgelost, zoals behandeld op bladz. 13

De opgeloste differentiaalvergelijking had de volgende algemene vorm:

$$a \ddot{q} + b g(\dot{q}) + c f(q) = P \cos(\omega t) \quad \text{met } -g(\dot{q}) = g(-\dot{q}) \\ -f(q) = f(-q)$$

$$\text{of } \ddot{q} + 2Dk g(\dot{q}) + k^2 f(q) - p \cos \tau = 0$$

$$\text{met } 2Dk = \frac{b}{a} \quad \tau = \omega t$$

$$k^2 = \frac{c}{a}$$

$$p = \frac{P}{a}$$

Als benadering is genomen $\bar{q} = Q \cos(\tau - \varepsilon)$ met als oplossing:

$$[F(Q) - M^2]^2 + 4D^2 Q^2 (\Omega, Q) = \left(\frac{p}{Q}\right)^2 \quad (1)$$

$$\text{van } \varepsilon = \frac{2DQ(\Omega, Q)}{F(Q) - M^2}$$

$$M^2 = \frac{p^2}{k^2} \quad F(Q) = \frac{4}{\pi Q} \int_0^{\frac{\pi}{2}} f(Q \cos \phi) \cos \phi d\phi$$

$$G = \frac{p}{k^2} = \frac{P}{c} \quad G(\Omega, Q) = \frac{4}{\pi Q} \int_0^{\frac{\pi}{2}} g(\Omega Q \sin \phi) \sin \phi d\phi$$

Voor bovengenoemde differentiaalvergelijking geldt dus:

$$a = 0,1418 \quad g(\dot{\xi}) = \dot{\xi}$$

$$k = 0,1358 \quad f(\xi) = \xi + 5,37 \times 10^{-5} \xi^3 + 0,461 \times 10^{-5} \xi^5$$

$$c = 93,708$$

$$P = 91,1$$

$$F(\xi) = \frac{4}{\pi Q} \int_0^{\frac{\pi}{2}} \left[Q \cos \beta + 5,37 \times 10^{-5} Q^3 \cos^3 \beta + 0,461 \times 10^{-5} Q^5 \cos^5 \beta \right] \cos \beta \, d\beta$$

$$F(\xi) = \frac{4}{\pi Q} \left[\frac{\pi}{4} Q + 5,37 \times 10^{-5} Q^3 \times \frac{3}{16} \pi + 0,461 \times 10^{-5} Q^5 \times \frac{5}{32} \pi \right]$$

$$F(\xi) = 1 + 4,0275 \times 10^{-5} Q^2 + 0,288 \times 10^{-5} Q^4$$

$$G(\Omega, Q) = \frac{4}{\pi Q} \int_0^{\frac{\pi}{2}} \Omega Q \sin \beta \sin \beta \, d\beta$$

$$G(\Omega, Q) = \frac{4}{\pi Q} \frac{\Omega}{4} Q = \frac{\Omega}{\pi} = M$$

$$M^2 = \frac{\Omega^2}{\pi^2} = \frac{4\bar{v}^2 f^2}{c^2} \quad \text{fis de frequentie}$$

$$M^2 = \frac{4\bar{v}^2 f^2}{\frac{93,708}{0,1418}} = 0,0596 f^2$$

$$s = \frac{P}{c} = \frac{91,1}{93,708} = 0,972$$

$$2bk = \frac{b}{a} \Rightarrow 4b^2 = \frac{b^2}{a^2 k^2}$$

$$k^2 = \frac{c}{a}$$

$$4b^2 G^2 = 4b^2 M^2 = \frac{b^2}{a^2 k^2} \cdot \frac{\Omega^2}{\pi^2} = \frac{b^2}{c^2} \Omega^2 = \frac{b^2}{c^2} 4\bar{v}^2 f^2 = \frac{0,1358^2 \cdot 4\bar{v}^2 f^2}{93,708^2} = 8,3 \times 10^{-5} f^2$$

de oplossing wordt dus

$$\left[F(\xi) - M^2 \right]^2 + 4b^2 G^2(\Omega, Q) = \left(\frac{s}{Q} \right)^2$$

$$\left[1 + 4,0275 \times 10^{-5} Q^2 + 0,288 \times 10^{-5} Q^4 - 0,0596 f^2 \right]^2 + 8,3 \times 10^{-5} f^2 = \left(\frac{0,972}{Q} \right)^2$$

hierin is: Q : de amplitude in graden

f : de frequentie.

We zien dat de invloed van de demping klein is en verwaarlozen
dure in de berekening, zodat de op te lossen vergelijking gegeven
wordt door:

$$\left[1 + 4,027 \times 10^{-5} Q^2 + 0,288 \times 10^{-5} Q^4 - 0,0596 f^2\right]^2 = \left[\frac{0,972}{Q}\right]^2$$

De ruggegraad van het systeem krijgt men als $\text{Pw} = 0$ dus als $s = \frac{f}{\omega} = 0$
de vergelijking voor de ruggegraad luidt:

$$1 + 4,027 \times 10^{-5} Q^2 + 0,288 \times 10^{-5} Q^4 - 0,0596 f^2 = 0$$

| f. | Q(grad) |
|------|---------|
| 4,09 | 0 |
| 4,7 | 4,3 |
| 4,15 | 9,6 |
| 4,5 | 16,1 |
| 5 | 19,8 |

Daar de demping nul verondersteld wordt, is $\text{Im } \varepsilon = 0 \Rightarrow \varepsilon = 0$
 $\varepsilon = \pi$

Voor $\varepsilon = 0$, de phasing is in fase, wordt de Amplitude - frequentie relatie
gegeven door de volgende vergelijking:

$$1 + 4,027 \times 10^{-5} Q^2 + 0,288 \times 10^{-5} Q^4 - 0,0596 f^2 = \frac{0,972}{Q}$$

$$\text{of: } 0,288 Q^5 + 4,027 Q^3 + Q \times 10^5 [1 - 0,0596 f^2] = 97200$$

| f | Q(grad) |
|-----|---------|
| 1 | 1,0 |
| 3 | 2,1 |
| 3,5 | 3,55 |
| 4 | 10,6 |
| 4,5 | 17,2 |
| 5 | 20,7 |

Voor $\varepsilon = \tau$, de trilling is in resonantie, leidt de Amplitude-frequentie relatie
 $0,288 \vartheta^5 + 4,027 \vartheta^3 + \vartheta \times 10^5 [1 - 0,0596 f^2] = -97200$

| f | ϑ (grad) | |
|-----|--------------------|------|
| 4,4 | 6,7 | |
| 4,5 | 4,69 | 14,8 |
| 5 | 1,98 | 19,6 |
| 6 | 0,85 | |

Daar er demping is het systeem is, dat de ruggegraat de beide andere grafieken in een bepaald punt snijden

$$[F(\vartheta) - M^2]^2 + 4B^2G^2(Q, \Omega) - \left[\frac{S}{\vartheta}\right]^2$$

Ruggegraat $F(\vartheta) - M^2 = 0$

Het demppunt ligt op de kromme: $4B^2G^2 = \left(\frac{S}{\vartheta}\right)^2$

$$\text{of } 2B\vartheta = \frac{S}{\vartheta} \quad \vartheta \text{ is hier } \vartheta \text{ (zie Blok 17)}$$

$$2B\vartheta = 5.$$

Op blok. 17 is berekend: $4B^2G^2 = 8,3 \times 10^{-5} f^2$.

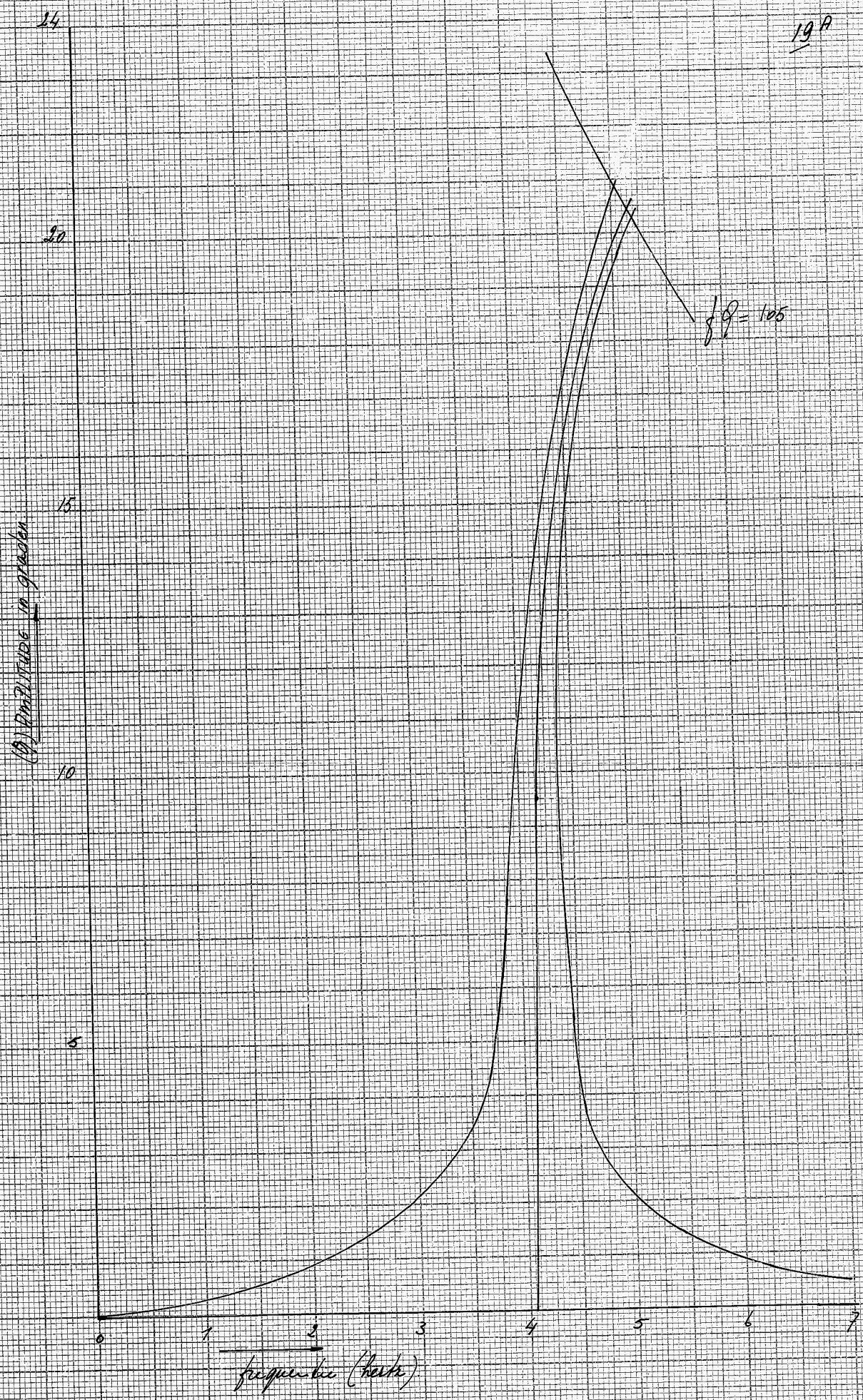
$$\left(\frac{5}{\vartheta}\right)^2 = \left[\frac{0,972}{\vartheta}\right]^2$$

$$8,3 \times 10^{-5} f^2 \vartheta^2 = 0,972^2$$

$$f \vartheta = \frac{0,972}{\sqrt{8,3 \times 10^{-5}}} = 605$$

| f | ϑ (grad) |
|-----|--------------------|
| 4,5 | 23,3 |
| 5 | 21. |
| 5,5 | 19,1 |

de berekende Amplitude-frequentie karakteristiek is op de volgende blok. 19 in grafiek gebracht.



de gemeten amplitude als functie van de frequentie.

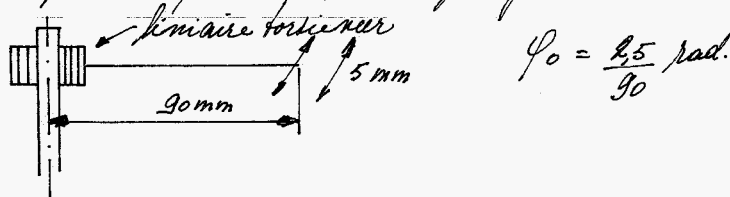
de meting van de amplitude als functie van de frequentie is uitgevoerd m.b.v. de op bladz. 4 reeds aangegevende versnellingsmeter van het type Brüel en Kjær, die op de horizontale schijf bevestigd is.

de beweging van de versnellingsmeter is geregistreerd op een oscillograaf.

de pasturker tussen versnellingsmeter en oscillograaf is op verplaatsing gezet, zodat het beeld op het scherm de beweging van de schijf als functie van de tijd registreert.

dit beeld is gefotografeerd met een speciale oscilloscope camera.

de amplitude van de aandrijving φ_0 , wordt constant gehouden.



de frequentie f wordt veranderd met de schijfwielen tussen electromotor en nokkenschijf.

Daar de ingestelde tijdbasis van de oscillograaf bekend is, kan de frequentie uit de foto bepaald worden door het opmeten van het aantal trillingen per cm.

Er is een y-ling gemaakt tussen de opgemeten amplitude op de foto en de werkelijke amplitude van de schijf.

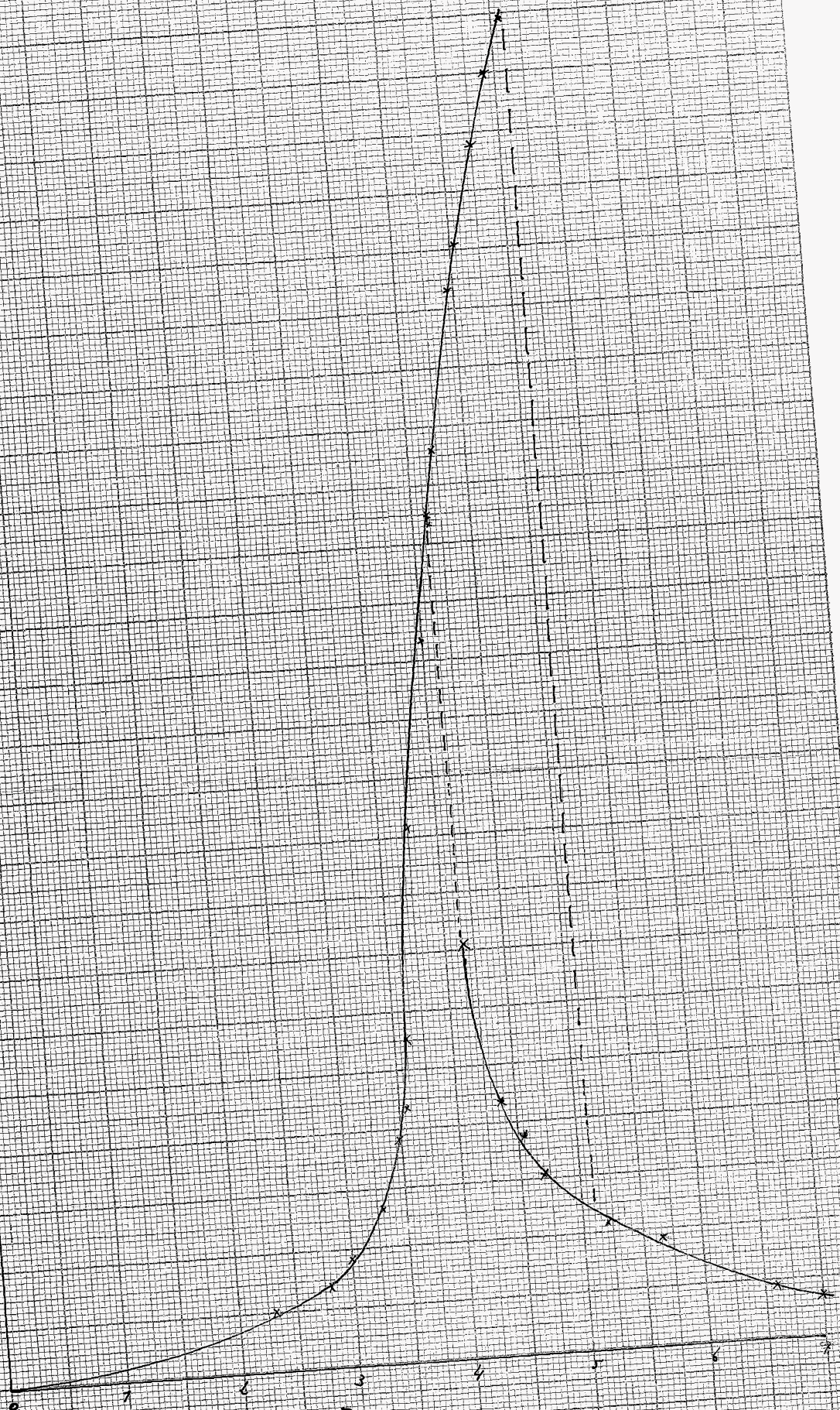
| Werkelijke Ampl. φ (graden) | Opgemeten Ampl. op de foto (mm) |
|--|------------------------------------|
| 20 | 17,5 |
| 18 | 15,4 |
| 15 | 13 |
| 10 | 8,25 |

Foto nr 1 t/m 13 is genomen bij toenemende frequentie
 Foto nr 14 t/m 22 is genomen bij afnemende frequentie
 Foto nr 46 t/m 53 is genomen bij toenemende frequentie.

| Foto nr | Gemeten top-waarde, mm | Gemeten frequentie | Amplitude φ (grad.) |
|---------|------------------------|--------------------|-----------------------------|
| 1 | 9,1 | 3,6 | 5,51 |
| 2 | 15,1 | 3,75 | 9,16 |
| 3 | 20,7 | 4 | 12,35 |
| 4 | 25,1 | 4,125 | 14,5 |
| 5 | 27 | 4,2 | 15,6 |
| 6 | 28 | 4,45 | 18,3 |
| 7 | 33,4 | 4,55 | 19,1 |
| 8 | 36,4 | 4,75 | 20,8 |
| 9 | 40 | 5,09 | 22,9 |
| 10 | 38,4 | 4,9 | 22 |
| 11 | 41,6 | 5,14 | 23,8 |
| 12 | 3,6 | 5,2 | 2,18 |
| 13 | 3,7 | 5,66 | 1,88 |
| 14 | 5 | 4,7 | 3,03 |
| 15 | 6,2 | 4,55 | 3,76 |
| 16 | 7,2 | 4,375 | 4,37 |
| 17 | 11,7 | 4,167 | 7,1 |
| 18 | 25 | 4,125 | 14,4 |
| 19 | 23,2 | 4,07 | 13,4 |
| 20 | 19,1 | 3,91 | 11,6 |
| 21 | 13,6 | 3,725 | 8,25 |
| 22 | 9,5 | 3,633 | 5,76 |
| 46 | 16,5 | 2,33 | 1 |
| 47 | 23 | 2,01 | 1,39 |
| 48 | 15,5 | 3 | 1,88 |
| 49 | 22 | 3,3 | 2,67 |
| 50 | 31,5 | 3,5 | 3,83 |
| 51 | 35 | 3,57 | 4,25 |
| 52 | 11,8 | 7,1 | 0,72 |
| 53 | 14 | 6,6 | 0,86 |

Deze waarden zijn op de volgende bladz. in grafiek gebracht.

Amplitude in graden



Frequentie (Hertz)

Vergelijken van theoretische en gemeten Amplitude-frequentie relatie

Op de volgende bladz. zijn de theoretische en gemeten relatie in een grafiek onderzocht.

We bekijken de theoretische relatie tussen φ en f , omdat meronder-
scheid wordt dat de fout in de gemeten waarden, klein is.

de invloed van de demping wordt verwaarloosd.

de differentiaalvergelijking is:

$$\frac{\pi}{180} \ddot{\varphi} + c \left(\dot{\varphi} + 5,37 \times 10^{-5} \dot{\varphi}^3 + 0,461 \times 10^{-5} \dot{\varphi}^5 \right) = P \cos \omega t$$

$$J = 8,12 \text{ g/cm}^2 \text{sec}^2$$

$$c = 93,708 \text{ g/cm/grad.}$$

$$P = 91,1$$

$$F(\dot{\varphi}) = 1 + 5,37 \times 10^{-5} \times \frac{\pi}{9} \dot{\varphi}^2 + 0,461 \times 10^{-5} \times \frac{\pi}{9} \dot{\varphi}^4$$

$$F(\dot{\varphi}) = 1 + 4,027 \times 10^{-5} \dot{\varphi}^2 + 0,288 \times 10^{-5} \dot{\varphi}^4$$

$$M^2 = \frac{\omega^2}{k^2} = \frac{\omega^2}{\frac{c}{\frac{\pi}{180} J}} = \frac{4\pi^2 f^2}{\frac{c}{\frac{\pi}{180} J}}$$

de vergelijking tussen φ en f is:

$$[F(\dot{\varphi}) - M^2]^2 = \left[\frac{91,1}{\varphi} \right]^2$$

$$\left[1 + 4,027 \times 10^{-5} \dot{\varphi}^2 + 0,288 \times 10^{-5} \dot{\varphi}^4 - \frac{4\pi^2 f^2}{\frac{c}{\frac{\pi}{180} J}} \right]^2 = \left[\frac{91,1}{\varphi} \right]^2$$

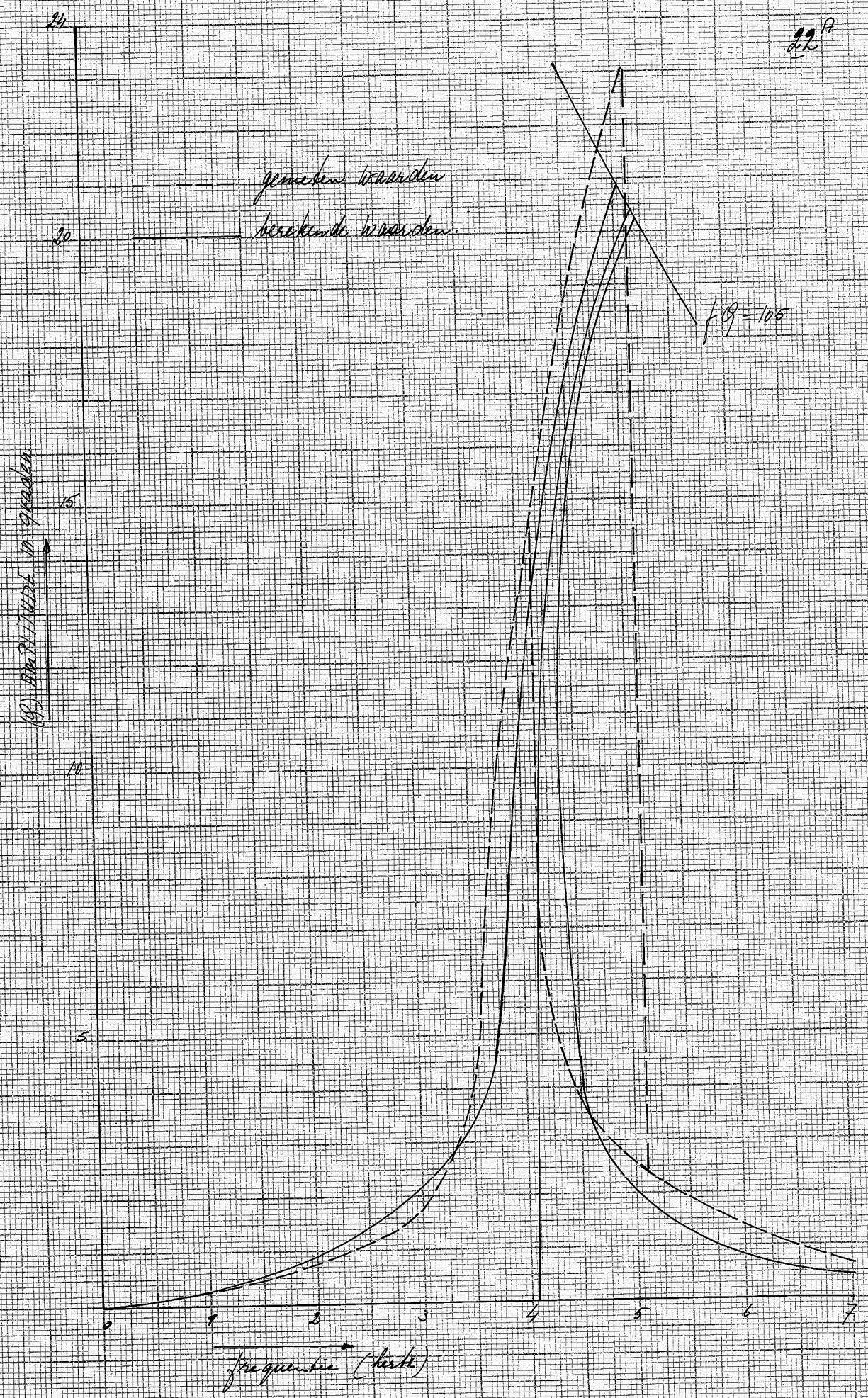
Vergelijking voor de ruggegraat:

$$1 + 4,027 \times 10^{-5} \dot{\varphi}^2 + 0,288 \times 10^{-5} \dot{\varphi}^4 - \frac{4\pi^2 f^2}{\frac{c}{\frac{\pi}{180} J}} = 0$$

de ruggegraat wordt beter (benadert beter de gemeten waarden) als:

$0,288 \times 10^{-5}$ kleiner is
 c kleiner is
 J groter is.

22¹²



Voor de frequenties $f=2$ en $f=3$ hertz. wordt de relatie tussen Q en f gegeven door:

$$1 + 4,027 \times 10^{-5} Q^2 + 0,288 \times 10^{-5} Q^4 - \frac{4\pi^2 f^2}{\frac{c}{100} f} = \frac{91,1}{\frac{c}{f}}$$

$$\text{of door: } 0,288 Q^5 + 4,027 Q^3 + Q \times 10^5 \left[1 - \frac{4\pi^2 f^2}{\frac{c}{100} f} \right] = \frac{91,1}{\frac{c}{f}}$$

Daar Q klein is ($Q \approx 1$) kan deze relatie geschreven worden als:

$$Q = \frac{\frac{91,1}{c} \times 10^{-5}}{1 - \frac{4\pi^2 f^2}{\frac{c}{100} f}} \quad (1)$$

Voor de frequenties $f=6$ en $f=7$ hertz. wordt de relatie gegeven door

$$Q = - \frac{\frac{91,1}{c} \times 10^{-5}}{1 - \frac{4\pi^2 f^2}{\frac{c}{100} f}} \quad (2)$$

de gemeten waarden worden beter benaderd als:

$$\left. \begin{array}{l} c \text{ is groter} \\ f \text{ is kleiner} \end{array} \right\} (1)$$

by (2) zijn de afwijkingen groter dan bij (1)

f is groter geeft hier een verbetering.

Waarom de afwijking hoofdzakelijk zit, is moeilijk te zeggen.

Het is mogelijk dat de waarde van f te klein is.

Een iets grotere waarde voor f geeft een verbetering.

Toevallig moeten we bedenken dat de berekening volgens Rik-Galerkin ook een benaderingsmethode is.

Het is ook mogelijk dat de fout in de gemeten waarden zit, omdat de laagste ijking tussen werkelijke amplitude en amplitude op de oscillograaf bij 10 graden is geweest (bladz 20).

de grootte van de amplitude beneden 10 graden is bepaald door interpolatie. Er is wel verondersteld dat de amplitude op de oscillograaf en de theoretische amplitude een lineair verband hebben. Bovendien komen de amplituden bij $f=2, 3, 6$ en 7 beter overeen als de factor $91,1$ uit de vergelijkingen (1) en (2) op bladz. 23 kleiner wordt:

$$\frac{2,5}{90} \times \frac{180}{\pi} \times 57,14 = 91,1.$$

$\frac{2,5}{90} = \varphi_0$ (rad). De amplitude van de aanwijzing. die is nauwkeurig opgemeten.

Het is wel goed mogelijk dat de factor $57,14$ (verconstante van de lineaire torsie) niet goed is, omdat de amplitude hier klein is. De juiste nauwkeurigheid bij deze kleine hoekverdraaiing is moeilijk te bepalen, omdat de kracht op de veer dan klein is.

Conclusie

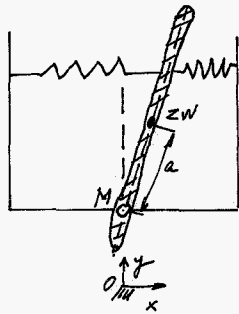
Bekijken we de gemeten en berekende relatie tussen φ en f (bladz. 22^P) dan mag verondersteld worden dat de resultaten redelijk zijn.

Waarom de verschillen tussen beide waarden precies zitten, is moeilijk te zeggen.

Het niet-lineaire karakter van het veersysteem is echter zeer duidelijk te zien in het verloop van de φ - f relatie.

Opdracht.

- I Onderzoek naar de stabiele en instabiele gebieden van het volgende systeem:



de staaf kan roteren om M.

ruaarpuntafstand a .

massa m

massatraagheidsmoment t.o.v. het ruarpunt: I_z

$\downarrow F \cos \omega t$

Het systeem trilt verticaal t.o.v. het vaste punt O volgens: $F \cos \omega t$.

- II Is een onderzoek naar deze gebieden mogelijk m.b.v. de schenck triltafel, door juiste keuze van de afmetingen en karakteristieken (zoals k , I_z , m , de verconstante).
- III Zo ja, onderzoek het systeem m.b.v. de triltafel.

Conclusie

Omdat de amplitude A van de triltafel klein is, $A_{\max} = 2,4 \text{ mm}$, zal een onderzoek m.b.v. de triltafel weinig resultaat opleveren.

Om resultaten te krijgen, zou de totale lengte van de staaf en de ruarpuntafstand a slechts enkele millimeters mogen bedragen. en dit is constructief zeer moeilijk te verwekenlijken.

Een onderzoek is mogelijk wanneer men een apparaat ter beschikking heeft, waarvan A_{\max} tussen de 10 à 20 cm ligt.

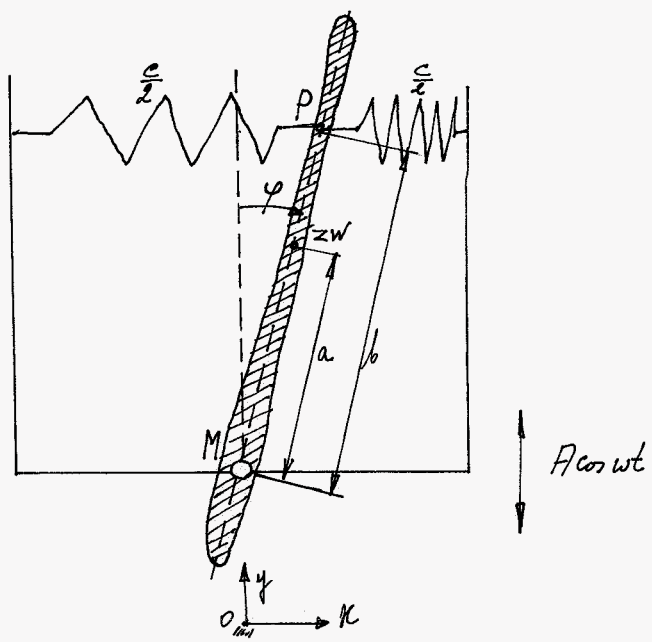
Inhoudsopgave.

| | |
|---|-------------|
| de differentiaalvergelijking voor het beschouwde systeem | blz. 1-3 |
| Stabiele en instabiele gebieden van de differentiaalvergelijking van Mathieu | 4-8 |
| Karakteristieke grootheden van het systeem | 8-10 |
| Conclusie | 10 |

Literatuur:

Non linear vibrations: Stoker.

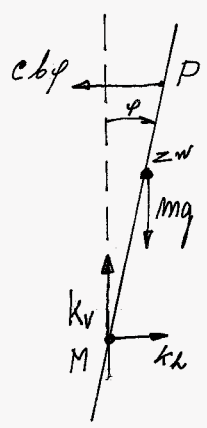
Nicht lineaire mechanik: Hans Kauderer
~~transcript~~



Van het hierboven geschetste systeem wordt de bewegingsvergelijking bepaald.
de gearceerde balk kan roteren om het punt M.

Twee massalose veren (veerconstante van een veer is $\frac{c}{2}$) zijn op een afstand b van het punt M aan de staaf bevestigd.

Het gehele systeem wordt in verticale richting harmonisch betwogen
A.v. v. het vaste punt O volgens: $F \cos wt$



Op de staaf werken de volgende krachten;

in punt M: Horizontaal k_x
Verticaal k_v

in het zwaartepunt: verticaal mg .

de veerkracht in het punt P: horizontaal $c b \phi$.

de coördinaten van het zwaartepunt zijn:

$$x_{zw} = a \sin \phi$$

$$y_{zw} = a \cos \phi + F \cos wt$$

Het zwaartepunt.

$$x_{zw} = a \sin \varphi$$

$$y_{zw} = a \cos \varphi + A \cos \omega t$$

$$\dot{x}_{zw} = a \cos \varphi \dot{\varphi}$$

$$\dot{y}_{zw} = -a \sin \varphi \dot{\varphi} - A \omega \sin \omega t$$

$$\ddot{x}_{zw} = -a \sin \varphi \dot{\varphi}^2 + a \cos \varphi \ddot{\varphi}$$

$$\ddot{y}_{zw} = -a \cos \varphi \dot{\varphi}^2 - a \sin \varphi \ddot{\varphi} - A \omega^2 \cos \omega t$$

Voor kleine trillingen om M is de hoek φ klein.

$$\sin \varphi \approx \varphi$$

$$\cos \varphi \approx 1.$$

Het: $\varphi = \varphi_0 \sin \lambda t$

$$\dot{\varphi} = \varphi_0 \lambda \cos \lambda t \rightarrow \dot{\varphi}^2 = \varphi_0^2 \lambda^2 \cos^2 \lambda t$$

$$\ddot{\varphi} = -\varphi_0 \lambda^2 \sin \lambda t$$

We zien $\varphi^2 \ll \ddot{\varphi}$

Er geldt nu in goede benadering.

$$\ddot{x}_{zw} = a \ddot{\varphi}$$

$$\ddot{y}_{zw} = -a \dot{\varphi}^2 - a \varphi \ddot{\varphi} - A \omega^2 \cos \omega t$$

Voor niet al te kleine ω wordt $\ddot{y}_{zw} = -A \omega^2 \cos \omega t$

Voor het zwaartepunt geldt de wet van Newton $\vec{K} = m \vec{a}$

Horizontaal: $K_h - c b \varphi = m a \ddot{\varphi} \rightarrow K_h = m a \ddot{\varphi} + c b \varphi$

Verticaal: $K_v - M g = -m A \omega^2 \cos \omega t \rightarrow K_v = m (g - A \omega^2 \cos \omega t)$

Het impulsmoment t.o.v. het zwaartepunt is $D = J_z \dot{\varphi}$

J_z is het massatraagheidsmoment t.o.v. het zwaartepunt om de z-as.

Voor het zwaartepunt geldt $\dot{D} = M$.

$$J_z \dot{\varphi} = K_v a \varphi - K_h a - c b \varphi (b-a)$$

$$J_z \ddot{\varphi} = m a (g - A \omega^2 \cos \omega t) \varphi - m a^2 \ddot{\varphi} - c b a \varphi - c b \varphi (b-a)$$

$$(J_z + m a^2) \ddot{\varphi} + (c b^2 - m a g + m a A \omega^2 \cos \omega t) \varphi = 0$$

$$J_M = J_z + m a^2 \quad J_M \text{ is het massatraagheidsmoment t.o.v. het punt } M.$$

$$\ddot{\varphi} + \left(\frac{c b^2 - m a g}{J_M} + \frac{m a A \omega^2 \cos \omega t}{J_M} \right) \varphi = 0$$

Stonden we het punt M stil t.o.v. het punt O dan is $A \cos \omega t = 0$

Er geldt dan $\ddot{\varphi} + \omega_0^2 \varphi = 0$

$$\omega_0^2 = \frac{c b^2 - m a g}{J_M}$$

ω_0 noemen we de eigenfrequentie
 De bewegingsvergelijking is nu te schrijven als:

$$\ddot{\varphi} + \left(\omega_0^2 + \frac{m a}{\mathcal{I}_M} A \omega^2 \cos \omega t \right) \varphi = 0$$

$$\text{Stel: } \omega t = z \quad \frac{d\varphi}{dt} = \frac{d\varphi}{dz} \frac{dz}{dt} = \omega \frac{d\varphi}{dz} \quad \frac{d^2\varphi}{dt^2} = \omega^2 \frac{d^2\varphi}{dz^2}$$

$$\frac{d^2\varphi}{dz^2} + \left(\frac{\omega_0^2}{\omega^2} + \frac{m a}{\mathcal{I}_M} A \cos z \right) \varphi = 0$$

Deze differentiaalvergelijking is lineair, waarbij de coëfficiënt voor de φ (merconstante) een functie van de tijd is en wel harmonisch.

Deze D.V. is de h.g. differentiaalvergelijking van Mathieu
 de algemene vorm van deze D.V. is

$$\frac{d^2\varphi}{dz^2} + (\delta + \varepsilon \cos z) \varphi = 0 \quad \delta = \frac{\omega_0^2}{\omega^2}$$

$$\varepsilon = \frac{m a}{\mathcal{I}_M} A$$

\mathcal{I}_M is te schrijven als: $\mathcal{I}_M = m \rho^2$
 ρ is de massastraal: $\left. \begin{array}{l} \mathcal{I}_M = m \rho^2 \\ \rho \text{ is de massastraal} \end{array} \right\} \rightarrow \varepsilon = \frac{a}{\rho^2} A$

Stabiele en instabiele gebieden van de D.V. van Mathieu

$\frac{d^2\varphi}{dz^2} + (\delta + \varepsilon \cos z)\varphi = 0$ We nemen δ, ε en z reëel

↳ het algemeen bestaan er twee onafhankelijke oplossingen.

$\varphi_1(z)$ en $\varphi_2(z)$

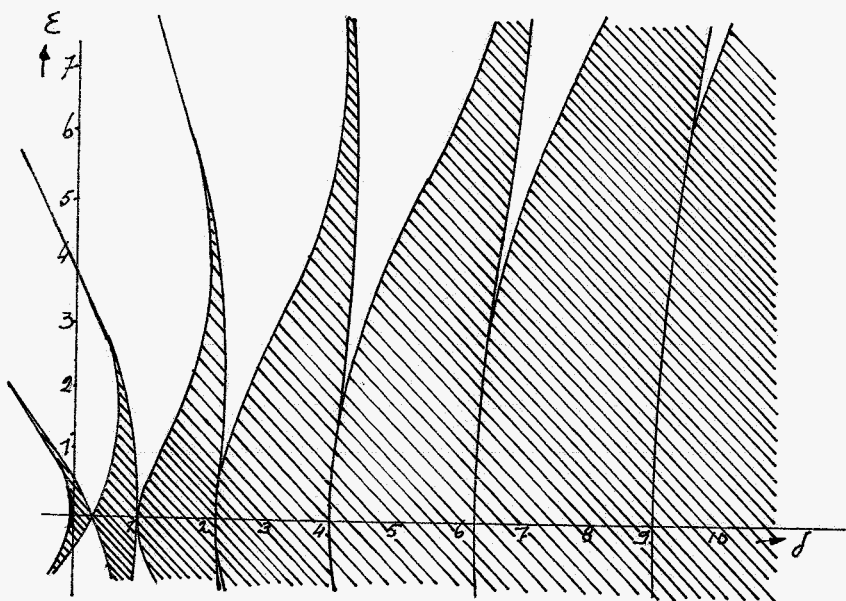
de algemene oplossing is dan: $\varphi(z) = C_1 \varphi_1(z) + C_2 \varphi_2(z)$

Als $|\varphi_1(z)|$ en $|\varphi_2(z)|$ begrensd voor elke z , dan is ook $\varphi(z)$ begrensd.
deze oplossingen noemen we stabiel.

Als of $|\varphi_1(z)|$ of $|\varphi_2(z)|$ niet begrensd voor elke z , dan is φ ook niet begrensd.
deze oplossingen noemen we instabiel.

Bijv. $\varphi_1(z) = e^z$, maakt $\varphi(z)$ instabiel.

de oplossingen voor $\varphi(z)$ zijn volkomen bepaald door de waarden van δ en ε , en dus ook de stabiele en instabiele gebieden.



Stabiele en instabiele gebieden van de Mathieu vergelijking
de gearceerde gebieden zijn de stabiele

Men kan bewijzen dat de oplossing $\varphi(z)$ voor punten op de lijnen die de stabiele en instabile gebieden ^{scheiden}, periodiek is, met periode 2π of 4π

$\varphi(z)$ heeft dus de vorm: $\varphi(z) = a_0 + \sum_{n=1}^{\infty} a_n \cos(nz) + b_n \sin(nz)$

Verder kan men bewijzen, door $\varphi(z)$ en $\varphi'(z)$ in de D.V. in te vullen, dat de oplossing voor $\varphi(z)$; ofwel $\varphi(z) = a_0 + \sum_{n=1}^{\infty} a_n \cos(nz)$ of $\varphi(z) = \sum_{n=1}^{\infty} b_n \sin(nz)$ is.

Er is ook te bewijzen dat voor een bepaalde waarde van ε en δ slechts een oplossing mogelijk is.

De D.V. geeft de volgende betrekkingen tussen de coëfficiënten

$$\begin{cases} \delta a_0 + \frac{\varepsilon}{2} a_1 = 0 \\ (\delta - n^2) a_n + \frac{\varepsilon}{2} (a_{n-1} + a_{n+1}) = 0 \\ n = 1, 2, \dots \end{cases} \quad \text{en} \quad \begin{cases} (\delta - 1) b_1 + \frac{\varepsilon}{2} b_2 = 0 \\ (\delta - n^2) b_n + \frac{\varepsilon}{2} (b_{n-1} + b_{n+1}) = 0 \\ n = 2, 3, \dots \end{cases}$$

de oplossingen van δ en ε , die er voor zorgen dat met alle waarden van a_n en b_n nul zijn, geven de lijnen $\delta(\varepsilon)$ die de stabiele en instabile gebieden scheiden.

Voor kleine waarden van ε is $\delta(\varepsilon)$ als volgt te benaderen.

Voor $\varepsilon = 0$ komen de stabiele en instabile gebieden samen in de punten $\delta = \frac{n^2}{4}$ $n = 0, 1, 2$. $\frac{d^2\varphi}{dz^2} + (\delta + \varepsilon \cos z)\varphi = 0$

$\varphi(z)$ in deze punten is periodiek, met periodieke oplossingen in de vormen $\sin \frac{n}{2}z$ en $\cos \frac{n}{2}z$.

Voor $\varepsilon \neq 0$ is $\varphi(z)$ periodiek met periode 2π of 4π

We verwachten voor $\varepsilon \rightarrow 0$ dat $\varphi(z)$ te schrijven is in termen $\sin \left(\frac{n}{2}z\right)$ of $\cos \left(\frac{n}{2}z\right)$

We zien $\varphi(z, \varepsilon)$ en $\delta(\varepsilon)$

We schrijven,

$$\varphi = \varphi_0 + \varepsilon \varphi_1 + \varepsilon^2 \varphi_2 + \dots$$

$$\delta = \delta_0 + \varepsilon \delta_1 + \varepsilon^2 \delta_2.$$

φ_0 is $\cos(\frac{m}{2}z)$ of $\sin(\frac{m}{2}z)$

φ_1, φ_2 era hebben periode 2π of 4π

$$\delta_0 = \frac{m^2}{4}$$

Inullen in de D.V. geeft de volgende betrekkingen.

$$\varphi_0'' + \delta_0 \varphi_0 = 0$$

$$\varphi_1'' + \delta_0 \varphi_1 = -\delta_1 \varphi_0 - \varphi_0 \cos z$$

$$\varphi_2'' + \delta_0 \varphi_2 = -\delta_2 \varphi_0 - \delta_1 \varphi_1 - \varphi_1 \cos z$$

We nemen $m=0$

$$\delta_0 = 0 \quad \varphi_0 \text{ is } \cos(\frac{m}{2}z) \text{ of } \sin(\frac{m}{2}z)$$

φ_0 is 1 of 0

Nemen $\varphi_0 = 1$.

$$\varphi_1'' = -\delta_1 - \cos z$$

Daar φ_1 periodiek moet zijn, volgt dat $\delta_1 = 0$

$$\varphi_1 = \cos z + c$$

$$\varphi_2'' = -\delta_2 - (\cos z + c) \cos z$$

$$= -\delta_2 - \frac{1}{2} - c \cos z - \frac{1}{2} \cos 2z$$

φ_2 moet periodiek zijn, $\rightarrow \delta_2 = -\frac{1}{2}$.

De oplossing $\delta(\varepsilon)$ wordt in benadering $\delta = -\frac{1}{2}\varepsilon^2 + \dots$

Nemen $m=1$.

$$\delta_0 = \frac{1}{4} \quad \varphi_0 \text{ is } \cos \frac{z}{2} \text{ of } \sin \frac{z}{2}.$$

We nemen eerst $\varphi_0 = \cos \frac{z}{2}$.

$$\begin{aligned}\ddot{\varphi}_1 + \frac{1}{4}\dot{\varphi}_1 &= (-\delta_1 - \cos z) \cos \frac{z}{2} \\ &= (-\delta_1 - \frac{1}{2}) \cos \frac{z}{2} - \frac{1}{2} \cos \frac{3}{2}z\end{aligned}$$

$$\text{Ikkel } -\delta_1 - \frac{1}{2} \neq 0$$

φ_1 heeft nu een oplossing van de vorm $\varphi_1 = z \sin \frac{z}{2}$.

$$\varphi_1 = z \sin \frac{z}{2}$$

$$\dot{\varphi}_1 = \sin \frac{z}{2} + \frac{1}{2} z \cos \frac{z}{2}$$

$$\ddot{\varphi}_1 = \frac{1}{2} \cos \frac{z}{2} + \frac{1}{2} \cos \frac{z}{2} - \frac{1}{4} z \sin \frac{z}{2}$$

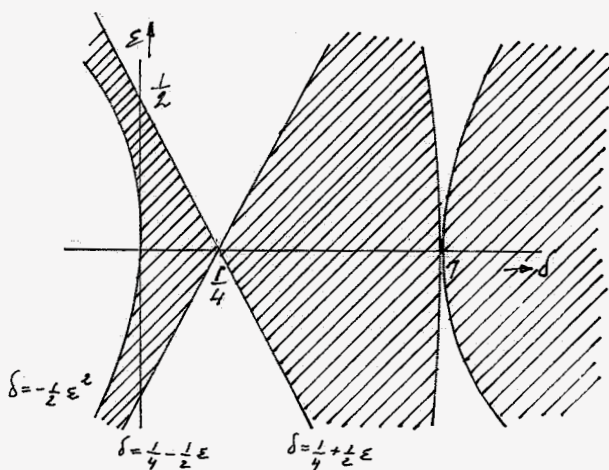
$$\cos \frac{z}{2} - \frac{1}{4} z \sin \frac{z}{2} + \frac{1}{4} z \sin \frac{z}{2} = (-\delta_1 - \frac{1}{2}) \cos \frac{z}{2}$$

Dus φ_1 is niet periodisch.

$$-\delta_1 - \frac{1}{2} = 0 \quad \delta_1 = -\frac{1}{2}$$

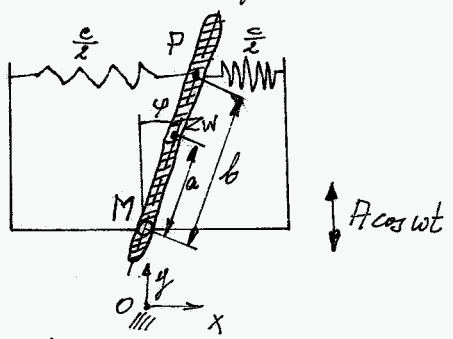
$$\underline{\delta = \frac{1}{4} - \frac{1}{2}\varepsilon.}$$

Neem we $\varphi_0 = \sin(\frac{1}{2}z)$; dan wordt $\underline{\delta = \frac{1}{4} + \frac{1}{2}\varepsilon.}$



gearceerde gebied is stabiel
 ε is klein.

Karakteristieke grootheden van het systeem.



We hebben afgeleid dat de bewegingsvergelijking de volgende vorm heeft.

$$\frac{d^2\varphi}{dt^2} + \left(\frac{\omega_0^2}{\omega^2} + \frac{Ma}{J_M} A \cos \tau \right) \varphi = 0$$

$\omega t = \tau$ a : zwaartepuntsafstand tot M .

$\omega_0^2 = \frac{c b^2 - m a g}{J_M}$ J_M : Massatraagheidsmoment t.o.v. M .

Algemene vorm van de D.V. $\frac{d^2\varphi}{dt^2} + (\delta + \varepsilon \cos \tau) \varphi = 0$

$$\delta = \frac{\omega_0^2}{\omega^2}$$

$$\varepsilon = \frac{Ma}{J_M} A$$

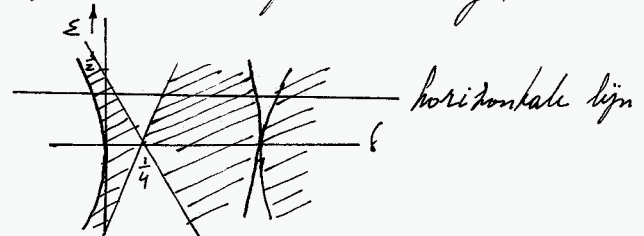
Door bovengeschetst systeem op een triltafel te zetten, is in principe de stabiele en instabile toestand te bepalen.

Stelt men de amplitude A van de triltafel ingesteld, dan kan men tijdens het trillen van de tafel enkel de frequentie veranderen.

Kieren we de waarden van c , b , m , a , J_M en A , dan kunnen we δ veranderen door de opgedrukte frequentie te veranderen.

En de δ - ε grafiek doorlopen we dan een horizontale lijn voor de ingestelde waarde van ε .

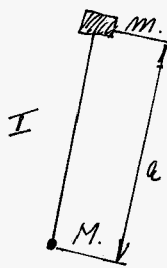
Veranderen we vervolgens m , a , J_M of A dan krijgen we een andere waarde van ε en dus door verandering van ω een nieuwe horizontale lijn.



De moeilijkheid is echter, dat we met de ter beschikking zijnde triltafel de waarde van ε niet groot genoeg kunnen krijgen, omdat $A_{\max} = 2,4 \text{ mm}$ bij een maximale frequentie van 40 Hz.

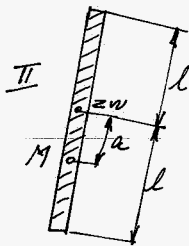
De grootte van ε wordt bepaald door de vorm van de staaf en de amplitude A van de triltafel.

V.B.



Massa m op afstand a van M aan gewichtloze starre staaf.

$$\varepsilon = \frac{ma}{J_M} \cdot A = \frac{ma}{\frac{1}{3}ml^2 + ma^2} \cdot A = \frac{A}{a}$$



$$\varepsilon = \frac{ma}{J_M} \cdot A = \frac{ma}{\frac{1}{3}ml^2 + ma^2} \cdot A = \frac{1}{a + \frac{1}{3}\frac{l^2}{a}} \cdot A$$

voor $l = a\sqrt{3}$ is ε max.

$$\varepsilon_{\max} = \frac{A}{2a}$$

We zien dat de grootte van ε_{\max} afhankelijk is van a .

Nemen we a heel klein ($A_{\max} = 2,4 \text{ mm}$) bijv. $2,4 \text{ mm}$ dan is ε_{\max} voor geval I gelijk aan 1 en voor II gelijk aan $\frac{1}{2}$.

Dit realiseren van een kleine a is echter zeer moeilijk, omdat men er voor moet zorgen dat de wrijving in de lagering van punt M klein is.

Stellen we a minimaal bijv. 50 mm , dan wordt ε_{\max}

$$\varepsilon_{\max} \text{ bij I} = \frac{2,4}{50} = 0,048$$

$$\varepsilon_{\max} \text{ bij II} = \frac{2,4}{2 \times 50} = 0,024$$

Kijken we naar de δ - ε grafiek voor de stabiele en instabiele gebieden dan zien we dat we met behulp van de triltafel slechts een zeer

klein gebied kunnen onderzoeken.

Bij enige wrijving in de lagering worden de stabiele gebieden bovendien nog groter. (Zie: Nieuw tijdschrift Mechaniek, Hans Kauderer) blz. 509 en 510

Meting op deze manier het weinig resultaat opleveren.

Vergroten van de ϵ_{max} is voor dit systeem denkbeeldig niet mogelijk tenminste wanneer we a_{min} op 50 mm houden en A_{max} op 2,4 mm.

Om ϵ groot te krijgen moet de zwaartepuntafstand a groot zijn en het massa traagheidsmoment t.o.v. punt M klein.

Dit is alleen mogelijk voor kleine waarden van a .

Men kan ϵ groter krijgen door de amplitude A groot te maken.

Dit is echter niet mogelijk met de triltafel.

Conclusie

Voor meting van het beschreven systeem is de triltafel niet geschikt.

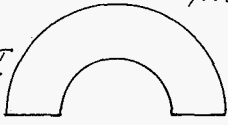
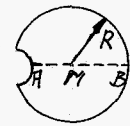
Men zou een apparaat moeten maken dat een grote amplitude A mogelijk maakt.

Febr. 65

Electrische Analogon zur Torsie

J. H. Heers.

Inhoudsopgave.

| | |
|---|--------------|
| Wringing van homogene balken (wringingsfunctie ψ) | Bldz. 1-4 |
| Toegeroegde wringingsfunctie ψ | 5-7 |
| Het electrisch analogon dat voldoet aan de vergelijking $\nabla^2 V = 0$ | |
| $\frac{\partial^2 V}{\partial x^2} + \frac{\partial^2 V}{\partial y^2} = 0$ | 8-9 |
| Het bepalen van de spanningen m.b.v. de spanningsfunctie χ | 10 |
| Het electrisch analogon voor de vergelijking $\nabla^2 \chi = -2$ (Poisson vergelijking) | |
| Methode I | 11 |
| Methode II | 12-15 |
| Onderzoek aan twee doorsneden I  en II  m.b.v. | |
| het electrisch analogon dat voldoet aan $\nabla^2 V = 0$ (zie blz. 8) | 16 |
| Opstelling voor doorsnede I | 17-18 |
| Keuze van de afmetingen van de doorsnede en aan te leggen spanning | 18-20 |
| Gemeten en theoretische waarden van de functie $\psi' = \lambda \psi$ | 21-23 |
| Het meten van de afgeleide van de toegeroegde wringingsfunctie $\psi' = \lambda \psi$ | 24-28 |
| Het spanningsverloop Z_0 voor $\theta = 0^\circ$ en $\theta = 80^\circ$ | 29-30 |
| Onderzoek aan de as met spiegeluis | 31-33 |
| Theoretische waarde van ψ' op AMB | 33-34 |
| Grafieken van ψ' en $\frac{\partial \psi'}{\partial x'}$ op AMB | 35 |
| Bepalen van $\frac{\partial \psi'}{\partial x'}$ in het punt A d.m.v. interpolatie voor verschillende waarden van R. | 36-38 |
| Het technispanningsverloop over de lijn AMB ($Z = y'$) | 39-40 |
| Het bepalen van de afgeleide van ψ' uit de gemeten waarden van ψ' m.b.v. de methode der kleinste kwadraten. | 41. |
| De specifieke weerstand ρ van het gebruikte weerstandspapier. | 42. |
| Bijlage I | 43-45. |

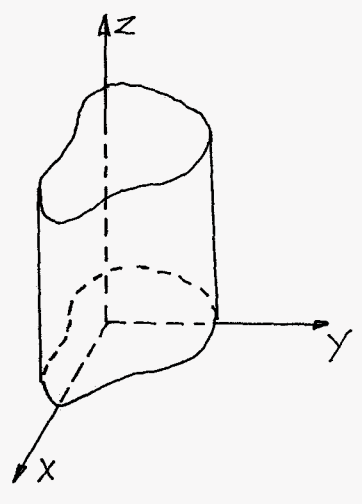
Gebrauchte literatuur.

Theory of Elasticity door Timoshenko en Goodier

Publikatie: The Torsion Problem - A New Twist. door J. H. Swannel

Conducting-sheet analogy for stress concentrations
in twisted structural sections door C. W. Beadle en H. D. Conway.

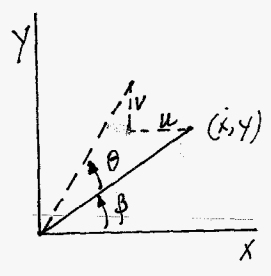
Wringing van homogene balken.



We maken gebruik van de semi-inverte methode van de Saint-Venant, d.w.z. we maken een aantal aannamen over spanning-, rek-, of vervormingscomponenten en laten hierbij nog zoveel vrijheid over dat te voldoen is aan de evenwichtsvergl., de compatibiliteitsvergl. en de randvoorwaarden.

Is dit mogelijk dan hebben we ook de exacte oplossing. (helduidheidsstelling van Kirchhoff).

Aanname.



$$(x, y) = r e^{i\beta}$$

$$(x-u, y+v) = r e^{i(\theta+\beta)}$$

$$-u + iv = r e^{i\beta} (e^{i\theta} - 1) = (x + iy) (e^{i\theta} - 1)$$

Voor $\theta \ll 1$ geldt $e^{i\theta} - 1 = i\theta$

$$u = -\theta y$$

$$v = \theta x$$

Verder nemen we aan dat θ evenredig is met z .

$$\theta = \alpha z. \quad (\alpha \text{ is hoekverdraaiing per lengte eenheid,})$$

$$u = -\alpha z y$$

$$v = \alpha z x$$

$$w = \alpha \psi(x, y).$$

We stellen de oplossing onafhankelijk van z .

Evenwichtsvergelijkingen. ($\tau_{ij,j} = 0$)

$$\frac{\partial \sigma_x}{\partial x} + \frac{\partial \tau_{xy}}{\partial y} + \frac{\partial \tau_{xz}}{\partial z} = 0$$

$$\frac{\partial \tau_{yx}}{\partial x} + \frac{\partial \sigma_y}{\partial y} + \frac{\partial \tau_{yz}}{\partial z} = 0$$

$$\frac{\partial \tau_{zx}}{\partial x} + \frac{\partial \tau_{zy}}{\partial y} + \frac{\partial \sigma_z}{\partial z} = 0$$

aanname: Het zijdehings oppervlak is spanningsvrij.

Mit momentenvenwicht volgt: ($\tau_{ij} = \tau_{ji}$)

$$\tau_{xy} = \tau_{yx}$$

$$\tau_{xz} = \tau_{zx}$$

$$\tau_{yz} = \tau_{zy}$$

Wet van Hooke.

$$\epsilon_x = \frac{\partial u}{\partial x} = \frac{1}{E} [\sigma_x - \nu(\sigma_y + \sigma_z)]$$

$$\epsilon_y = \frac{\partial v}{\partial y} = \frac{1}{E} [\sigma_y - \nu(\sigma_x + \sigma_z)]$$

$$\epsilon_z = \frac{\partial w}{\partial z} = \frac{1}{E} [\sigma_z - \nu(\sigma_x + \sigma_y)]$$

$$f_{xy} = \frac{\partial v}{\partial x} + \frac{\partial u}{\partial y} = \frac{\tau_{xy}}{G}$$

$$f_{xz} = \frac{\partial w}{\partial x} + \frac{\partial u}{\partial z} = \frac{\tau_{xz}}{G}$$

$$f_{yz} = \frac{\partial w}{\partial y} + \frac{\partial v}{\partial z} = \frac{\tau_{yz}}{G}$$

Bepaling van de spanningen.

we hadden aangenomen:

$$\epsilon_x = \epsilon_y = \epsilon_z = 0 \Rightarrow \sigma_x = \sigma_y = \sigma_z = 0$$

$$f_{xy} = 0.$$

$$\tau_{xy} = 0.$$

$$u = -\alpha z y.$$

$$v = \alpha z x$$

$$w = \alpha \psi(x, y)$$

$$f_{xz} = \alpha \left(\frac{\partial \psi}{\partial x} - y \right) \Rightarrow \tau_{xz} = G \alpha \left(\frac{\partial \psi}{\partial x} - y \right)$$

$$f_{yz} = \alpha \left(\frac{\partial \psi}{\partial y} + x \right) \Rightarrow \tau_{yz} = G \alpha \left(\frac{\partial \psi}{\partial y} + x \right)$$

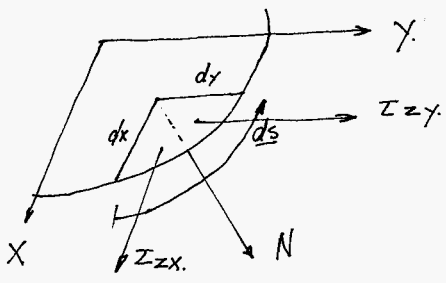
uit de evenwichtsvergelijking volgt: $\frac{\partial \tau_{zx}}{\partial x} + \frac{\partial \tau_{zy}}{\partial y} = 0$

Voor de verplaatsingsfunctie $\psi(x, y)$ geldt dus:

$$\boxed{\frac{\partial^2 \psi}{\partial x^2} + \frac{\partial^2 \psi}{\partial y^2} = 0}$$

Man de compatibiliteitsvrgl. is voldaan als ψ een continue different. ba
functie van x en y is

Randvoorwaarden.



$$Z_{zx} \cos(N, x) + Z_{zy} \cos(N, y) = 0 \tag{1}$$

$$\cos(N, x) = \frac{dy}{ds}$$

$$\cos(N, y) = -\frac{dx}{ds}$$

$$\left(\frac{\partial \psi}{\partial x} - \gamma\right) \frac{dy}{ds} - \left(\frac{\partial \psi}{\partial y} + \kappa\right) \frac{dx}{ds} = 0$$

Def: $\frac{d\psi}{dn} = \text{grad } \psi, \underline{n}$ Vector \underline{n} is de eenheidsvector in richting N .

$$= \frac{\partial \psi}{\partial x} \cos(N, x) + \frac{\partial \psi}{\partial y} \cos(N, y)$$

Op de rand moet dus voldaan zijn aan:

$$\frac{d\psi}{dn} = \gamma \cos(N, x) - \kappa \cos(N, y)$$

We moeten nog aantonen dat de dwarskrachten D_x en D_y beide nul zijn.

$$D_x = \iint_{\text{opp.}} Z_{zx} dx dy = \iint_{\text{opp.}} \gamma \left(\frac{\partial \psi}{\partial x} - \gamma\right) dx dy$$

$$= \gamma \iint_{\text{opp.}} \left[\frac{\partial}{\partial x} \left\{ \kappa \left(\frac{\partial \psi}{\partial x} - \gamma\right) \right\} + \frac{\partial}{\partial y} \left\{ \kappa \left(\frac{\partial \psi}{\partial y} + \kappa\right) \right\} \right] dx dy$$

Volgens Gauss geldt: $\iiint_Z \text{div } \underline{a} dz = \int_S (\underline{a}, \underline{n}) ds$ $\text{div } \underline{a} = \frac{\partial a_1}{\partial x} + \frac{\partial a_2}{\partial y}$

$$D_x = \gamma \oint_{\text{contour } S} \left[\kappa \left[\left(\frac{\partial \psi}{\partial x} - \gamma\right) \cos(N, x) + \left(\frac{\partial \psi}{\partial y} + \kappa\right) \cos(N, y) \right] \right] ds$$

de vorm [...] is volgens (1) (boven aan de blok) gelijk aan nul op de rand.

Dus $D_x = 0$.

Evenzo is af te leiden dat: $D_y = 0$

Volgens Gauss geldt ook: $\iiint_Z \text{div } \underline{a} dz = \int_S (\underline{a}, \underline{n}) ds$

$$\underline{a} = \text{grad } \psi \quad \int_S (\text{div grad } \psi) dz = \int_S \frac{d\psi}{dn} ds = 0$$

Op het oppervlak geldt $\nabla^2 \psi = 0$ of $\text{div grad } \psi = 0$ Dus op rand $\int \frac{d\psi}{dn} ds = 0$

Korte Samenvatting.

Voor ruiver wringen van homogene balken met euklindisch samenhangende doorsnede loodrecht op de symmetrie as geldt:

$$\begin{aligned}
 u &= -\alpha z y. & \alpha & \text{is hoekverdraaiing per lengte eenheid.} \\
 v &= \alpha z x \\
 w &= \alpha \psi(x, y) & \psi & \text{is de wrijvingsfunctie.}
 \end{aligned}$$

$$\tau_x = \tau_y = \tau_z = \tau_{xy} = 0$$

$$\tau_{xz} = G \alpha \left(\frac{\partial \psi}{\partial x} - y \right)$$

$$\tau_{yz} = G \alpha \left(\frac{\partial \psi}{\partial y} + x \right)$$

$$\nabla^2 \psi = \frac{\partial^2 \psi}{\partial x^2} + \frac{\partial^2 \psi}{\partial y^2} = 0$$

ψ moet een continue differentieerbare functie zijn, met randvoorwaarde

$$\frac{d\psi}{dn} = \text{grad } \psi, \quad n = y \cos(N, x) - x \cos(N, y)$$

$$\text{of: } \oint_S \frac{d\psi}{dn} ds = 0$$

Toegevoegde welvingsfunctie: φ .

We voegen aan de welvingsfunctie ψ een andere continue-differentieerbare functie $\varphi(x, y)$ toe.

De functie $\psi + i\varphi$ is nu een holomorfe functie in het gebied K , dat omsloten wordt door de contour S .

De functie φ moet aan de Cauchy-Riemann voorwaarden voldoen.

$$\text{nl. } \frac{\partial \psi}{\partial x} = \frac{\partial \varphi}{\partial y}$$

$$\frac{\partial \psi}{\partial y} = -\frac{\partial \varphi}{\partial x}$$

Het Poissonprobleem is nu ook te schrijven in termen van de toegevoegde welvingsfunctie $\varphi(x, y)$.

$$\text{Er geldt } \frac{\partial^2 \varphi}{\partial x^2} + \frac{\partial^2 \varphi}{\partial y^2} = -\frac{\partial^2 \psi}{\partial x \partial y} + \frac{\partial^2 \psi}{\partial x \partial y} = 0 \quad \nabla^2 \psi = \nabla^2 \varphi = 0$$

Spanningen.

$$\tau_{xz} = Gd \left(\frac{\partial \psi}{\partial x} - y \right) = Gd \left(\frac{\partial \varphi}{\partial y} - y \right)$$

$$\tau_{yz} = Gd \left(\frac{\partial \psi}{\partial y} + x \right) = Gd \left(-\frac{\partial \varphi}{\partial x} + x \right)$$

Wringend Moment.

$$M_w = \iint_{\text{opp}} (x \cdot \tau_{zy} - y \cdot \tau_{zx}) dx dy$$

$$= Gd \iint_{\text{opp}} (x^2 + y^2 - x \frac{\partial \varphi}{\partial x} - y \frac{\partial \varphi}{\partial y}) dx dy$$

$$= Gd \iint_{\text{opp}} (x^2 + y^2 - x \frac{\partial \varphi}{\partial x} - y \frac{\partial \varphi}{\partial y}) dx dy \times d$$

$$M_w = \quad D \times d. \quad (D: \text{toetsstijfheid}).$$

Randvoorwaarden.

$$\frac{d\psi}{dn} = \text{grad } \psi, \quad \underline{n} = y \cos(N, x) - x \cos(N, y)$$

$$\frac{\partial \psi}{\partial x} \cos(N, x) + \frac{\partial \psi}{\partial y} \cos(N, y) = y \cos(N, x) - x \cos(N, y)$$

$$\frac{\partial \psi}{\partial y} \cos(N, x) - \frac{\partial \psi}{\partial x} \cos(N, y) = y \cos(N, x) - x \cos(N, y)$$

$$\varphi = \frac{1}{2} (x^2 + y^2) + C$$

Poolcoördinaten.

$$\nabla^2 \varphi = 0 \quad \frac{\partial^2 \varphi}{\partial r^2} + \frac{1}{r} \frac{\partial \varphi}{\partial r} + \frac{1}{r^2} \frac{\partial^2 \varphi}{\partial \theta^2} = \nabla^2 \varphi \quad \varphi \text{ is de toegewezende}$$

welvingsfunctie.

$$L_{xz} = Gd \left(\frac{\partial \varphi}{\partial y} - y \right)$$

$$L_{yz} = Gd \left(-\frac{\partial \varphi}{\partial x} + x \right)$$

Stel: $r(x, y)$
 $\theta(x, y)$

$$\frac{\partial \varphi}{\partial x} = \frac{\partial \varphi}{\partial r} \frac{\partial r}{\partial x} + \frac{\partial \varphi}{\partial \theta} \frac{\partial \theta}{\partial x}$$

$$\frac{\partial \varphi}{\partial y} = \frac{\partial \varphi}{\partial r} \frac{\partial r}{\partial y} + \frac{\partial \varphi}{\partial \theta} \frac{\partial \theta}{\partial y}$$

$$x = r \cos \theta$$

$$1 = \frac{\partial r}{\partial x} \cos \theta - r \sin \theta \frac{\partial \theta}{\partial x}$$

$$0 = \frac{\partial r}{\partial y} \cos \theta - r \sin \theta \frac{\partial \theta}{\partial y}$$

$$\frac{\partial r}{\partial x} = \cos \theta$$

$$\frac{\partial \theta}{\partial x} = -\frac{\sin \theta}{r}$$

$$\frac{\partial r}{\partial y} = \sin \theta$$

$$\frac{\partial \theta}{\partial y} = \frac{\cos \theta}{r}$$

$$\frac{\partial \varphi}{\partial x} = \frac{\partial \varphi}{\partial r} \cos \theta - \frac{\partial \varphi}{\partial \theta} \frac{\sin \theta}{r}$$

$$\frac{\partial \varphi}{\partial y} = \frac{\partial \varphi}{\partial r} \sin \theta + \frac{\partial \varphi}{\partial \theta} \frac{\cos \theta}{r}$$

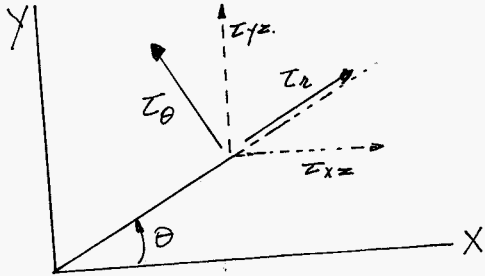
$$y = r \sin \theta$$

$$0 = \frac{\partial r}{\partial x} \sin \theta + r \cos \theta \frac{\partial \theta}{\partial x}$$

$$1 = \frac{\partial r}{\partial y} \sin \theta + r \cos \theta \frac{\partial \theta}{\partial y}$$

$$\tau_{xz} = Gd \left(\frac{\partial \phi}{\partial y} - \gamma \right) = Gd \left(\frac{\partial \phi}{\partial r} \sin \theta + \frac{\partial \phi}{\partial \theta} \frac{\cos \theta}{r} - r \sin \theta \right)$$

$$\tau_{yz} = Gd \left(-\frac{\partial \phi}{\partial x} + \mu \right) = Gd \left(-\frac{\partial \phi}{\partial r} \cos \theta + \frac{\partial \phi}{\partial \theta} \frac{\sin \theta}{r} + r \cos \theta \right)$$



$$\tau_r = \tau_{xz} \cos \theta + \tau_{yz} \sin \theta$$

$$\tau_\theta = -\tau_{xz} \sin \theta + \tau_{yz} \cos \theta$$

$$\tau_r = Gd \left[\frac{\partial \phi}{\partial r} \sin \theta \cos \theta + \frac{\partial \phi}{\partial \theta} \frac{\cos^2 \theta}{r} - r \sin \theta \cos \theta - \frac{\partial \phi}{\partial r} \cos \theta \sin \theta + \frac{\partial \phi}{\partial \theta} \frac{\sin^2 \theta}{r} + r \cos \theta \sin \theta \right]$$

$$\tau_r = Gd \left[\frac{1}{r} \frac{\partial \phi}{\partial \theta} \right]$$

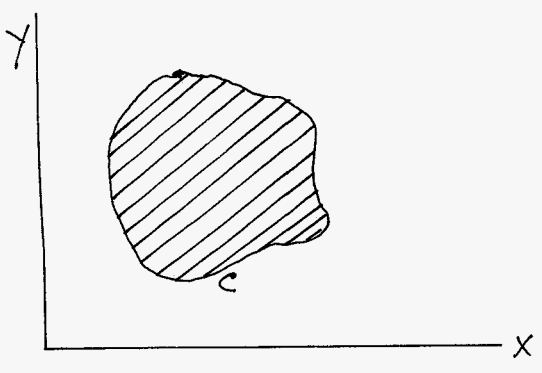
$$\tau_\theta = Gd \left[-\frac{\partial \phi}{\partial r} \sin^2 \theta - \frac{\partial \phi}{\partial \theta} \frac{\cos \theta \sin \theta}{r} + r \sin^2 \theta - \frac{\partial \phi}{\partial r} \cos^2 \theta + \frac{\partial \phi}{\partial \theta} \frac{\cos \theta \sin \theta}{r} + r \cos^2 \theta \right]$$

$$\tau_\theta = Gd \left[-\frac{\partial \phi}{\partial r} + r \right]$$

Randvoorwaarde: $\phi = \frac{1}{2}(x^2 + y^2) + C$

$$\phi = \frac{1}{2}r^2 + C$$

Het electrisch analoog dat voldoet aan de vergelijking $\nabla^2 V = 0$.

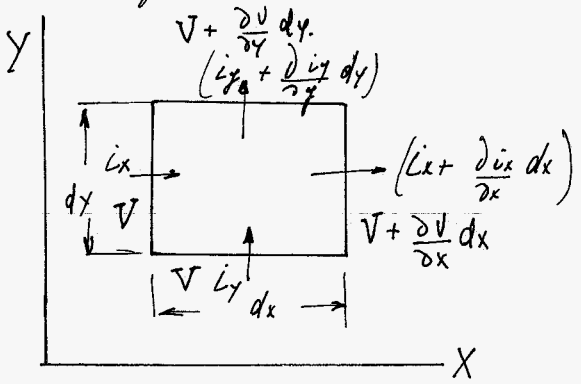


We maken gebruik van k.g. weerstandspapier.
 Het weerstandspapier ligt in het x-y vlak.
 Trekken we nu een balk met een loodrechte doorsnede zoals hiernaast getekend, dan is m.b.v. van dit papier de toegevoegde welovingsfunctie $\varphi(x,y)$ te realiseren

Teken op het papier m.b.v. filtervlucht de contour C.

Leg op C een electrische spanning V aan die gelijk is aan $\frac{1}{2}(x^2+y^2) = \frac{1}{2}r^2$.
 de spanning in het gebied voldoet aan de vergelijking $\nabla^2 V = 0$

Bewijs



In x richting geldt: $\Delta V_x = -I_x R_x$

ΔV = Spanningsverschil

I = Totale stroom

k = weerstand.

ρ = specifieke weerstand.
 (wordt constant verondersteld)

$$\Delta V_x = \frac{\partial V}{\partial x} dx.$$

$$I_x = I_x dy$$

$$R_x = \rho \frac{dx}{dy}.$$

$$\Delta V_x = -I_x k_x$$

$$\frac{\partial V}{\partial x} dx = -I_x dy \rho \frac{dx}{dy}$$

$$\frac{\partial V}{\partial x} = -I_x \cdot \rho \Rightarrow I_x = -\frac{1}{\rho} \frac{\partial V}{\partial x}$$

$$\text{Evenzo: } \frac{\partial V}{\partial y} = -I_y \cdot \rho \Rightarrow I_y = -\frac{1}{\rho} \frac{\partial V}{\partial y}.$$

De verandering van de stroomdichtheid is: $\frac{\partial I_x}{\partial x} dx dy + \frac{\partial I_y}{\partial y} dy dx$

In het stationnaire geval is deze nul, bijv. bij het aansluiten van een gelijkspanning aan de contour zal maar verloop van tijd de stroom geen functie meer van de tijd zijn.

In het stat. geval geldt: $\frac{\partial i_x}{\partial x} + \frac{\partial i_y}{\partial y} = 0$

$$-\frac{1}{\rho} \left(\frac{\partial^2 V}{\partial x^2} + \frac{\partial^2 V}{\partial y^2} \right) = 0 \quad \boxed{\nabla^2 V = 0}$$

Kijken we naar de basisformules voor balken dan zien we dat de elektrische spanning V overeenkomt met de toegevoegde potentiële functie ϕ .

Door aan de rand een spanning $V = \frac{1}{2} r^2$ aan te leggen, is de functie $\phi(x, y)$ te bepalen door m.b.v. een voltmeter de spanning in de punten (x, y) te meten.

Het bepalen van de spanningen m.b.v. de spanningfunctie: f

Definieer $f = \varphi - \frac{1}{2}(x^2 + y^2)$.

Er geldt: $\nabla^2 \varphi = 0$ Randvoorwaarde $\varphi = \frac{1}{2}r^2 + c$.

$$\tau_{xz} = G\alpha \left(\frac{\partial \varphi}{\partial y} - y \right)$$

$$\tau_{yz} = G\alpha \left(-\frac{\partial \varphi}{\partial x} + x \right)$$

$$\nabla^2 f = \nabla^2 \varphi - 2 \Rightarrow \boxed{\nabla^2 f = -2} \quad (\text{Poisson m.v.l.})$$

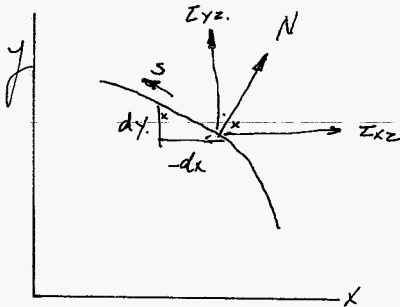
Randvoorwaarde $f = \varphi - \frac{1}{2}r^2$

$$\boxed{f = \frac{1}{2}r^2 - \frac{1}{2}r^2 + c = c}$$

$$\tau_{xz} = G\alpha \frac{\partial f}{\partial y}$$

$$\tau_{yz} = -G\alpha \frac{\partial f}{\partial x}$$

Randvoorwaarde voor meervoudig samenhangend gebied (doorsnede)



$$\int \tau ds = \int [-\tau_{xz} \cos(N, y) + \tau_{yz} \cos(N, x)] ds$$

$$= \int \left(\tau_{xz} \frac{dx}{ds} + \tau_{yz} \frac{dy}{ds} \right) ds$$

zie blz. 2. $\tau_{xz} = G\alpha \left(\frac{\partial \varphi}{\partial x} - y \right)$ φ is wervingsfunctie

$\tau_{yz} = G\alpha \left(\frac{\partial \varphi}{\partial y} + x \right)$ $w = \alpha \varphi(x, y)$.

$$\oint_s \tau ds = G\alpha \oint_s \left(\frac{\partial \varphi}{\partial x} \frac{dx}{ds} + \frac{\partial \varphi}{\partial y} \frac{dy}{ds} \right) ds + G\alpha \oint_s \left(-y \frac{dx}{ds} + x \frac{dy}{ds} \right) ds$$

$$\oint_s \tau ds = G\alpha \oint_s d\varphi + G\alpha \oint_s (x dy - y dx)$$

$$\int \tau ds = 2G\alpha A$$

A is het omsloten oppervlak: $A = \oint_s x dy = -\oint_s y dx$

Kijken we nu naar de spanningfunctie f , dan volgt

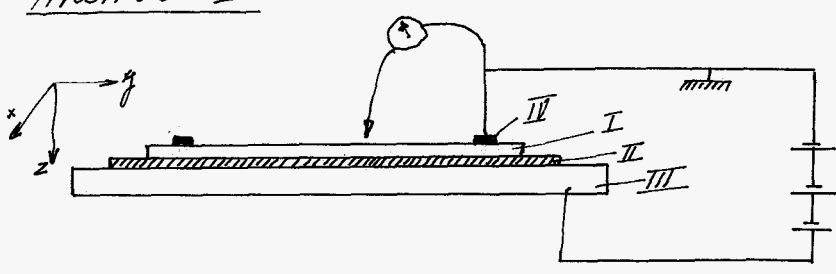
$$\int \tau ds = G\alpha \int [-\tau_{xz} \cos(N, y) + \tau_{yz} \cos(N, x)] ds = 2G\alpha A$$

$$\int \tau ds = G\alpha \int \left[-\frac{\partial f}{\partial y} \cos(N, y) - \frac{\partial f}{\partial x} \cos(N, x) \right] ds = 2G\alpha A$$

$$+ \int \frac{df}{dm} ds = + \int (\text{grad } f, \underline{m}) ds = -2A$$

Het electrisch Analoon voor de vergelijking $\nabla^2 \phi = -2$. (Poisson vergelijking)
 Hiervoor bestaan twee methodes. (zie de publicatie "The Torsion Problem -
 A New Twist door J. H. Swannell

Methodes I



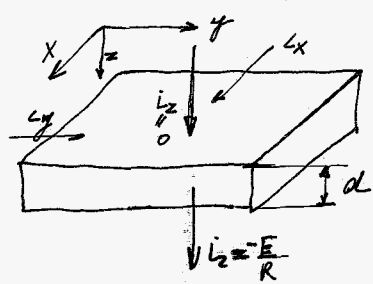
ϕ aan rand is nul.

- I Weerstandspapier
- II Halfgeleider
- III Metalen basis
- IV Contour getekend met silverinkt.

De stroom zal in het hierboven getekende geval door de halfgeleider lopen.
 Veronderstellen we dat de spanning van de metalen basis E is en die van het
 weerstandspapier Φ en veronderstellen we tevens dat $E \gg \Phi$ dan is er in
 z richting een spanningsverschil over de halfgeleider van $E - \Phi \approx E$
 Wordt de weerstand v/d halfgeleider in z -richting constant ter grootte R
 verondersteld dat is de stroom i_z door de halfgeleider $\approx \frac{E}{R}$ (constant)

In het weerstandspapier I vloeien dus stromen in x, y en z richting.

d is de dikte van het weerstandspapier.
 de totale verandering v/d stroom $-\left(\frac{\partial i_x}{\partial x} + \frac{\partial i_y}{\partial y}\right) - i_z$ moet nul zijn,



Continuïteitsvergelijking zie blz. 9.

Voor $-\left(\frac{\partial i_x}{\partial x} + \frac{\partial i_y}{\partial y}\right)$ geldt (blz 9) : $\frac{1}{\rho} \nabla^2 \Phi = -\left(\frac{\partial i_x}{\partial x} + \frac{\partial i_y}{\partial y}\right)$

Voor i_z geldt hier : $\frac{E}{R} = -i_z$

De stroom i_z is op het bovervlak natuurlijk nul. Op het ondervlak, dus het vlakje
 dat aan de halfgeleider raakt, is de stroom $i_z = -\frac{E}{R}$.

Hier geldt dus $\frac{1}{\rho} \nabla^2 \Phi + \frac{E}{R} = 0$

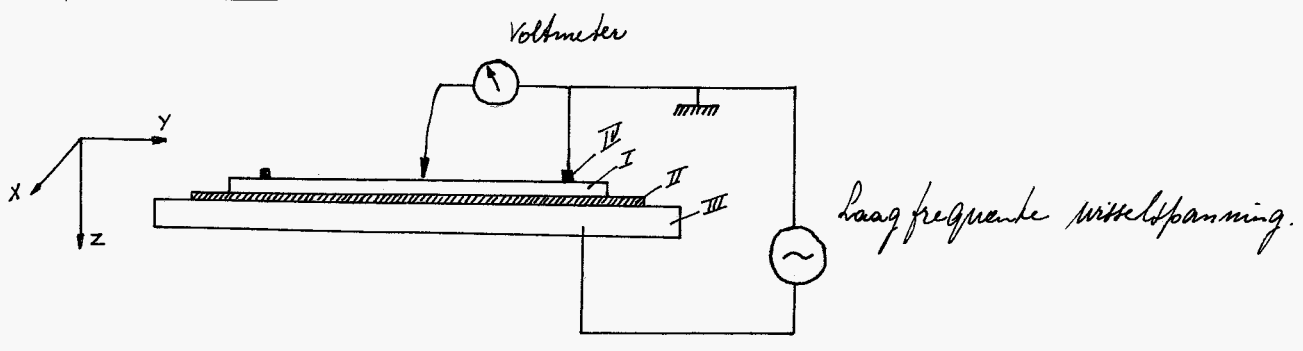
$$\nabla^2 \Phi = -\frac{\rho E}{R}$$

Φ aan de rand (op silverinkt) is nul (aan aarde gelegd)

Is ρ en R bekend, dan is E zodanig te kiezen, dat geldt : $-\frac{\rho E}{R} = -2$.

- ρ : specifieke weerstand van I
- E : spanning van III
- R : weerstand van II in z richting

Methode II.



- I Weerstandspapier
- II Isolatie laag.
- III Metalen basis
- IV Contour getekend met ribbesinkt.

de hierboven geschetste opstelling is een condensator, waarbij I en III de condensatorplaten voorstellen en II het dielectricum.

Over de platen I en III staat een laagfrequente wisselspanning de spanning Φ van het weerstandspapier is hier niet constant, maar een functie v/d tijd.

Stel: de spanning E v/d metalen basis is veel groter dan Φ . $E \gg \Phi$

Voor de condensator geldt algemeen: $q = C V$.

als $E \gg \Phi$, dan is $V \approx E$

$$E = E_m \sin 2\pi n t \quad (\text{aangelegd})$$

$$q = C \cdot E_m \sin 2\pi n t.$$

$$i_z = - \frac{dq}{dt} = - C \cdot E_m 2\pi n \cos 2\pi n t \quad \left(\frac{dq}{dt} \text{ is de z.g. dielectrische stroom tussen de platen.} \right)$$

Voor het weerstandspapier geldt (zie bladz. 11); $-\left(\frac{\partial u_x}{\partial x} + \frac{\partial u_y}{\partial y}\right) - i_z = 0$

$$\frac{1}{\rho} \nabla^2 \Phi + 2\pi n \cdot C E_m \cos 2\pi n t = 0$$

$$\nabla^2 \Phi = - 2\pi n \rho C E_m \cos 2\pi n t$$

Het rechtshid varieert met de tijd. Daar bij een condensator de spanning v.o. de stroom 90° in fase verschoven is, varieert de spanning Φ ook met een $\cos 2\pi n t$.

q : ladingsverschil over de platen
 V : spanningsverschil over de platen
 C : capaciteit.

Meet men de spanning Φ m.b.v. een voltmeter voor wisselstromen, die de effectieve waarde van de spanning geeft, dan wordt de vergelijking-

$$\nabla^2 \Phi = -2\bar{y} \eta \rho \ell E' \quad (E' \text{ is de effectieve waarde van de aangelegde spanning, } \bar{y} \text{ blijft verder constant})$$

Deze vergelijking is onafhankelijk van de tijd.

Met men deze methode gebruiken, dan kent men naast de doorsnede die men wil onderzoeken nog een andere doorsnede. bijv. een cirkel, en het hierop precies dezelfde spanning als op de te onderzoeken doorsnede. Voor een cirkel is de theoretische waarde van de spanning Φ bekend, en hieruit kan men dan de waarde d (de hoekverdraaiing per lengte eenheid) bepalen.

Er geldt algemeen: (zie blz. 6)

$$\left. \begin{aligned} \nabla^2 f &= -2 \\ \tau_{xz} &= Gd \frac{\partial f}{\partial y} \\ \tau_{yz} &= -Gd \frac{\partial f}{\partial x} \\ f \text{ aan de rand is nul (of constant)} \end{aligned} \right\} \rightarrow \text{of: definieer functie } F \text{ als volgt:}$$

$$\begin{aligned} f &= \frac{F}{Gd} \\ \nabla^2 F &= -2Gd \\ \tau_{xz} &= \frac{\partial F}{\partial y} \\ \tau_{yz} &= -\frac{\partial F}{\partial x} \end{aligned}$$

F aan de rand is nul (of constant)

Voor de cirkel geldt:

$$\begin{aligned} F &= -\frac{Gd}{1/2} (r^2 - R^2) \\ \nabla^2 F &= \frac{\partial^2 F}{\partial r^2} + \frac{1}{r} \frac{\partial F}{\partial r} + \frac{1}{r^2} \frac{\partial^2 F}{\partial \theta^2} \\ \nabla^2 F &= -Gd - Gd = -2Gd. \\ F &\text{ is nul aan de rand.} \end{aligned}$$

Voor $r=0$, dus in het middelpunt is de waarde van $F_m = +\frac{GdR^2}{2}$

$$\text{Voor de cirkel geldt } d = \frac{2 F_m}{G R^2}$$

Heeft men beide doorsneden aan dezelfde spanning gelegd, dan geldt voor beide doorsnede $\sigma^2 F = -2Gd = -2\bar{\epsilon} \rho C E'$

De waarde van d is dus voor beide doorsnede hetzelfde.


De grootte van d berekent men dus m.b.v. van de spanning (F_m) in het middelpunt van de cirkel.

$$d = \frac{2 F_m}{g K^2}$$

De spanningen zijn afhankelijk van de afgeleide in x en y richting.

$$\tau_{xz} = \frac{\partial F}{\partial y}$$
$$\tau_{yz} = -\frac{\partial F}{\partial x}$$

Deze methode heeft verder het voordeel dat bij een meer voudige doorsnede het analogon automatisch goed blijft, als men het gat dat door de volgende doorsnede ontstaat dicht maakt met bitverinkt.

Bv.  Wil men bijv. de gearceerde doorsnede onderzoeken, dan tekent men de buitencontour (I) met bitververf op het muurstaandspapier. Vervolgens tekent men de open ruimte binnen de contour II dicht met bitverinkt.

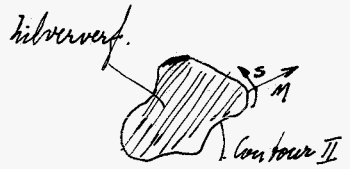
De aan te leggen spanning wordt aan contour I, de buitencontour, gearceerd. (zie teken op bladz. 12).

Bewijs: Volgens bladz. 10 is de randvoorwaarde: $\int \frac{d\phi}{dn} ds = -2A$

of voor: $\frac{F}{gk} = f$

$$\int \frac{dF}{dn} ds = -2AGk$$

A is het opp. van het gat.
f is spanningfunctie



Op de contour geldt $\int i ds = \int \frac{d\phi}{dn} ds$

i: stroomsterkte in de richting van n
p: specifieke muurstaand.

Algemeen geldt $\vec{F} = -\rho \text{grad } \bar{V}$ (\vec{F} vector corresponderend met de stroomsterkte)
 \bar{V} Spanningsvector.

De spanning \bar{V} binnen de contour is hier constant.

De gradient van \bar{V} aan de rand is dus $\frac{d\bar{V}}{dn}$.

i is hier dus de stroomsterkte die in de richting van n, in het gearceerde

oppervlak vloeit.

de $\int i ds$ is de totale stroom die via de contour het gearceerde oppervlak binnen stroomt.

de $\int i ds$ is dus gelijk aan de totale stroom die via het oppervlak in z richting uit het microstands papier vloeit.

Volgens blz. 12. geldt $i_z = - \frac{dq}{dt} = - 2\pi M C \bar{E}_m \cos 2\bar{u} \omega t$

de totale stroom is: $i_z \cdot A = - 2\bar{u} M C A \bar{E}_m \cos 2\bar{u} \omega t$. A (opp. gearceerde gedeelte)

dus $\int i ds = - 2\bar{u} M C A \bar{E}_m \cos 2\bar{u} \omega t$

We hadden (zie blz. 14) $\int i ds = \frac{\int \frac{d\phi}{dn} ds}{\rho}$

$$\text{dus } \frac{\int \frac{d\phi}{dn} ds}{\rho} + 2\pi M C A \bar{E}_m \cos 2\bar{u} \omega t = 0$$

$$\text{of } \int \frac{d\phi}{dn} ds = - A C 2\bar{u} M \rho \bar{E}_m \cos 2\bar{u} \omega t$$

$$\int \frac{d\phi}{dn} ds = - A C 2\bar{u} M \rho \bar{E}' \quad (\bar{E}' \text{ is effectieve spanning})$$

$$- C 2\bar{u} M \rho \bar{E}' = - 2 G d. \quad (\text{zie blz. 14})$$

$$\text{Dus } \int \frac{d\phi}{dn} ds = - 2 A G d.$$

ϕ correspondeert hier met de functie $F = f. G d.$

Er is dus automatisch voldaan aan $\int \frac{\partial F}{\partial n} ds = - 2 A G d.$

Onderzoek aan twee doorsneden m.b.v. het electrisch analoog dat voldoet aan $\nabla^2 V = 0$ (zie bladz. 8)

Algemeen. ψ is de toegeroegde potentiaal functie

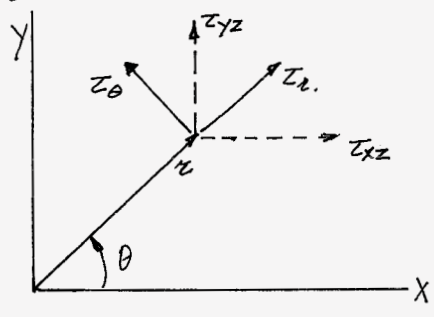
$$\nabla^2 \psi = 0 \quad \frac{\partial^2 \psi}{\partial x^2} + \frac{\partial^2 \psi}{\partial y^2} = 0 \quad \text{of} \quad \frac{\partial^2 \psi}{\partial r^2} + \frac{1}{r} \frac{\partial \psi}{\partial r} + \frac{1}{r^2} \frac{\partial^2 \psi}{\partial \theta^2} = 0$$

$$\tau_{xz} = Gd \left(\frac{\partial \psi}{\partial y} - \gamma \right)$$

$$\tau_{yz} = Gd \left(-\frac{\partial \psi}{\partial x} + \kappa \right)$$

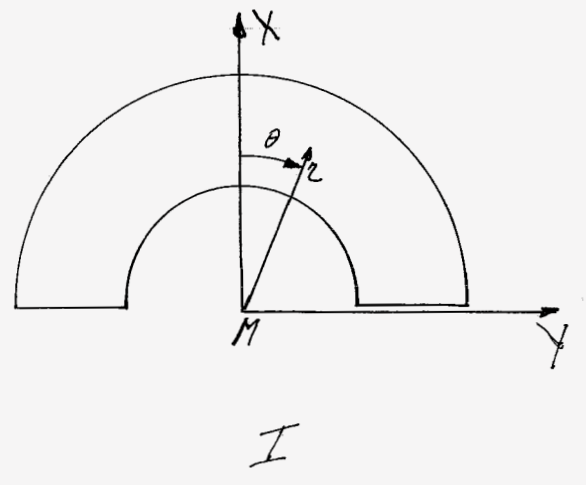
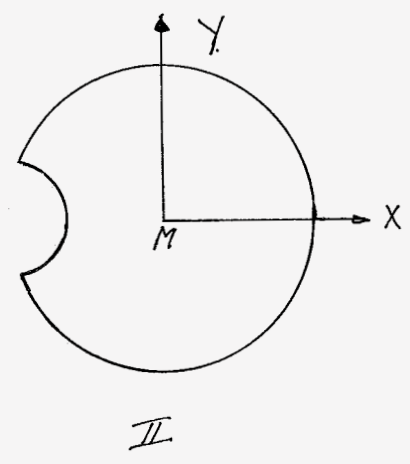
$$\tau_r = Gd \left[\frac{1}{r} \frac{\partial \psi}{\partial \theta} \right]$$

$$\tau_\theta = Gd \left[-\frac{\partial \psi}{\partial r} + \kappa \right]$$

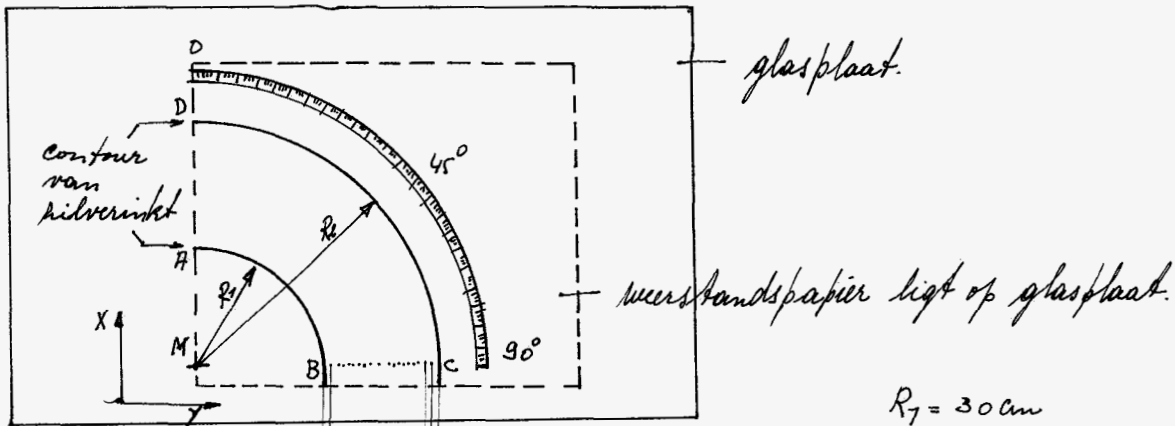


Randvoorwaarde $\psi = \frac{1}{2} r^2 + C$.

De onderzochte doorsneden zijn:

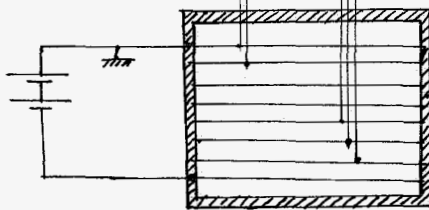


opstelling voor doorsnede I



$$R_1 = 30 \text{ cm}$$

$$R_2 = 60 \text{ cm.}$$



Raam waarover weerstandsdraad is gespannen.
 Lengte $\approx 10 \text{ m}$, mat. kantkat.
 Totale weerstand $\approx 25 \Omega$.

De uiteinden van deze weerstandsdraad worden verbonden met de klemmen van twee in serie gekoppelde 12 volts accu's.

de spanning over de weerstandsdraad loopt van 0 tot ± 24 volt.
 de nauwkeurigste spanningsverdeling aan de omtrek van de getekende (halve) doorsnede moet verlopen volgens $\frac{1}{2}r^2 + c$.

de spanning over AB is dus constant, over BC is het spanningsverloop kwadratisch en over CD is de spanning weer constant.

Over de lijn BC is om de 1,5 cm een electrisch kabeltje met behulp van een klontje silverinkt op het weerstandspapier geplakt.

Het andere uiteinde van het kabeltje wordt verbonden met een punt van de weerstandsdraad over het raam, dat een spanning heeft, die overeenkomt met de aan te leggen spanning.

de spanning op de punten over de lijn BC wordt gemeten m. b. v. een digitale voltmeter.

We kunnen hier volstaan met de halve doorsnede omdat de lijn MAD een symmetrielijn is.

de electrische spanning over AD heeft hier geen afgeleide maar φ , blijft in

horizontale richting dus even constant.

De elektrische stroom in horizontale richting is dus nul.

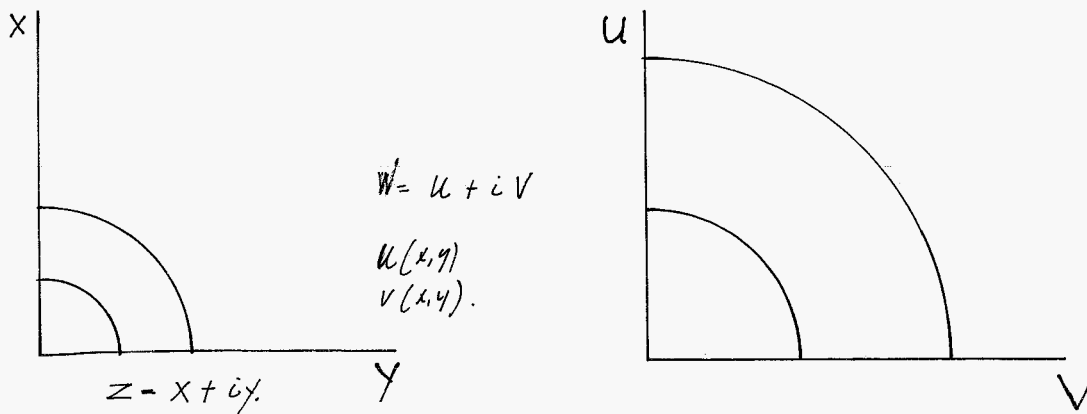
Door de lijn AD nu op de rand van het weerstandspapier te leggen, kan er geen stroom in horizontale richting vloeien.

Het stroomloos zijn in horizontale richting over AD is hier eigenlijk de randvoorwaarde.

Keuze van de afmetingen van de doorsnede en aan te leggen spanning.

In ons voorbeeld is: $R_1 = 30 \text{ cm}$ dus $\frac{R_2}{R_1} = 2$.
 $R_2 = 60 \text{ cm}$.

Wil men echter de zelfde doorsnede onderzoeken, wat betreft de vorm, maar met andere stralen bijv. $R_1 = 2 \text{ cm}$ en $R_2 = 4 \text{ cm}$ ($\frac{R_2}{R_1} = 2$ moet men handhaven) dan gaat men als volgt te werk.



Maak van de oorspronkelijke doorsnede een conforme afbeelding. In ons geval een lineaire afbeelding, m.b.v. de functie $W = u + i v(x,y)$

De Cauchy-Riemann relatie moet gelden: nl. $\left\{ \begin{array}{l} \frac{\partial u}{\partial x} = \frac{\partial v}{\partial y} \\ \frac{\partial u}{\partial y} = -\frac{\partial v}{\partial x} \end{array} \right.$ of $\nabla^2 u = \nabla^2 v = 0$.

Bij een lineaire afbeelding geldt: $W = \eta x + i \eta y = \eta z$

$$\text{dus } \begin{array}{l} u = \eta x \\ v = \eta y \end{array}$$

Aan de Cauchy-Riemann voorwaarde is voldaan.

De toegevoegde verbindingsfunctie $\varphi(x, y) = \varphi(u(x, y), v(x, y))$

Er geldt:

$$\frac{\partial \varphi}{\partial x} = \frac{\partial \varphi}{\partial u} \frac{\partial u}{\partial x} + \frac{\partial \varphi}{\partial v} \frac{\partial v}{\partial x}$$

$$\frac{\partial \varphi}{\partial y} = \frac{\partial \varphi}{\partial u} \frac{\partial u}{\partial y} + \frac{\partial \varphi}{\partial v} \frac{\partial v}{\partial y}$$

$$\frac{\partial^2 \varphi}{\partial x^2} = \frac{\partial^2 \varphi}{\partial u^2} \left(\frac{\partial u}{\partial x}\right)^2 + \frac{\partial^2 \varphi}{\partial u \partial v} \frac{\partial v}{\partial x} \frac{\partial u}{\partial x} + \frac{\partial \varphi}{\partial u} \frac{\partial^2 u}{\partial x^2} + \frac{\partial^2 \varphi}{\partial v^2} \left(\frac{\partial v}{\partial x}\right)^2 + \frac{\partial^2 \varphi}{\partial u \partial v} \frac{\partial u}{\partial x} \frac{\partial v}{\partial x} + \frac{\partial \varphi}{\partial v} \frac{\partial^2 v}{\partial x^2}$$

$$\frac{\partial^2 \varphi}{\partial y^2} = \frac{\partial^2 \varphi}{\partial u^2} \left(\frac{\partial u}{\partial y}\right)^2 + \frac{\partial^2 \varphi}{\partial u \partial v} \frac{\partial u}{\partial y} \frac{\partial v}{\partial y} + \frac{\partial \varphi}{\partial u} \frac{\partial^2 u}{\partial y^2} + \frac{\partial^2 \varphi}{\partial v^2} \left(\frac{\partial v}{\partial y}\right)^2 + \frac{\partial^2 \varphi}{\partial u \partial v} \frac{\partial u}{\partial y} \frac{\partial v}{\partial y} + \frac{\partial \varphi}{\partial v} \frac{\partial^2 v}{\partial y^2}$$

$$\frac{\partial^2 \varphi}{\partial x^2} + \frac{\partial^2 \varphi}{\partial y^2} = \frac{\partial^2 \varphi}{\partial u^2} \left[\left(\frac{\partial u}{\partial x}\right)^2 + \left(\frac{\partial u}{\partial y}\right)^2 \right] + \frac{\partial^2 \varphi}{\partial v^2} \left[\left(\frac{\partial v}{\partial x}\right)^2 + \left(\frac{\partial v}{\partial y}\right)^2 \right] + 2 \frac{\partial^2 \varphi}{\partial u \partial v} \left[\frac{\partial u}{\partial x} \frac{\partial v}{\partial x} + \frac{\partial u}{\partial y} \frac{\partial v}{\partial y} \right] + \frac{\partial \varphi}{\partial u} \left[\frac{\partial^2 u}{\partial x^2} + \frac{\partial^2 u}{\partial y^2} \right] + \frac{\partial \varphi}{\partial v} \left[\frac{\partial^2 v}{\partial x^2} + \frac{\partial^2 v}{\partial y^2} \right]$$

Kullen we de Cauchy-Riemann relatie in bovenstaande vergelijking in, dan krijgen we:

$$\frac{\partial^2 \varphi}{\partial x^2} + \frac{\partial^2 \varphi}{\partial y^2} = \left[\left(\frac{\partial u}{\partial x}\right)^2 + \left(\frac{\partial u}{\partial y}\right)^2 \right] \left[\frac{\partial^2 \varphi}{\partial u^2} + \frac{\partial^2 \varphi}{\partial v^2} \right]$$

De verg. $\frac{\partial^2 \varphi}{\partial x^2} + \frac{\partial^2 \varphi}{\partial y^2} = 0$ wordt dus $\frac{\partial^2 \varphi}{\partial u^2} + \frac{\partial^2 \varphi}{\partial v^2} = 0$ voor elke conforme afbeelding.

De randvoorwaarde wordt:

$$\varphi = \frac{1}{2}(x^2 + y^2) + C = \frac{1}{2}r^2 + C = \frac{1}{2} \frac{u^2 + v^2}{\eta^2} + C = \frac{1}{2} \frac{\kappa^2}{\eta^2} + C.$$

de spanningen worden:

$$\tau_{xz} = G \alpha \left(\frac{\partial \varphi}{\partial y} - \gamma \right) = G \alpha \left(\eta \frac{\partial \varphi}{\partial v} - \frac{v}{\eta} \right)$$
$$\tau_{yz} = G \alpha \left(-\frac{\partial \varphi}{\partial x} + \kappa \right) = G \alpha \left(-\eta \frac{\partial \varphi}{\partial u} + \frac{u}{\eta} \right).$$

legt men in plaats van de spanning $\varphi = \frac{1}{2}r^2 + C$ de spanning $\varphi' = \gamma \varphi$ aan de rand aan, dan voldoet de functie φ' ook aan de verg. Van Laplace $\nabla^2 \varphi' = 0$

de randvoorwaarde wordt dan:

$$\varphi' = \lambda \varphi = \lambda \frac{1}{2} r^2 + C = \frac{\lambda}{\eta^2} \frac{1}{2} R^2 + \lambda C.$$

de spanningen worden:

$$\tau_{rz} = G_d \left(\frac{\partial \varphi}{\partial r} - \varphi \right) = G_d \left(\frac{\eta}{\lambda} \frac{\partial \varphi'}{\partial r} - \frac{V}{\eta} \right)$$

$$\tau_{rz} = G_d \left(-\frac{\partial \varphi}{\partial z} + r \right) = G_d \left(-\frac{\eta}{\lambda} \frac{\partial \varphi'}{\partial z} + \frac{r}{\eta} \right)$$

of, in poolcoördinaten

$$\tau_r = G_d \left(\frac{1}{r} \frac{\partial \varphi}{\partial \theta} \right) = G_d \left[\frac{\eta}{\lambda} \frac{1}{R} \frac{\partial \varphi'}{\partial \theta} \right]$$

$$\tau_\theta = G_d \left(-\frac{\partial \varphi}{\partial r} + r \right) = G_d \left[-\frac{\eta}{\lambda} \frac{\partial \varphi'}{\partial R} + \frac{R}{\eta} \right].$$

Bij ons onderzoek zullen we geen gebruik maken van de lineaire afbeelding, wel van $\varphi' = \lambda \varphi$.

Daar we ter beschikking hebben een spanning van 24 Volt nemen

$$\text{we } \lambda = \frac{1}{90}$$

$$\varphi' = \frac{1}{2} \lambda r^2 = \frac{1}{2} \times \frac{1}{90} \times r^2.$$

$$\varphi'_{\max} = \frac{1}{2} \times \lambda + 60^2 = \frac{1}{2} \times \frac{1}{90} \times 3600 = 20 \text{ Volt}$$

$$\varphi'_{\min.} = \frac{1}{2} \times \lambda + 30^2 = \frac{1}{2} \times \frac{1}{90} \times 900 = 5 \text{ Volt.}$$

$$\tau_{\text{cm}} \triangleq 1 \text{ Volt.}$$

We leggen dus de volgende spanningen aan:

over AB (binnenrand) 5 Volt

over DC (buitenrand) 20 Volt

de spanning over BC verloopt kwadratisch van B naar C
van 5 tot 20 Volt.

de afstand tussen twee punten op BC is 1,5 cm genomen.

de grootte vpl spanning wordt gemeten met een digitale voltmeter. deze geeft afhankelijk vpl grootte van het getal,

de volgende stellingen:

| | |
|--------|----------------------|
| 4 dec. | van 0 tot 0,1599 |
| 3 dec. | van 0,1599 tot 1,599 |
| 2 dec. | van 1,599 tot 15,99 |
| 1 dec. | van 15,99 tot 159,9 |

Nadat de spanning φ' aan de rand is aangelegd, wordt de spanning φ' op verschillende plaatsen op de doorsnede gemeten, m.b.v. de digitale voltmeter.

Aan de digitale voltmeter zitten twee draden, een draad wordt met de pade van het accu circuit verbonden en de andere wordt aan een potloodlijft bevestigd.

Legt men nu een lijnaal door het middelpunt M (zie blz 17) onder een bepaalde hoek θ , dan kan men m.b.v. de potloodlijft de spanning φ' op verschillende waarden van r bij de gekozen hoek θ meten en in een tabel schrijven.

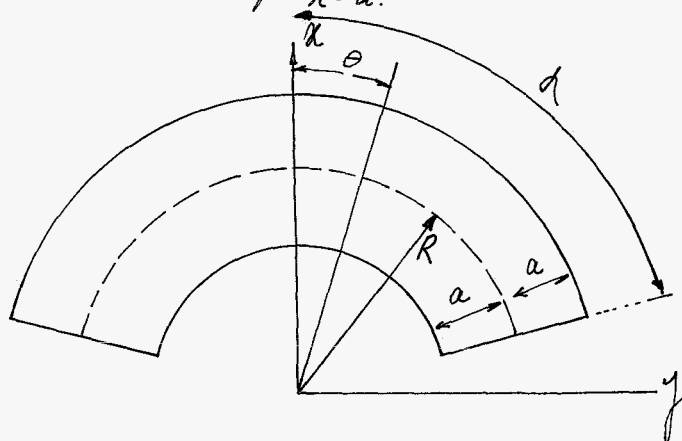
Voor gemeten waarden zie grafiek op blz. 23.

De theoretische waarden van de functie φ is te vinden in een uitgave van ir. J. D. Janssen, Enige Studies op het gebied van de Torkie van Balken, 1963. Afdeling der werktuigbouwkunde, Groep Technische Mechanica.

Op blz. 26 van deze uitgave staat vermeldt:

$$\psi = -\frac{1}{2} r^2 + \frac{1}{2} (R-a)^2 + \frac{4aR}{P} \log \frac{r}{R-a} - \sum_{n=1,3}^{\infty} \frac{2(R^2+a^2)P^2}{(P^2+n^2\pi^2) n\pi} \frac{\cosh \frac{2n\pi}{P} \cdot \theta}{\cosh \frac{2n\pi}{P} d} \sin \left(\frac{2n\pi}{P} \log \frac{r}{R-a} \right)$$

$$\text{met } p = 2 \log \frac{R+a}{R-a}$$



Voor ons voorbeeld geldt dus;

$$\begin{aligned} R &= 45 \\ a &= 15 \\ \alpha &= \frac{\pi}{2} \end{aligned}$$

Met de functie ψ is hier bedoeld de spanningsfunctie f volgens blz. 1.

$$\varphi = f + \frac{1}{2} r^2 = \psi + \frac{1}{2} r^2$$

$$\varphi' = \lambda \varphi = \frac{1}{90} \left[\frac{1}{2} (R-a)^2 + \frac{4aR}{P} \log \frac{r}{R-a} - \sum_{n=1,3}^{\infty} \frac{2(R^2+a^2)P^2}{(P^2+n^2\pi^2) n\pi} \frac{\cosh \frac{2n\pi}{P} \theta}{\cosh \frac{2n\pi}{P} d} \sin \left(\frac{2n\pi}{P} \log \frac{r}{R-a} \right) \right]$$

De funktiewaarde van φ' (theoretische waarde) is voor verschillende waarden van θ en r numeriek uitgerekend door de computer IBM 1620.

Het rekenprogramma is toegevoegd in Bijlage I

Van de somfunctie zijn de eerste drie termen meegenomen.

Door de snelle convergentie van deze som is de max. fout kleiner dan $\frac{1}{2}\%$.

In de grafiek op de volgende bladz. (23) zijn voor $\theta = 0^\circ, 75^\circ, 85^\circ$ en 90° de theoretische en de gemeten waarden uitgetekend.

Beide waarden komen goed overeen.

De grootste afwijkingen treden op bij $\theta = 90^\circ$. Dit is in principe niet mogelijk, omdat voor $\theta = 90^\circ$ de functie φ' juist aangelegd is. Er zit echter een kleine onnauwkeurigheid in de theoretische formule van φ' die groter wordt met toenemende θ en hier max. is, vandaar het verschil in beide waarden.

De vorm van de onnauwkeurigheid is hetzelfde voor $\theta = 85^\circ$ en $\theta = 90^\circ$. Hierdoor is te verklaren dat bij $\theta = 85^\circ$ de theoretische waarden van φ' tussen $r = 30$ cm en $r = 43$ cm kleiner zijn dan de gemeten en tussen $r = 43$ cm en $r = 58$ cm groter dan de gemeten.

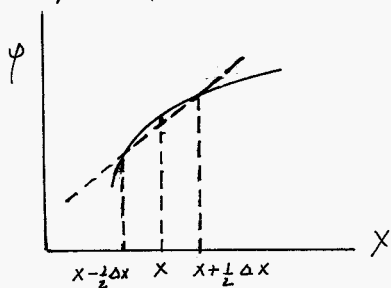
Bij $\theta = 0^\circ$ liggen de theoretische waarden iets lager dan de gemeten en bij $\theta = 75^\circ$ liggen ze iets hoger.

De contour $k_1 = 30$ cm en $k_2 = 60$ cm is met hetverinkt op het weerstandspapier getekend. Hierdoor is een kleine onnauwkeurigheid (~ 2 mm) in de stralen k_1 en k_2 mogelijk.

Bij de meting lag de liniaal langs M en θ zodanig, dat het punt nul op de liniaal boven M was. Op deze manier is een systematische fout in r mogelijk.

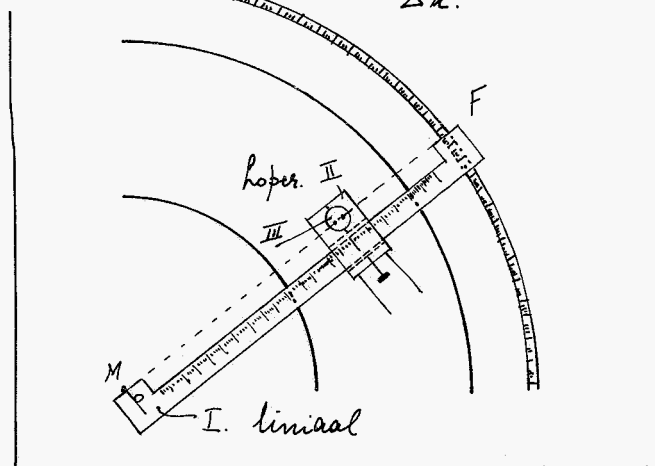
Het meten van de afgeleide van de toegevoegde weringsfunctie $\varphi' = x \varphi$

Het principe van de meetmethode:



Wil men in het punt x de afgeleide naar κ bepalen, dan meet men de functie waarde in het punt $\kappa + \frac{1}{2} \Delta \kappa$ is $\varphi'(\kappa + \frac{1}{2} \Delta \kappa)$ en in het punt $\kappa - \frac{1}{2} \Delta \kappa$ is $\varphi'(\kappa - \frac{1}{2} \Delta \kappa)$.

Men bepaald $\frac{\varphi'(\kappa + \frac{1}{2} \Delta \kappa) - \varphi'(\kappa - \frac{1}{2} \Delta \kappa)}{\Delta \kappa}$



Om $\varphi'(\kappa + \frac{1}{2} \Delta \kappa) - \varphi'(\kappa - \frac{1}{2} \Delta \kappa)$ ineen te kunnen meten, is het hierboven getekende apparaatje gemaakt.

De liniaal I en de looper II zijn gemaakt van doorzichtige kunststof. Op de looper zit een drukknop III. Onder de drukknop zijn via meertjes en een geleiding twee messing staafjes bevestigd. De uiteinden van deze staafjes zijn puntvormig en op een vaste afstand van elkaar boven de lijn MF. De beide puntjes zijn via twee elektrische draadjes verbonden met een digitale voltmeter. Drukt men op de drukknop dan komen de beide puntjes op het papier op de lijn MF en op de digitale voltmeter is het spanningsverschil $\varphi'(\kappa + \frac{1}{2} \Delta \kappa) - \varphi'(\kappa - \frac{1}{2} \Delta \kappa)$ af te lezen. De afstand $\Delta \kappa$ tussen de puntjes is bekend.

De gemeten waarde voor $\frac{\partial \varphi'}{\partial \kappa} = \frac{\varphi'(\kappa + \frac{1}{2} \Delta \kappa) - \varphi'(\kappa - \frac{1}{2} \Delta \kappa)}{\Delta \kappa}$.

De beide puntjes kunnen ook loodrecht op MF getekend worden, zodat

$$\frac{1}{2} \frac{\partial \varphi'}{\partial \theta} = \frac{\varphi'(\theta + \frac{1}{2} \Delta \theta) - \varphi'(\theta - \frac{1}{2} \Delta \theta)}{\Delta \theta}$$

gemeten kan worden.

De puntjes onder de drukknop zorgen er voor dat de beide puntjes bij het indrukken van de knop steeds met een constante inwendige kracht op het weerstandspapier drukken.

M.b.v. deze methode hebben we $\frac{\partial \varphi'}{\partial r}$ gemeten voor $\theta = 0^\circ, 5^\circ$ en 80° en de afstand tussen de punten was 3,25 mm en 6,75 mm.

Ook de theoretische waarde van $\frac{\partial \varphi'}{\partial r}$ is uitgerekend voor $\theta = 0^\circ, 5^\circ$ en 80° .

Zie blz. 27.

$$\frac{\partial \varphi'}{\partial r} = \lambda \frac{\partial \varphi}{\partial r} = \frac{1}{g_0} \left[\frac{4ak}{pr} - \frac{1}{r} \sum_{m=1,3}^{\infty} \frac{4(k^2 + a^2) \rho}{\rho^2 + m^2 \pi^2} \frac{\cosh \frac{2m\pi}{p} \theta}{\cosh \frac{2m\pi}{p} a} \cos \frac{2m\pi}{p} \log \frac{r}{k-a} \right]$$

Voor tabel zie volgende blz. (26).

$\frac{\partial \varphi'}{\partial r}$ is in grafiek gebracht op blz. (27.)

Theoretische en gemeten waarden van $\frac{\partial \psi'}{\partial z}$

| straal | $\theta = 0^\circ$ | | | $\theta = 5^\circ$ | | $\theta = 80^\circ$ | | |
|----------|-------------------------------------|-------------------------------------|-------------------------------------|-------------------------------------|-------------------------------------|-------------------------------------|-------------------------------------|-------------------------------------|
| | Theor. | I 3,25 mm | II 6,75 mm | I 3,25 mm | II 6,75 mm | Theor. | I 3,25 mm | II 6,75 mm |
| z (cm) | $\frac{\partial \psi'}{\partial z}$ | $\frac{\partial \psi'}{\partial z}$ | $\frac{\partial \psi'}{\partial z}$ | $\frac{\partial \psi'}{\partial z}$ | $\frac{\partial \psi'}{\partial z}$ | $\frac{\partial \psi'}{\partial z}$ | $\frac{\partial \psi'}{\partial z}$ | $\frac{\partial \psi'}{\partial z}$ |
| 30 | | | | | | 0,612 | | |
| 30,2 | 0,716 | 0,693 | 0,65 | 0,748 | 0,614 | | 0,616 | 0,497 |
| 30,4 | 0,712 | 0,804 | 0,74 | 0,692 | 0,734 | | 0,634 | 0,537 |
| 30,6 | 0,706 | 0,763 | 0,719 | 0,739 | 0,754 | | 0,656 | 0,534 |
| 30,8 | 0,702 | 0,68 | 0,68 | 0,804 | 0,74 | | 0,613 | 0,526 |
| 31 | 0,698 | 0,661 | 0,656 | 0,75 | 0,739 | | 0,572 | 0,516 |
| 32 | 0,676 | 0,652 | 0,659 | 0,686 | 0,656 | | 0,539 | 0,491 |
| 33 | 0,656 | 0,625 | 0,622 | 0,65 | 0,654 | 0,561 | 0,604 | 0,471 |
| 34 | 0,636 | 0,67 | 0,622 | 0,61 | 0,615 | | 0,539 | 0,496 |
| 35 | 0,618 | 0,618 | 0,586 | 0,636 | 0,596 | | 0,524 | 0,486 |
| 36 | 0,601 | 0,621 | 0,602 | 0,632 | 0,611 | 0,538 | 0,554 | 0,475 |
| 37 | 0,585 | 0,6 | 0,577 | 0,579 | 0,576 | | 0,605 | 0,455 |
| 38 | 0,569 | 0,547 | 0,527 | 0,535 | 0,548 | | 0,529 | 0,489 |
| 39 | 0,555 | 0,556 | 0,544 | 0,56 | 0,556 | 0,523 | 0,524 | 0,497 |
| 40 | 0,541 | 0,526 | 0,555 | 0,57 | 0,54 | | 0,536 | 0,491 |
| 41 | 0,528 | 0,581 | 0,546 | 0,524 | 0,531 | | 0,508 | 0,499 |
| 42 | 0,515 | 0,556 | 0,534 | 0,548 | 0,519 | 0,509 | 0,52 | 0,484 |
| 43 | 0,504 | 0,522 | 0,489 | 0,539 | 0,511 | | 0,57 | 0,479 |
| 44 | 0,492 | 0,52 | 0,5 | 0,526 | 0,501 | | 0,545 | 0,491 |
| 45 | 0,481 | 0,489 | 0,473 | 0,489 | 0,471 | 0,5 | 0,484 | 0,508 |
| 46 | 0,471 | 0,474 | 0,453 | 0,462 | 0,461 | | 0,526 | 0,576 |
| 47 | 0,461 | 0,474 | 0,446 | 0,456 | 0,449 | | 0,512 | 0,514 |
| 48 | 0,451 | 0,471 | 0,454 | 0,446 | 0,442 | 0,487 | 0,469 | 0,457 |
| 49 | 0,442 | 0,442 | 0,44 | 0,446 | 0,439 | | 0,469 | 0,491 |
| 50 | 0,433 | 0,446 | 0,428 | 0,444 | 0,434 | | 0,428 | 0,486 |
| 51 | 0,424 | 0,412 | 0,421 | 0,397 | 0,394 | 0,473 | 0,409 | 0,481 |
| 52 | 0,416 | 0,403 | 0,392 | 0,422 | 0,404 | | 0,44 | 0,486 |
| 53 | 0,408 | 0,409 | 0,402 | 0,419 | 0,404 | 0,455 | 0,436 | 0,49 |
| 54 | 0,402 | 0,369 | 0,372 | 0,397 | 0,38 | | 0,461 | 0,469 |
| 55 | 0,393 | 0,369 | 0,348 | 0,382 | 0,366 | | 0,4 | 0,444 |
| 56 | 0,386 | 0,371 | 0,369 | 0,375 | 0,38 | | 0,412 | 0,494 |
| 57 | 0,379 | 0,36 | 0,338 | 0,332 | 0,34 | 0,436 | 0,412 | 0,461 |
| 58 | 0,373 | 0,348 | 0,342 | 0,340 | 0,33 | | 0,406 | 0,447 |
| 59 | 0,366 | 0,342 | 0,317 | 0,32 | 0,317 | | 0,418 | 0,456 |
| 59,2 | | 0,322 | 0,314 | 0,314 | 0,317 | | 0,378 | 0,465 |
| 59,4 | | 0,298 | 0,306 | 0,332 | 0,33 | | 0,408 | 0,466 |
| 59,6 | | 0,298 | 0,348 | 0,348 | 0,322 | | 0,421 | 0,444 |
| 59,8 | | | 0,31 | 0,336 | | | 0,388 | 0,392 |
| 60 | 0,3602 | | | | | 0,416 | | |

de theoretische waarden van $\frac{\partial \psi'}{\partial z}$ voor $\theta = 0^\circ$ en $\theta = 5^\circ$ zijn hetzelfde.

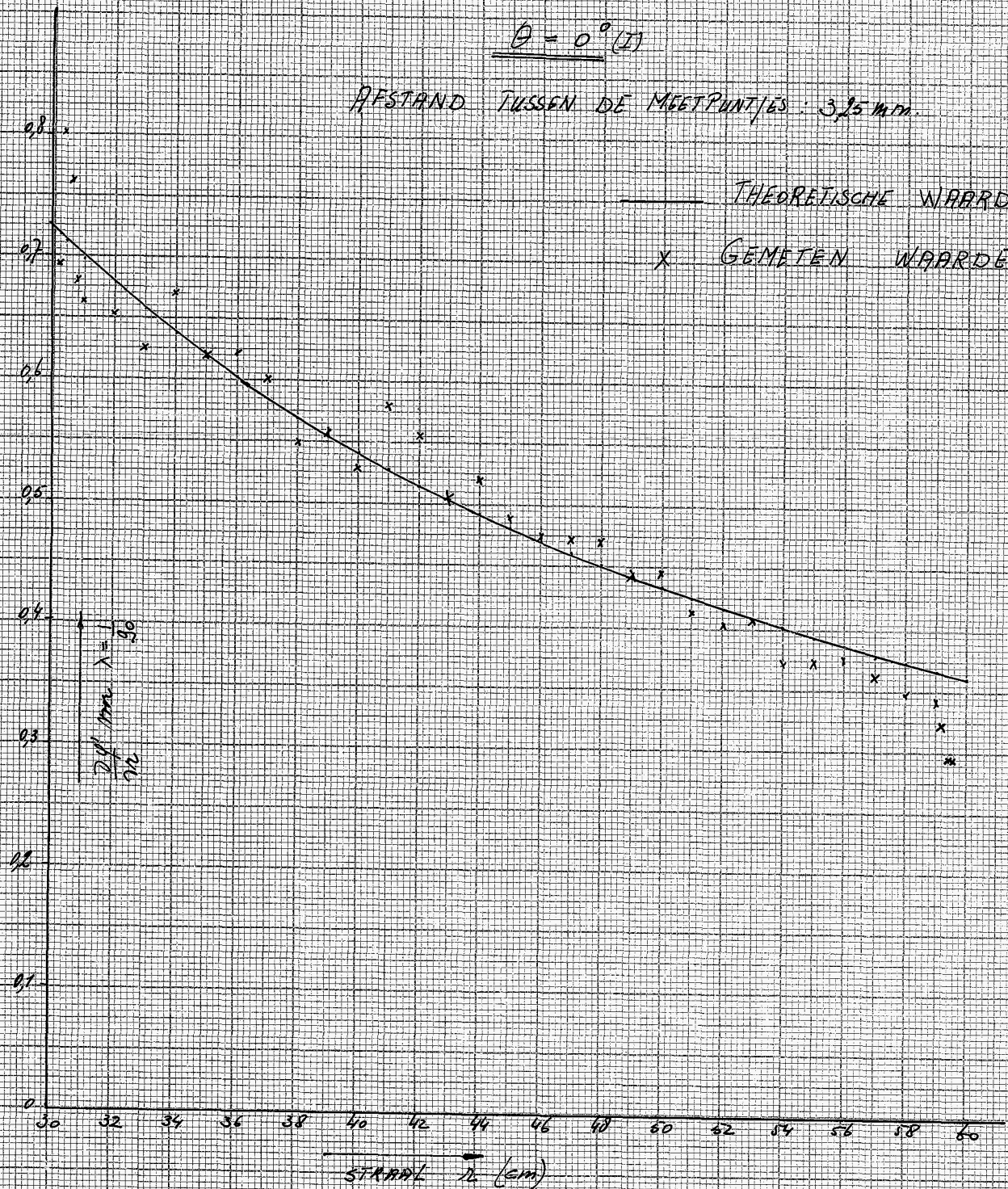
In de tabellen I en II is voor een afstand tussen de pentjes van resp. 3,25 mm en 6,75 mm de gemeten afgeleide naar z gemeten.

$\theta = 0^\circ (I)$

AFSTAND TUSSEN DE MEEPTUNTES : 3,25 mm.

— THEORETISCHE WAARDE

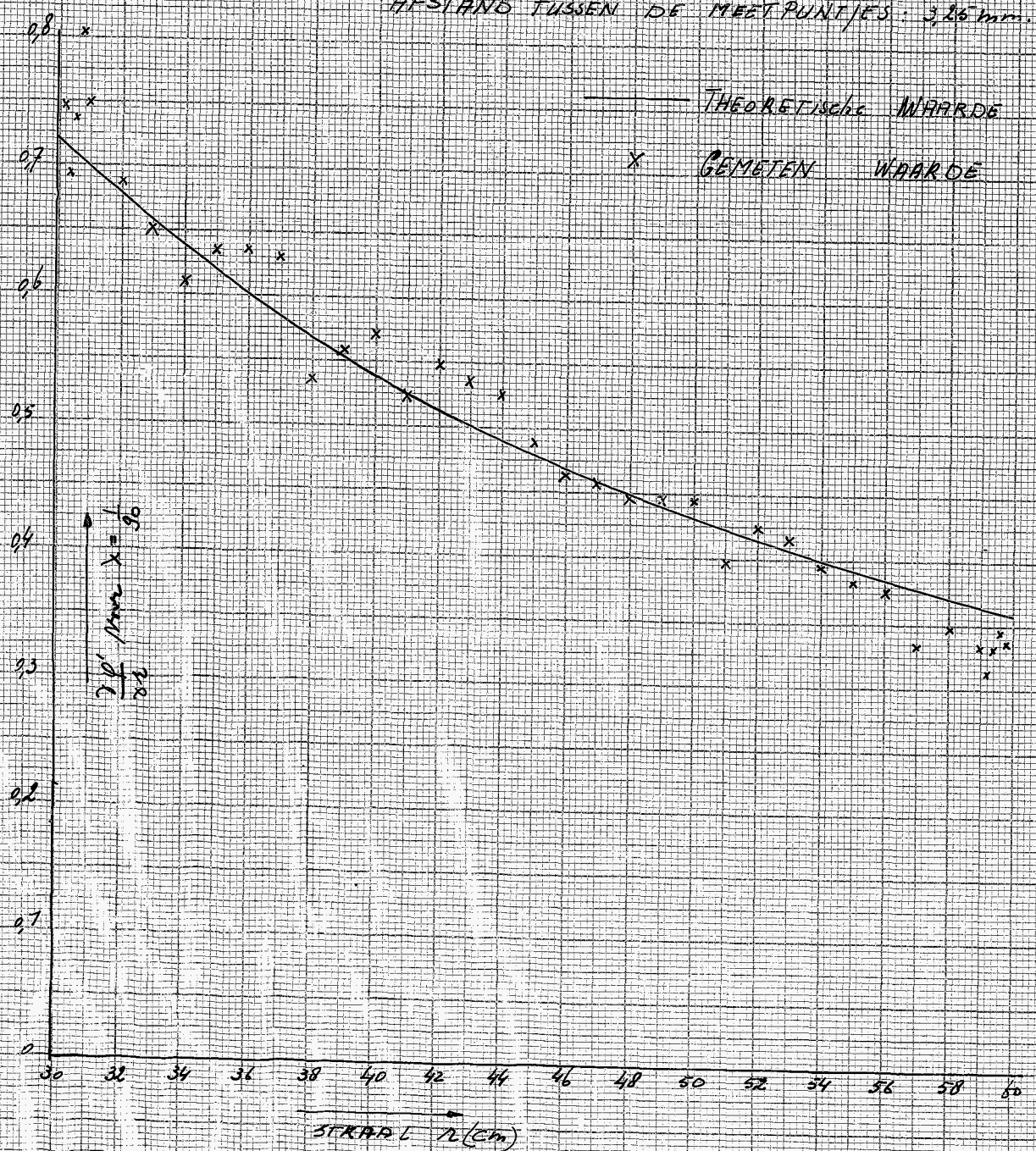
x GEMETEN WAARDE



STRAAL r (cm)

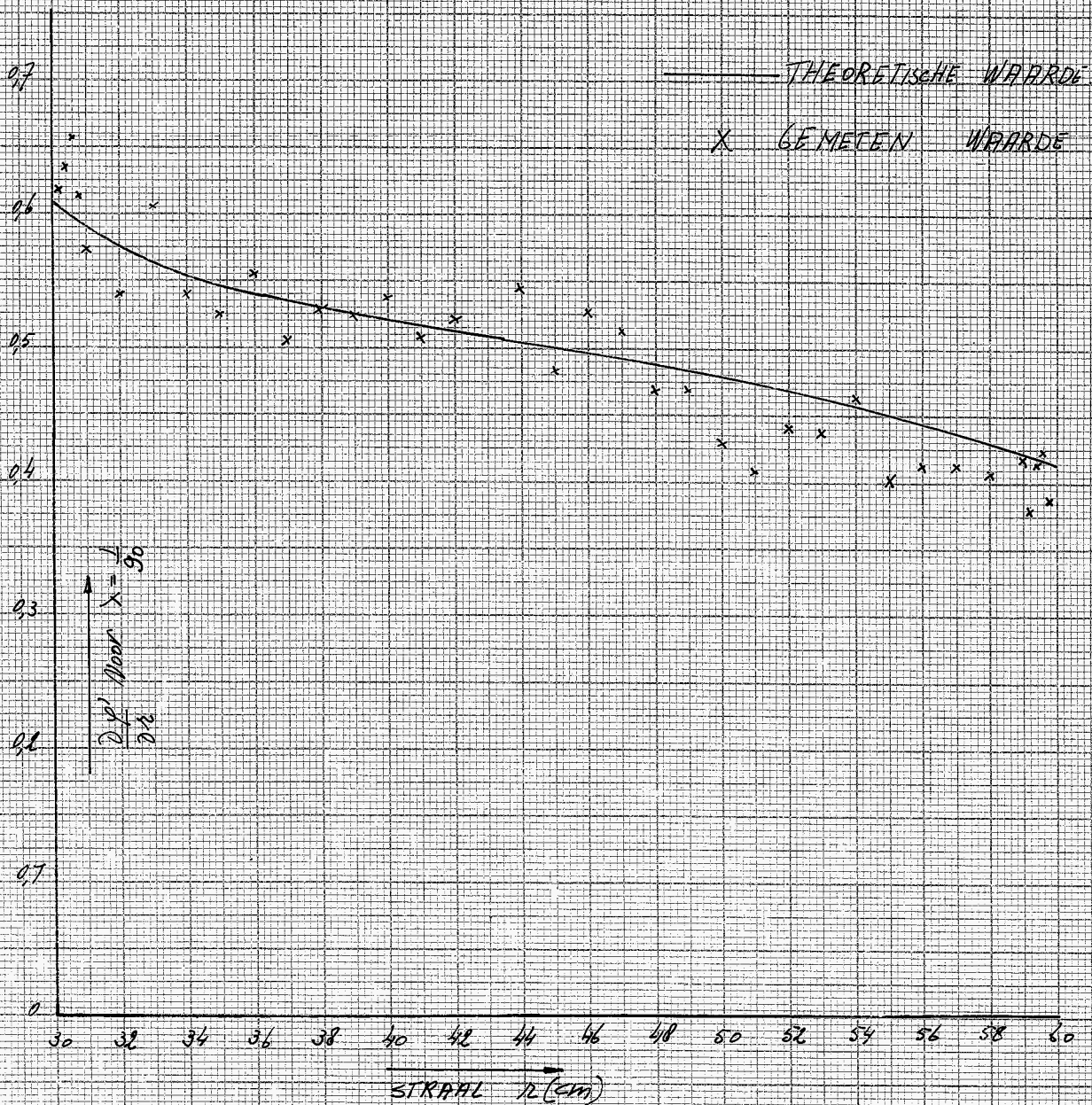
$\theta = 5^\circ$ (T)

AFSTAND TUSSEN DE MEETPUNTJES: 3,26 mm.



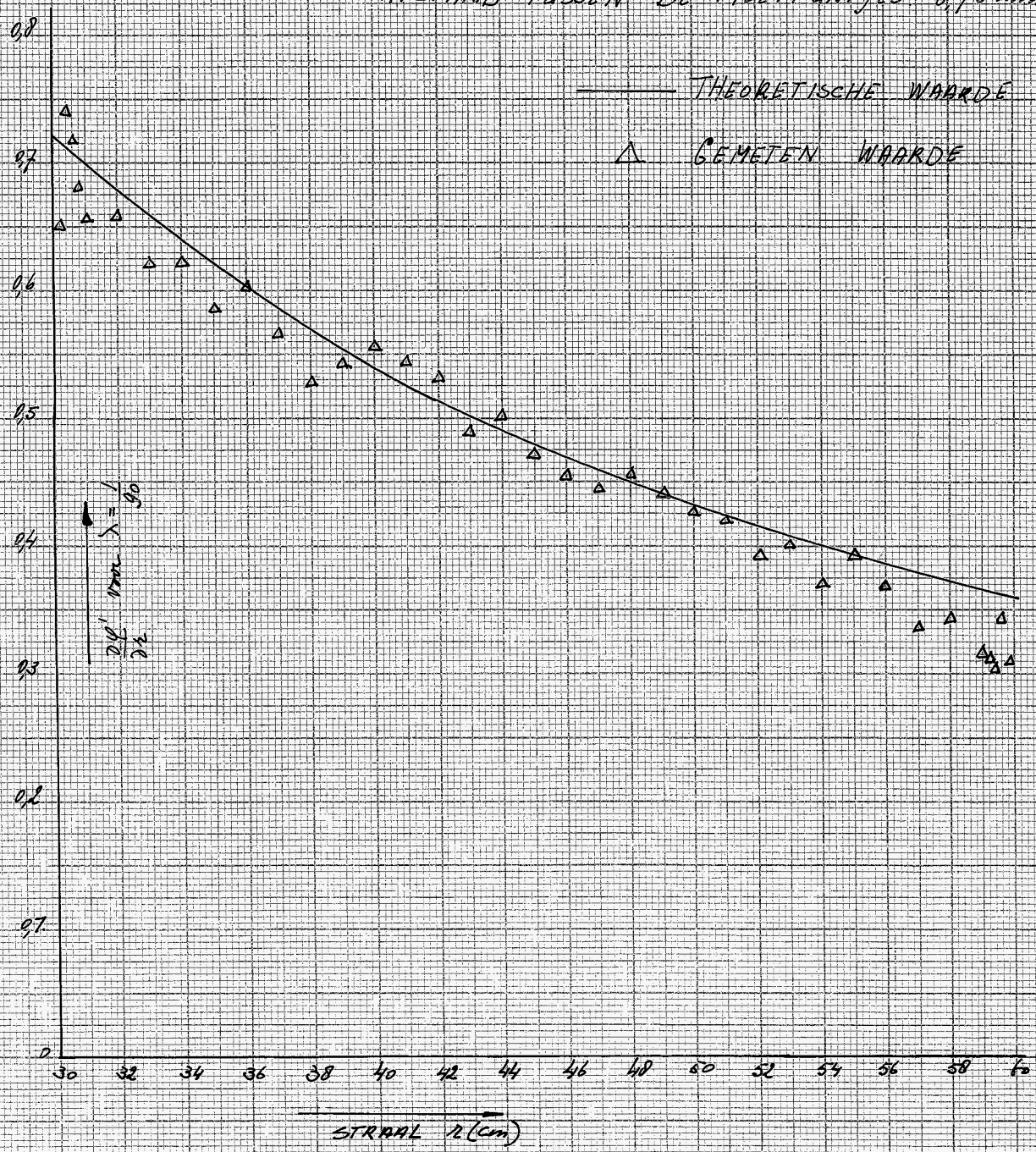
$\theta = 90^\circ$ (I)

AFSTAND TUSSEN DE MEETPUNTJES: 3,25 mm



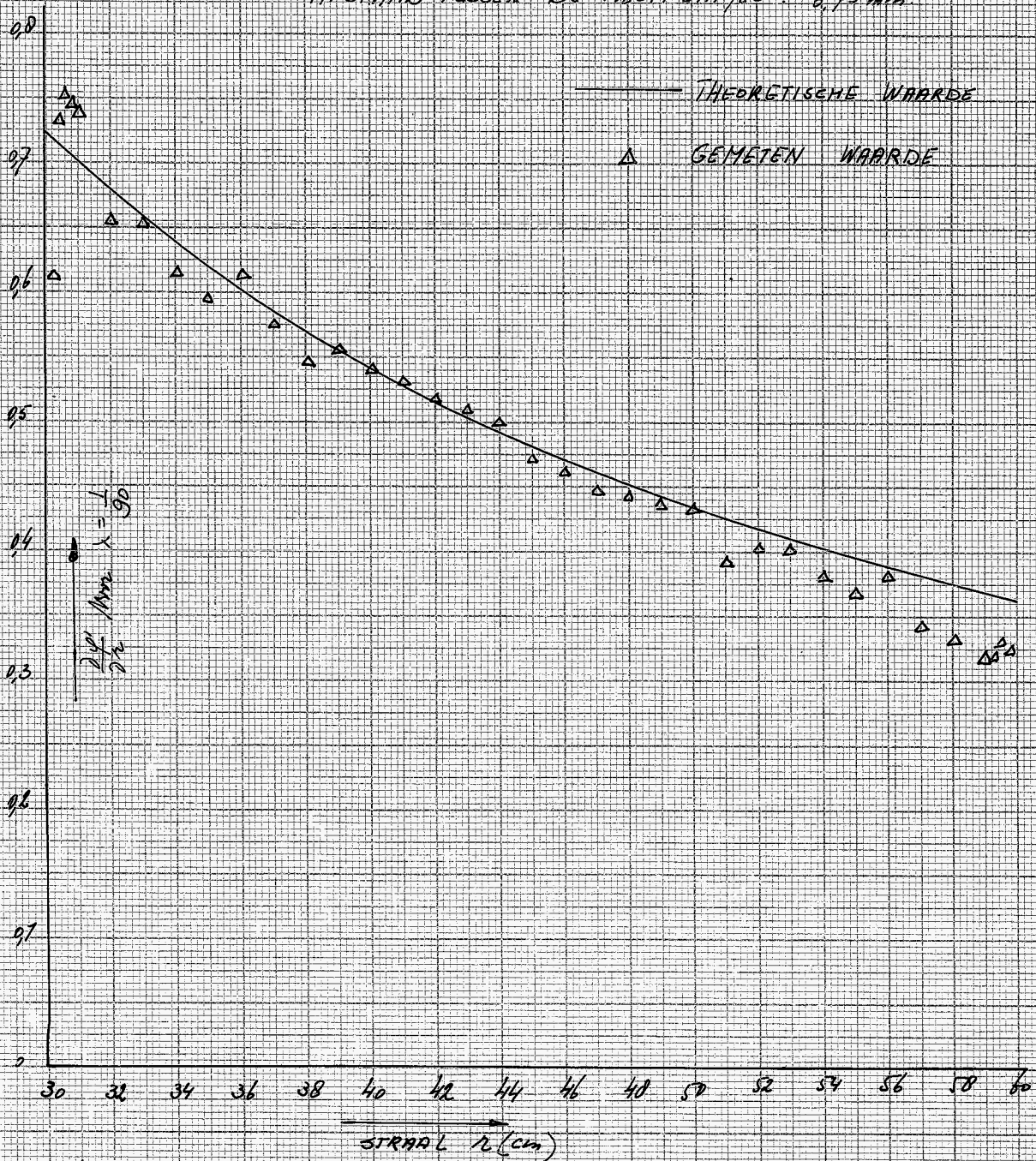
$\theta = 0^\circ$ (II)

AFSTAND TUSSEN DE MEETPUNTJES: 6,75 mm.



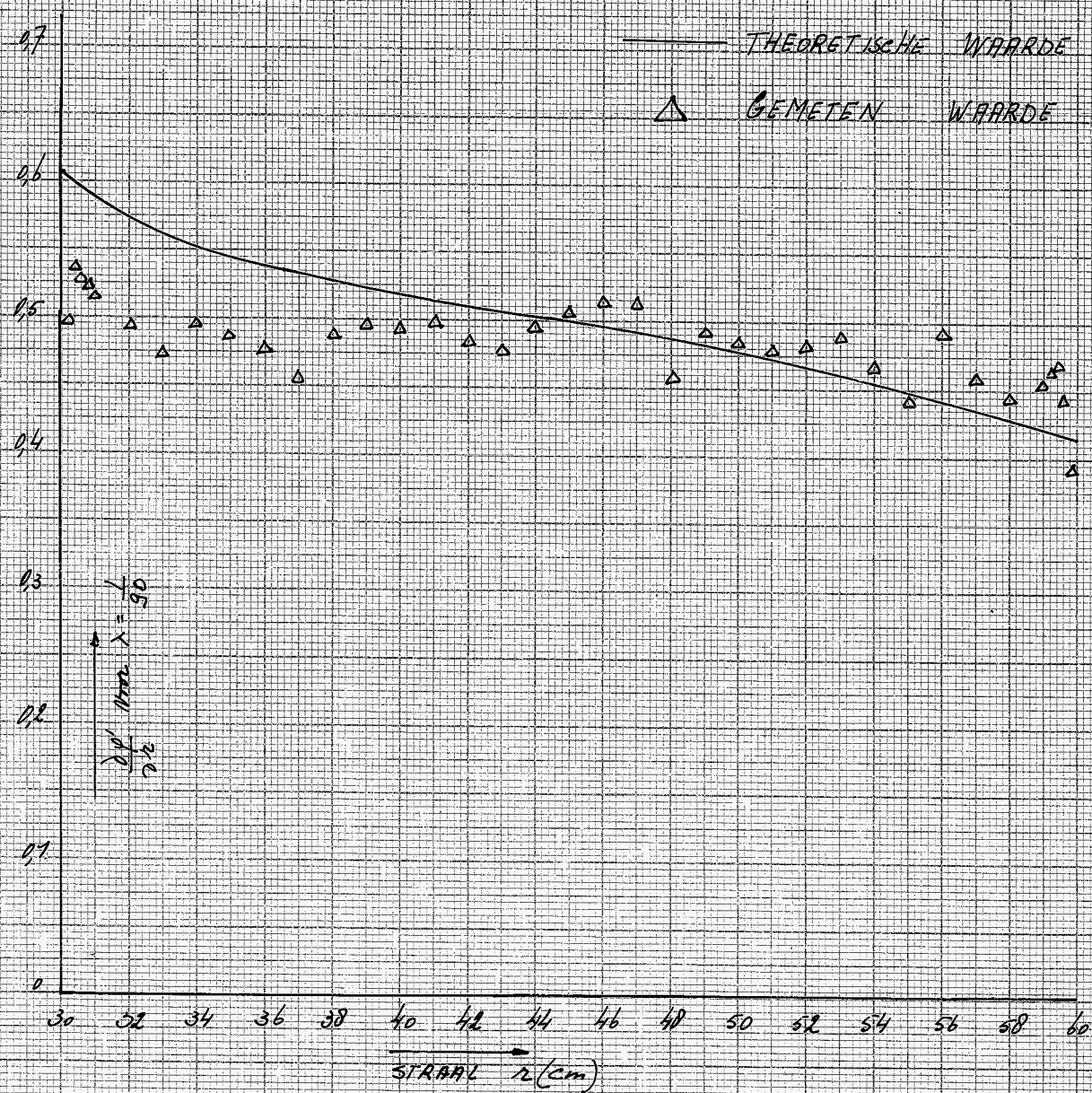
$\theta = 5^\circ$ (II)

AFSTAND TUSSEN DE MEETPUNTJES : 6,75 mm



$\theta = 80^\circ$ (II)

AFSTAND TUSSEN DE MEETPUNTJES: 6,75 mm.

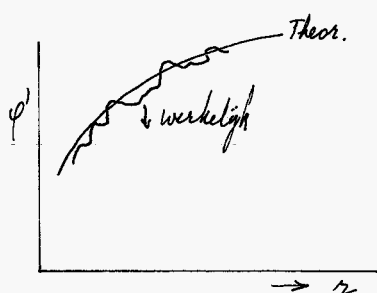


De grafieken $\theta = 0^\circ$ (II) en $\theta = 5^\circ$ (II) geven iets betere resultaten dan $\theta = 0^\circ$ (I) en $\theta = 5^\circ$ (I).

De spreiding in de metingen bij II is kleiner dan bij I.

Bij het meten van de afgeleide meten we de functie φ' op twee plaatsen die kort bij elkaar liggen. De gemeten waarde $\varphi'(r + \frac{1}{2}\Delta r) - \varphi'(r - \frac{1}{2}\Delta r)$ is klein. Kleine afwijkingen in de functie waarde $\varphi'(r)$ geven relatief grote fouten in de afgeleiden.

Kijken we naar de grafiek van de functie waarde φ' op blz. 23 dan zou men willen veronderstellen dat de gemeten functie φ' redelijk goed is.



Stuk overdueren vertoont de functie φ' echter volgens die hiermaat getekende figuur.

De afwijking in de functie φ' is denkbeeldig hoofdzakelijk te wijten aan het niet constant zijn van de specifieke weerstand ρ van het weerstandspapier.

Neemt men de afstand tussen de puntjes groter dan meet men een betere gemiddelde waarde van $\frac{\Delta \varphi'}{\Delta r}$. Hier zal de spreiding dan ook kleiner zijn.

Bij $\theta = 0^\circ$ (I) en $\theta = 5^\circ$ (I) is de afwijking dicht bij $r = 30$ cm namelijk groot. Dit is denkbeeldig te wijten aan kleine onnauwkeurigheden aan de rand van zilververf. Er treden ook het ware kleine kerfspanningen op door het ruw zijn van het buiten oppervlak. Dit komt natuurlijk bij kleine afstandtussen de meetpunten goed tot uitdrukking. Zie ook $\theta = 80^\circ$ (I)

Bij $\theta = 80^\circ$ (II) is de gemeten waarde tussen $30 \leq r \leq 44$ (cm) systematisch kleiner dan de theoretische. Dit is moeilijk te verklaren.

Het spanningsverloop τ_{θ} voor $\theta = 0^{\circ}$ en $\theta = 80^{\circ}$

Volgens blz. 20 is de schuifspanning $\tau_{\theta} = Gd \left[-\frac{1}{r} \frac{\partial \varphi'}{\partial r} + r \right]$

M.b.v. de grafieken $\theta = 0^{\circ}$ (II) en $\theta = 80^{\circ}$ (I) op blz. 27 die zowel de theoretische als gemeten waarden van $\frac{\partial \varphi'}{\partial r}$ geven zijn de grafieken voor de schuifspanning τ_{θ} zonder meer te tekenen. Zie blz. (30)

$\frac{z_0}{z}$

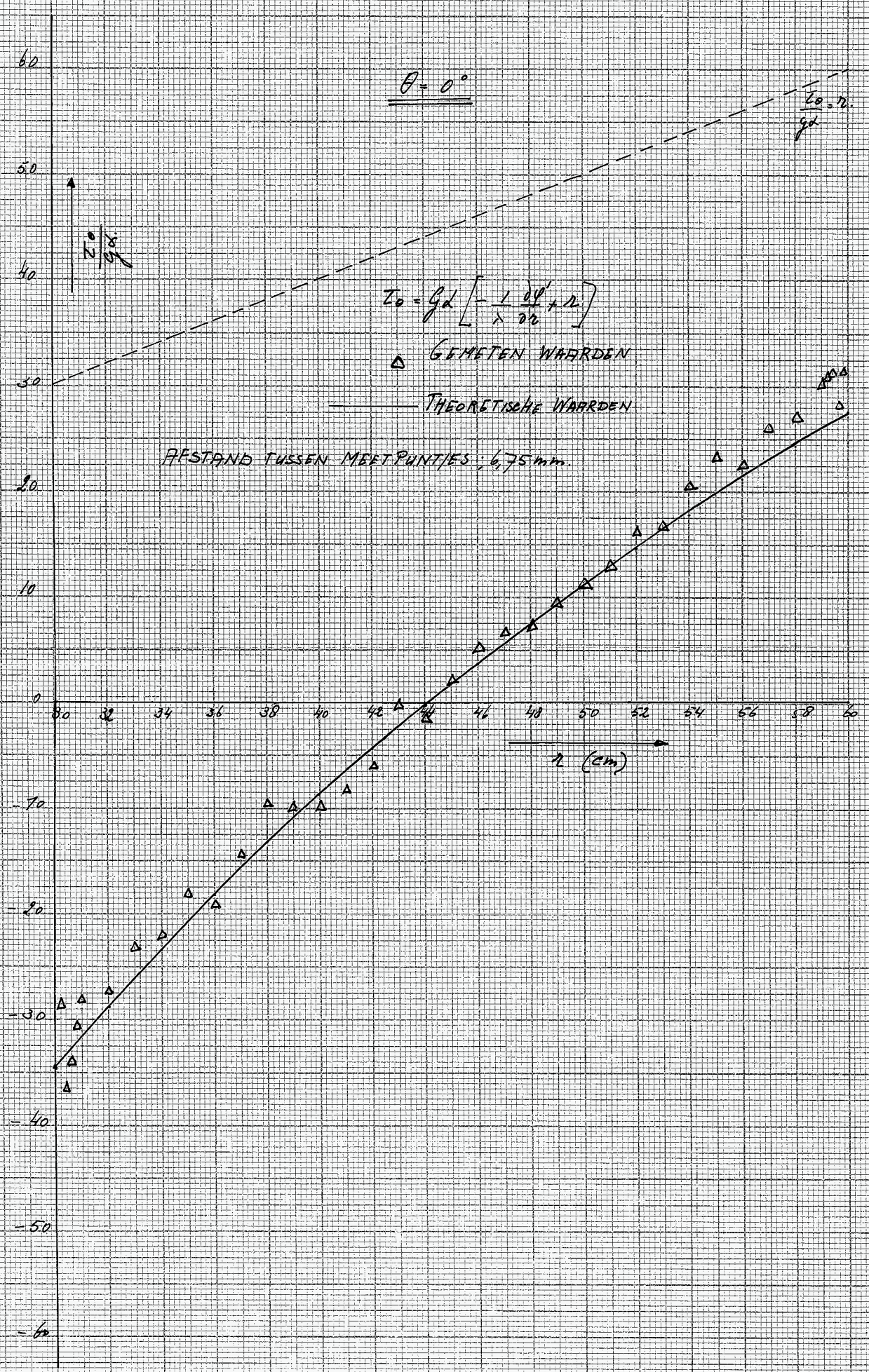
$\theta = 0^\circ$

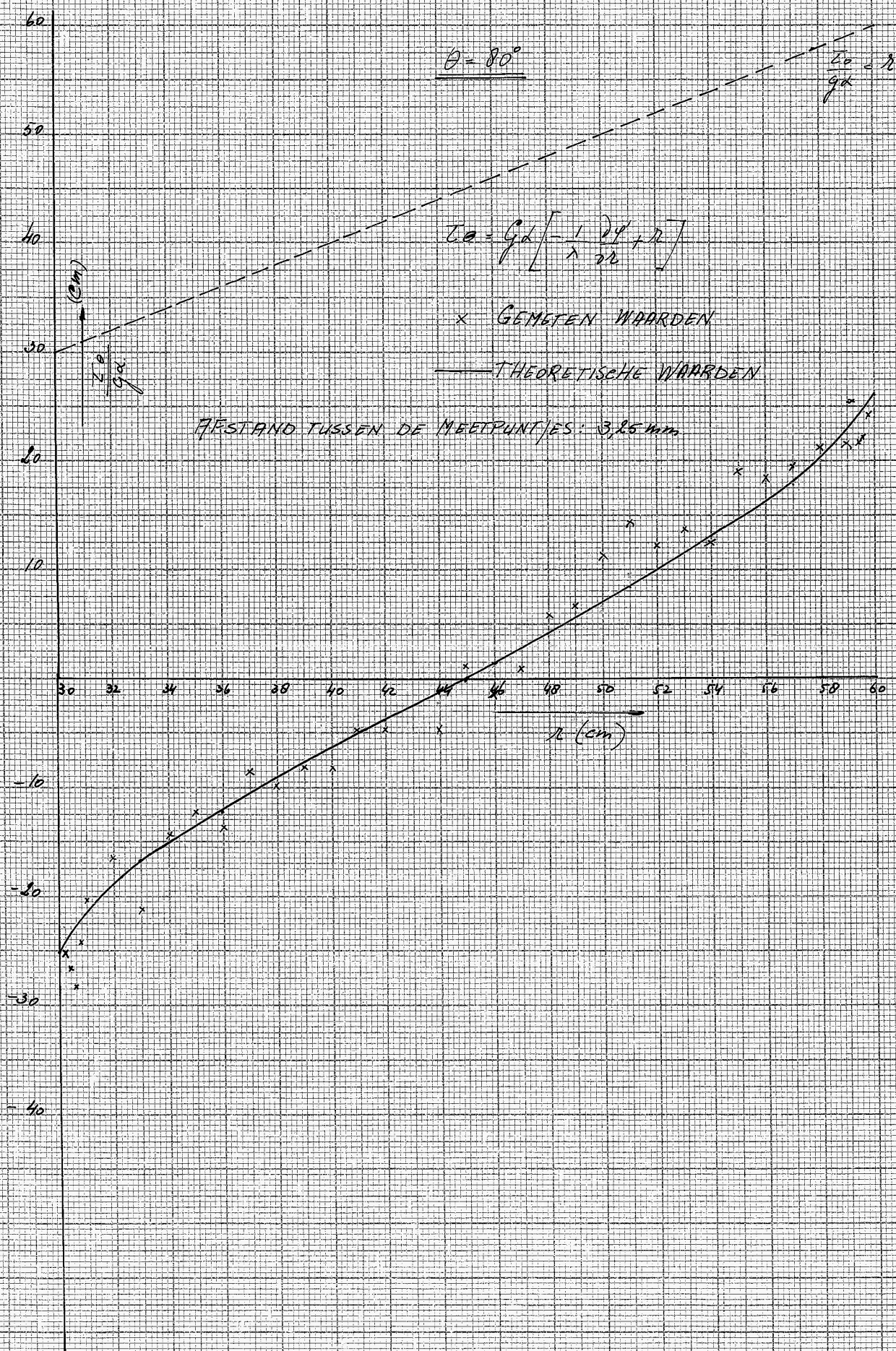
$$z_0 = g_d \left[-\frac{1}{\lambda} \frac{z_0'}{z_0} + 1 \right]$$

△ GEMETEN WAARDEN

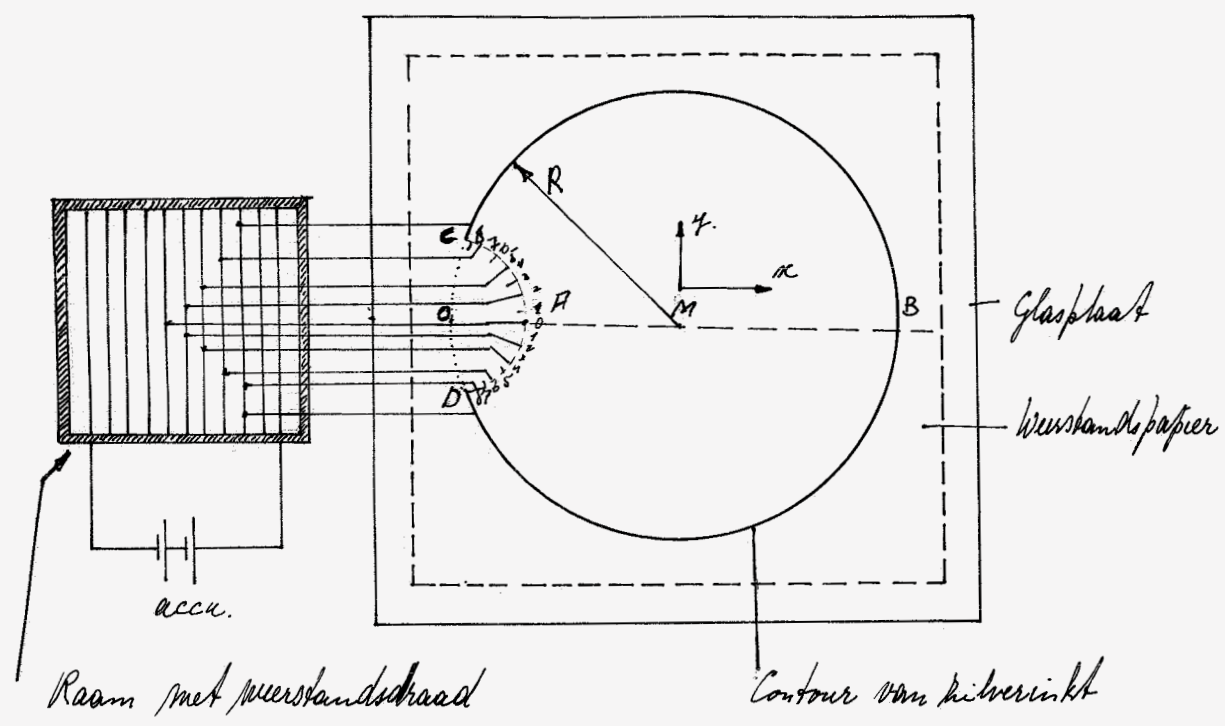
— THEORETISCHE WAARDEN

AFSTAND TUSSEN MEEPTUNTJES: 6,75 mm.

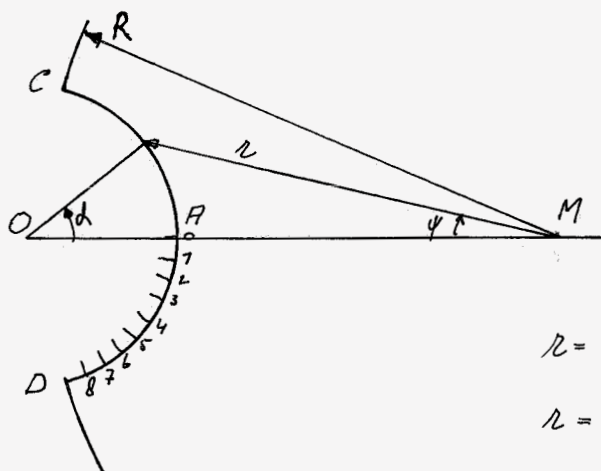




Onderzoek van de as met spiegelf. (doorsnede in hie blok. 16)



Het geheel is symmetrisch tov. de lijn FMB
 de aan te leggen spanningen aan de rand dus ook.
 Bij de uitvoering van de proef zijn de draadjes met hetzelfde
 lijfje eerst met elkaar verbonden en het ene uiteinde is
 aan het weerstandsdraad gelegd. Dit is hiertoven dus juist aangegeven.
 Bij de eerste meting is de straal $MB = 30\text{ cm}$ genomen
 en $OA = 6\text{ cm}$ genomen
 Over de lijn FMB is de functiewaarde $\varphi' = \lambda \varphi$ (φ is de toegeweegde wewings-
 functie) en $\frac{\partial \varphi'}{\partial x}$ gemeten. Als oorsprong is het punt M genomen.
 de aan te leggen spanning aan de rand is $\varphi' = \lambda \varphi = \lambda \frac{1}{2} r^2$.
 voor $\lambda = 0,04$ genomen.
 de spanning over de contour van pitverinkt is dus constant,
 bere is : $\lambda \frac{1}{2} r^2 = 0,04 \times \frac{1}{2} \times 30^2 = 18\text{ volt}$. $1\text{ cm} \cong 1\text{ voet}$.
 de afstand tussen twee opeenvolgende lijfjes op het boogje CAO dat
 O als middelpunt heeft is 1 cm genomen.



Er geldt: $R \sin \psi = OA \sin \alpha$

$OA \cos \alpha + r \cos \psi = R$

$r \cos \psi = (R - OA \cos \alpha)$

$r = \sqrt{(OA \sin \alpha)^2 + (r \cos \psi)^2}$

$r = \sqrt{(OA \sin \alpha)^2 + (R - OA \cos \alpha)^2}$

Algemeen: $r^2 = OA^2 + R^2 - 2OA \cdot R \cdot \cos \alpha$

hier is: $OA = 6 \text{ cm.}$
 $R = 30 \text{ cm.}$

ψ' aan de rand is: $\psi' = \lambda \psi = \lambda \frac{1}{2} r^2$

$= 0,04 \times \frac{1}{2} \times [6^2 + 30^2 - 2 \cdot 6 \cdot 30 \cdot \cos \alpha]$

$\psi' = 18,72 - 7,2 \cos \alpha$

de hoek α tussen twee opeenvolgende punten is $\frac{1}{6}$ rad.

ψ' in punt A is $18,72 - 7,2 = 11,52$ Volt.

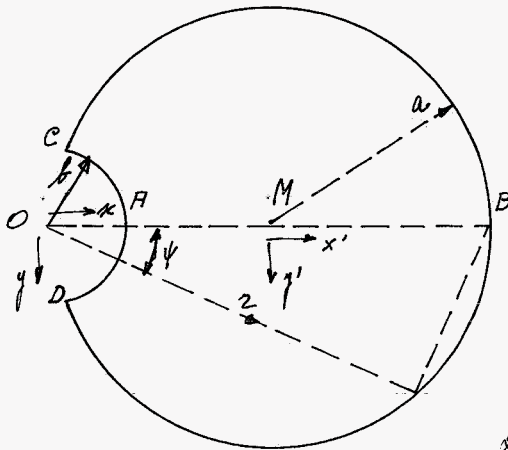
| Punt | aan de ligger spanning ψ' |
|------------|-----------------------------------|
| 0 | 11,52 |
| 1 | 11,62 |
| 2 | 11,917 |
| 3 | 12,407 |
| 4 | 13,062 |
| 5 | 13,879 |
| 6 | 14,837 |
| 7 | 15,89 |
| 8 | 17,027 |
| uitvoering | 18,0 |

De functie ψ' langs AMB is gemeten m. b. v. een digitale voltmeter en potloodstift. Zie grafiek op blz. (35)

Theoretische waarde van ψ' op AMB

In het boek "Theory of Elasticity" van Timoshenko en Goodier is op blz. 268 gegeven:

$$\phi = \frac{E}{4}(x^2 + y^2) - \frac{Fa}{2} x \cos \psi + \frac{Fb^2}{2} \frac{a}{2} \cos \psi - \frac{E}{4} b^2.$$



Met ϕ is hier de spanningsfunctie bedoeld, die voldoet aan:

$$\frac{\partial^2 \phi}{\partial x^2} + \frac{\partial^2 \phi}{\partial y^2} = F$$

Nemen we voor $F = -2$ dan is $\phi = f$

f is de spanningsfunctie volgens blz. 10

De functie $\phi = f$ voldoet aan de randvoorwaarde

ϕ is nul op de rand.

$$f = -\frac{1}{2}(x^2 + y^2) + \arccos \psi - ab^2 \frac{\cos \psi}{2} + \frac{1}{2} b^2$$

$$f = -\frac{1}{2}(x^2 + y^2) + ax - ab^2 \frac{x}{x^2 + y^2} + \frac{1}{2} b^2.$$

We willen als oorsprong echter het punt M hebben, omdat t.o.v. M de aan te leggen spanning aan de rand eenvoudiger is. De spanning over de boog CBD is dan konstant.

We nemen als nieuwe coördinaten t.o.v. M; x' en y'

$$\text{dit is een translatie: } x' = x - a \quad \frac{\partial x'}{\partial x} = 1$$

$$y' = y \quad \frac{\partial y'}{\partial y} = 1$$

$$f \text{ t.o.v. } M = f_M = -\frac{1}{2}[(x'+a)^2 + y'^2] + a(x'+a) - ab^2 \frac{x'+a}{(x'+a)^2 + y'^2} + \frac{1}{2} b^2$$

$$\text{Door deze translatie blijft gelden } \frac{\partial^2 f}{\partial x'^2} + \frac{\partial^2 f}{\partial y'^2} = \frac{\partial^2 f}{\partial x^2} + \frac{\partial^2 f}{\partial y^2} = -2$$

en f blijft nul op de rand.

de beoogde meetingsfunctie φ t.v. $M = \varphi_M = f_M + \frac{1}{2}(x'^2 + y'^2)$ (zie blz. 6)

$$\varphi_M = -\frac{1}{2}[(x'+a)^2 + y'^2] + a(x'+a) - ab^2 \frac{x'+a}{(x'+a)^2 + y'^2} + \frac{1}{2}b^2 + \frac{1}{2}(x'^2 + y'^2)$$

$$\varphi_M = \frac{1}{2}(a^2 + b^2) - ab^2 \frac{x'+a}{(x'+a)^2 + y'^2}$$

$$\varphi_M \text{ op } AMB (y'=0) = \frac{1}{2}(a^2 + b^2) - \frac{ab^2}{x'+a}$$

$$\frac{\partial \varphi_M}{\partial x'} = -ab^2 \frac{(x'+a)^2 + y'^2 - (x'+a)2(x'+a)}{[(x'+a)^2 + y'^2]^2}$$

$$\frac{\partial \varphi_M}{\partial x'} (y'=0) \text{ op } AMB = \frac{ab^2}{(x'+a)^2}$$

$$\varphi' = \lambda \varphi \quad \varphi'_M \text{ op } AMB (y'=0) = \lambda \left[\frac{1}{2}(a^2 + b^2) - \frac{ab^2}{x'+a} \right]$$

$$\frac{\partial \varphi'_M}{\partial x'} (y'=0) \text{ op } AMB = \lambda \frac{\partial \varphi_M}{\partial x'} (y'=0) = \lambda \cdot \frac{ab^2}{(x'+a)^2}$$

Voor ons profieluk is: $\lambda = 0,04$

$$a = 30$$

$$b = 6$$

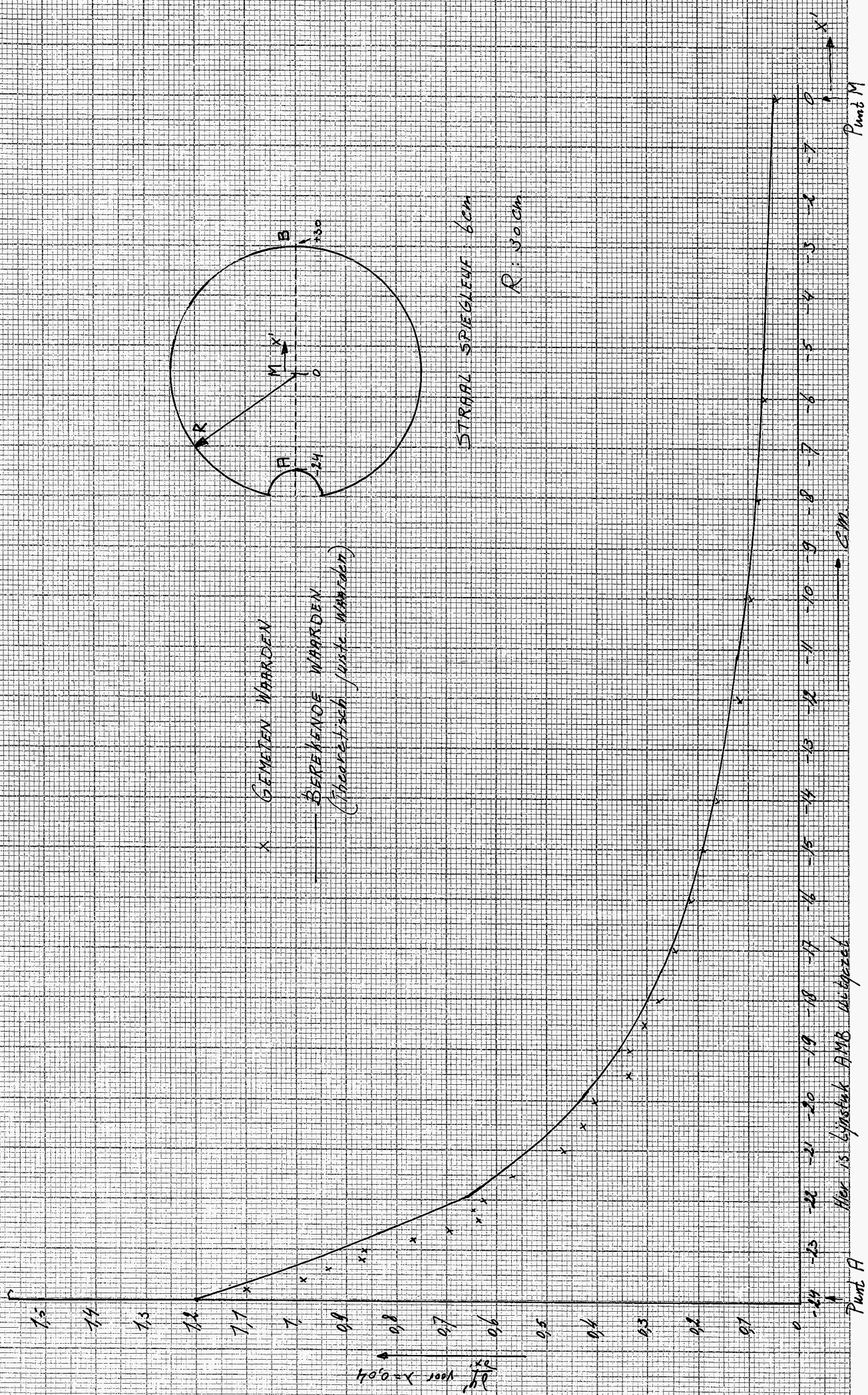
$$-24 \leq x' \leq 30$$

de waarden voor $\varphi'_M (y'=0)$ en $\frac{\partial \varphi'_M}{\partial x'} (y'=0)$ zijn uitgerekend en in grafiek getracht. Zie blz. (35)

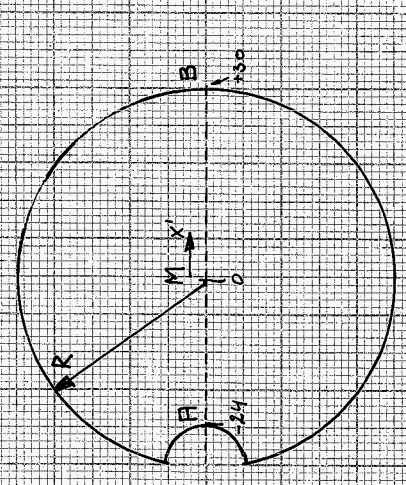
de gemeten waarden van $\varphi'_M (y'=0)$ en van $\frac{\partial \varphi'_M}{\partial x'} (y'=0)$ zijn in dezelfde grafiek aangegeven.

$\frac{\partial \varphi'_M}{\partial x'} (y'=0)$ is gemeten op een manier als aangegeven op blz. 24.

de afstand tussen de meetpuntdjes is 3,25 mm genomen.



x — GEMETEN WAARDEN
 — BEREKENDE WAARDEN
 (Theoretisch juiste waarden)



STRAAL SPIEGEL: 60cm
 R: 30.0 cm



Bepalen van $\frac{\partial \varphi'}{\partial x'}$ in het punt A door middel van interpolatie voor verschillende waarden van R. $R = 30, 24, 18, 12, 6$ (cm)

straal spiegel = 6 cm.

Voor λ is de waarde 0,08 genomen.

de eerste meting is uitgevoerd voor $R = 30$ cm.
straal spiegel = 6 cm.

de spanning aan de rand is aangelegd volgens de formule op blz. (32)

$$\begin{aligned} \varphi'_{\text{rand}} &= \lambda \varphi = \lambda \frac{1}{2} r^2 = \lambda \times \frac{1}{2} \times [OA^2 + R^2 - 2 OA \cdot R \cos \alpha] \quad (I) \\ &= 0,08 \times \frac{1}{2} [36 + 900 - 360 \cos \alpha] \end{aligned}$$

$$\varphi'_{\text{rand}} = 37,44 - 14,4 \cos \alpha$$

De spanningen zijn precies het dubbele als die uit de tabel op blz. (32)

$\varphi'_{\text{in A}} = 23,04$ volt } we hebben door de 2 accu's van 12 Volt samen
 $\varphi'_{\text{op mitwerinkt}} = 36$ volt. 24 volt ter beschikking.

Van φ' mag zonder behoor een constante afgetrokken worden. de afgeleiden worden hierdoor niet beïnvloed. We nemen $\varphi'_{\text{in A}} = 3,04$ Volt

$$\varphi'_{\text{op mitwerinkt}} = 16 \text{ volt}$$

In de buurt van A wordt $\frac{\partial \varphi'}{\partial x'}$ gemeten over de lijn AMB. volgens de methode van blz. 24. de grafiek door deze punten geeft $\frac{\partial \varphi'}{\partial x'}$ in het punt A. die grafiek op volgende blz. (37)

tervolgens wordt met mitwerinkt $R = 24$ cm getekend.

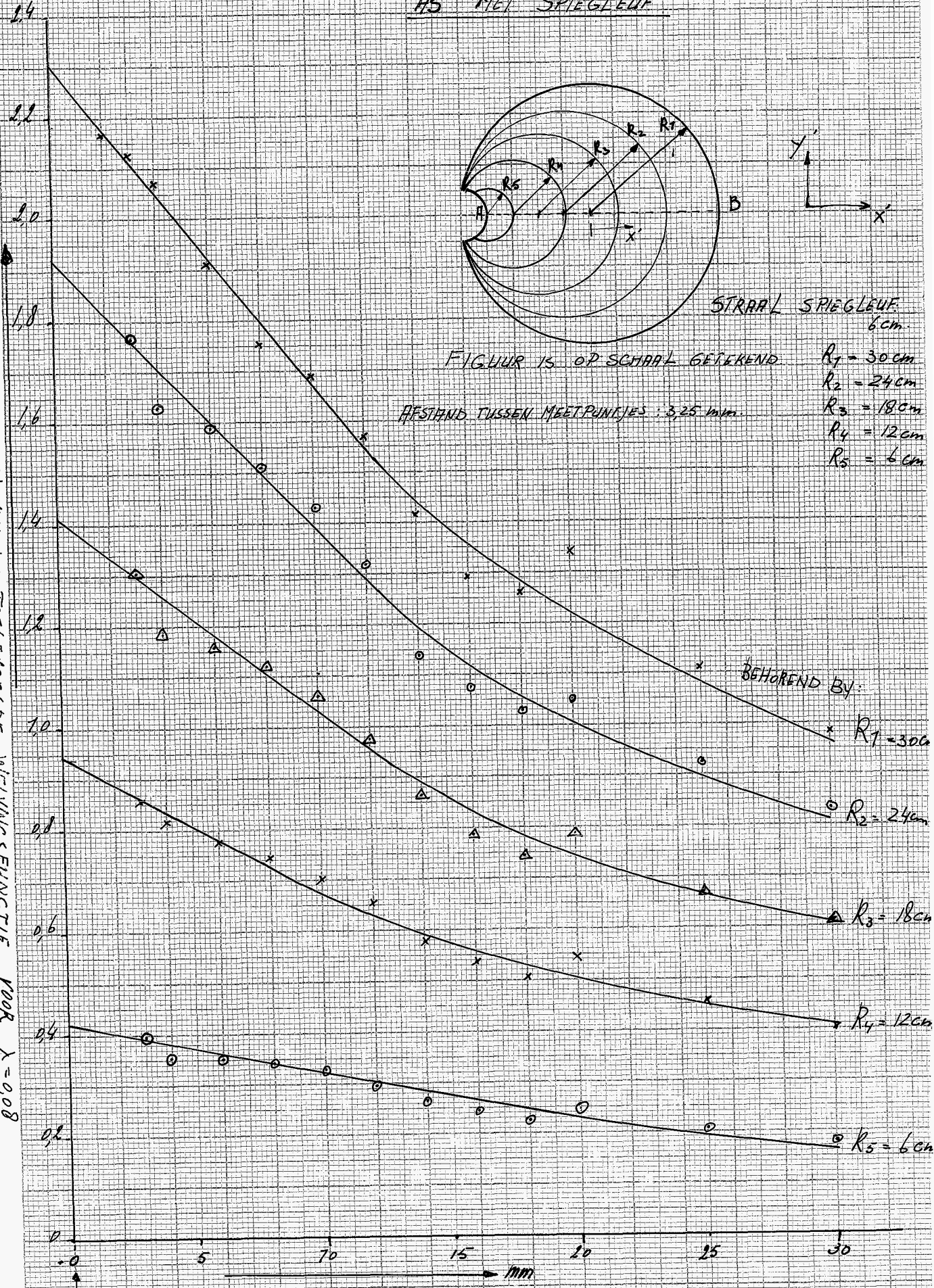
de spanning aan de rand wordt volgens bovenstaande formule (I) aangelegd. ook hier wordt $\frac{\partial \varphi'}{\partial x'}$ gemeten in de buurt van A.

Verder wordt $R = 18, 12$ en 6 cm genomen.

de grafiek op de volgende blz. geeft de gevonden waarden van $\frac{\partial \varphi'}{\partial x'}$ in het punt A.

AS MET SPIEGLEUF

DE AFGELEIDE NAAR x VAN DE TOEGEVOEGDE WELVINGSFUNCTIE VOOR $x = 0,08$



punt A \rightarrow naar B
 Hier is een klein stukje van het lijnstuk AB uitgezet, nl van A tot 30mm vecht van A.

De theoretische waarde van $\frac{\partial \varphi'}{\partial x'}$ in het punt A is:

$$\frac{\partial \varphi'}{\partial x'} = \lambda \frac{\partial \varphi}{\partial x} = \lambda \frac{ab^2}{(x+a)^2} \quad \text{zie blz. (34)}$$

$$\frac{\partial \varphi'}{\partial x'} \text{ in } A = \lambda \frac{ab^2}{(-a+b+a)^2} = \lambda a. \quad x' \text{ in } A : x' = -a + b.$$

$$\frac{\partial \varphi'}{\partial x'} \text{ in } A = \lambda R = 0,08 \times R.$$

| | Theoretisch | Gemeten |
|-------|---|---|
| R cm. | $\frac{\partial \varphi'}{\partial x'} \text{ in } A$ | $\frac{\partial \varphi'}{\partial x'} \text{ in } A$ |
| 30 | 2,4 | 2,3 |
| 24 | 1,92 | 1,92 |
| 18 | 1,44 | 1,41 |
| 12 | 0,96 | 0,94 |
| 6 | 0,48 | 0,42 |

Gemeten; volgens grafiek op blz. (37)

Kijken we naar de grafiek op de vorige blz. dan zien we dat bijv. bij 20, mm rechts van A de gemeten waarde van $\frac{\partial \varphi'}{\partial x'}$ bij alle genomen waarden van R hoger ligt dan de theoretische.

Dit komt stiekem door een afwijking van de specifieke weerstand van het papier op die plaats.

39

Het schuifspanningsverloop over de lijn AMB. ($\tau_{z'y'}$)

Zie grafiek op de volgende blz. (40)

Noor : straal spiegelafstand = 6 cm

$$R = 30 \text{ cm}$$

$$\lambda = 0,04$$

is de waarde van $\frac{\partial \varphi}{\partial x'}$ over het lijnstuk AMB gemeten en
aangegeven in de grafiek op blz. (35)

de schuifspanning $\tau_{z'y'} = Gd \left[-\frac{1}{\lambda} \frac{\partial \varphi'}{\partial x} + \kappa' \right]$ volgens blz. 20.

$\tau_{z'y'}$ over AMB is nu zonder meer in grafiek te brengen.

— THEORETISCHE WERDEN

x GEMETEN WERDEN

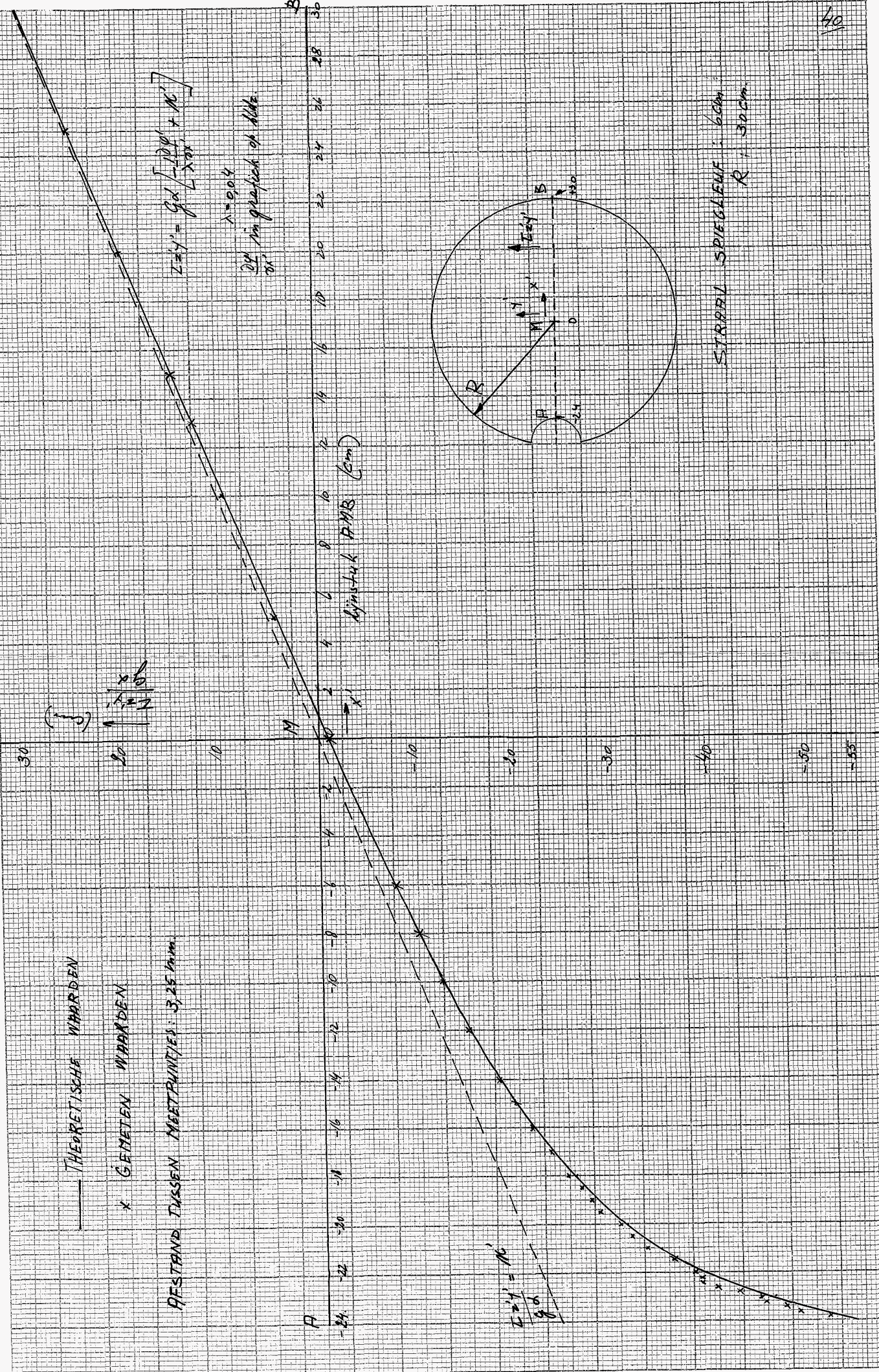
ABSTAND TUSSEN MEETPUNTJES: 3,25 mm

$$Z = y' = g \times \left[\frac{1 - \cos \alpha}{2 \sin \alpha} + \sin \alpha \right]$$

$$\lambda = 904$$

20% in grafisch op. h. d. t.

lijnstuk P.M.B. (cm)



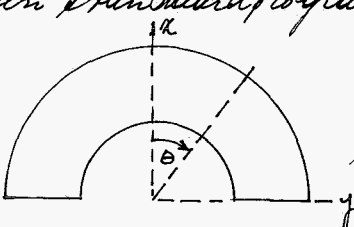
STIRREL SPIEGELRUF: 60cm
R: 300cm

$$\frac{L \times y'}{g \times d} = \lambda'$$

Het bepalen van de afgeleide van φ' uit de gemeten waarden van φ' m.b.v. de methode der kleinste kwadraten.

Heeft men de functie φ' gemeten dan kan men een hogere graadscurve door deze punten bepalen volgens de methode van de kleinste kwadraten. M.b.v. de Computer IBM 1620 (Afdeling Wiskunde) kan men een zesde graads polynoom door de meetpunten bepalen.

Voor deze methode is n.l. een standaardprogramma (code nummer 1545) aanwezig.

Van de onderzochte doorsnede  is de functie waarde

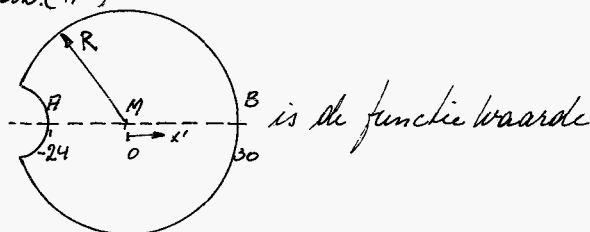
φ' gemeten bij $\theta = 80^\circ$

de gemeten afgeleide m.b.v. de meetpuntjes is reeds uitgezet in de grafieken $\theta = 80^\circ$ (I) en $\theta = 80^\circ$ (II) op blz. (27)

de afgeleide bepaald met de hierboven aangegeven methode is uitgezet in de grafiek op de volgende blz. (41^a)

Ook voor de doorsnede

φ' gemeten over de lijn AMB



$R = 30\text{cm}$ $\lambda = 0,04$
straal spiegeluit = 6cm

Zie grafiek op blz. (35)

de afgeleide $\frac{\partial \varphi'}{\partial x'}$ over AMB is ook bepaald m.b.v. de meetpuntjes.

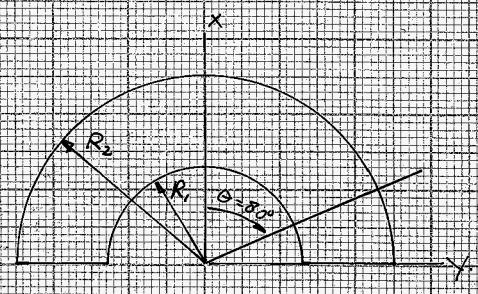
Zie grafiek op blz. (27)

De afgeleide $\frac{\partial \varphi'}{\partial x'}$ is volgens bovenstaande methode bepaald m.b.v. een zesdegraads polynoom door de meetpunten gelegen tussen $-24 \leq x' \leq 18$ (cm)

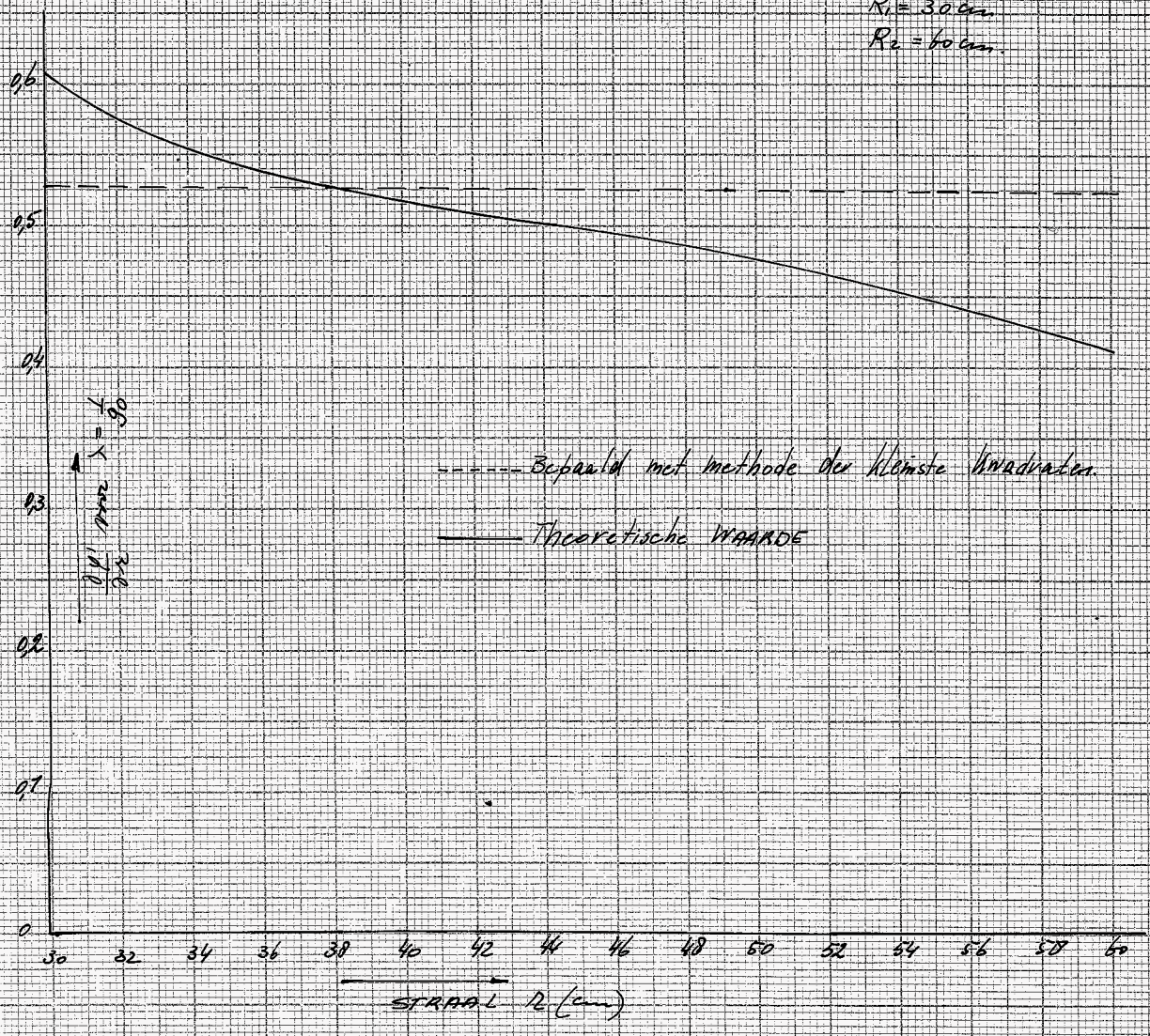
Voor de grafiek zie blz. (41^b)

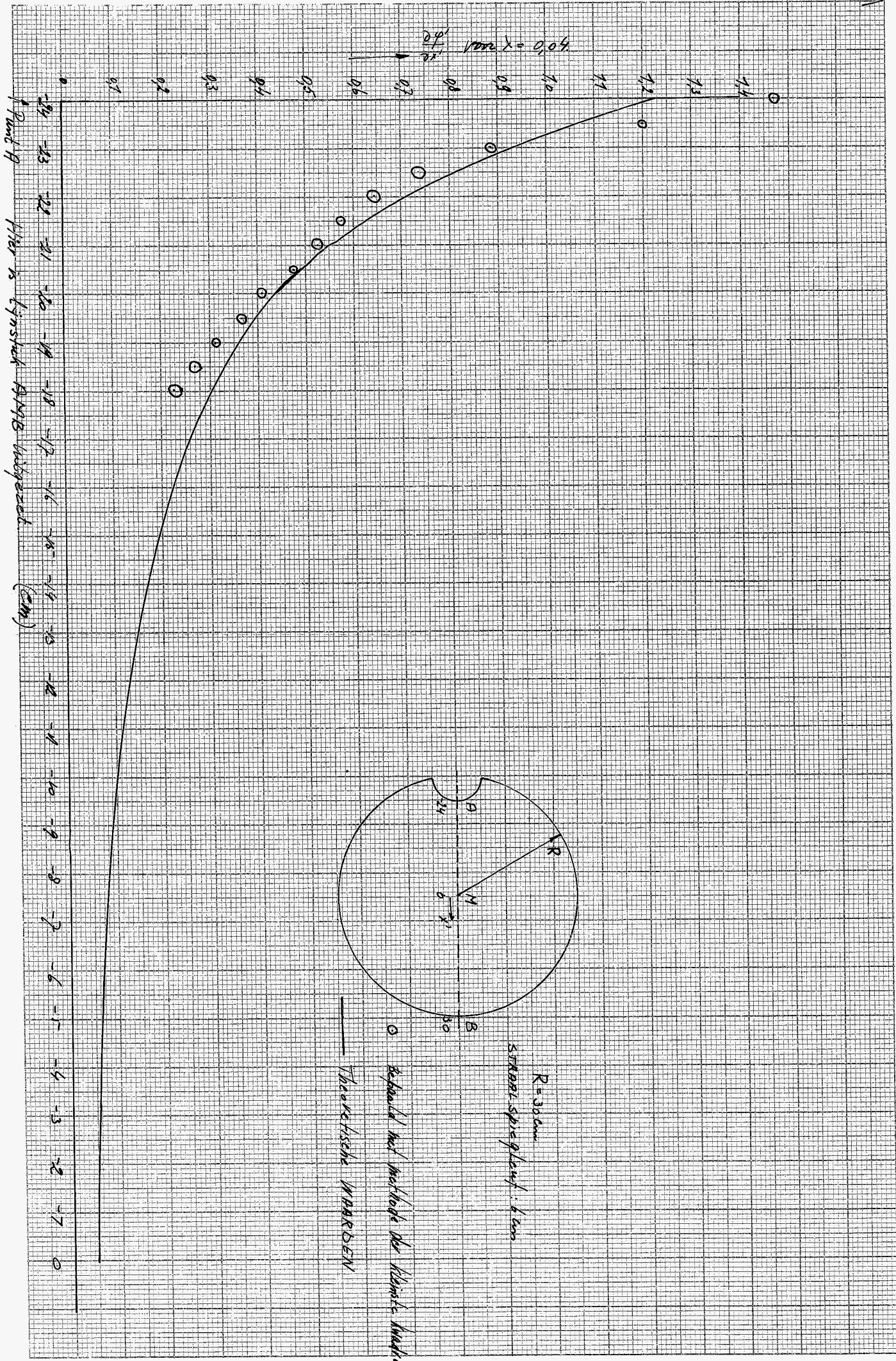
de gevonden resultaten van de afgeleide zijn slechter dan de resultaten gevonden m.b.v. de meetpuntjes.

$\theta = 80^\circ$

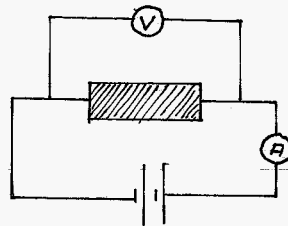
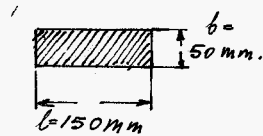
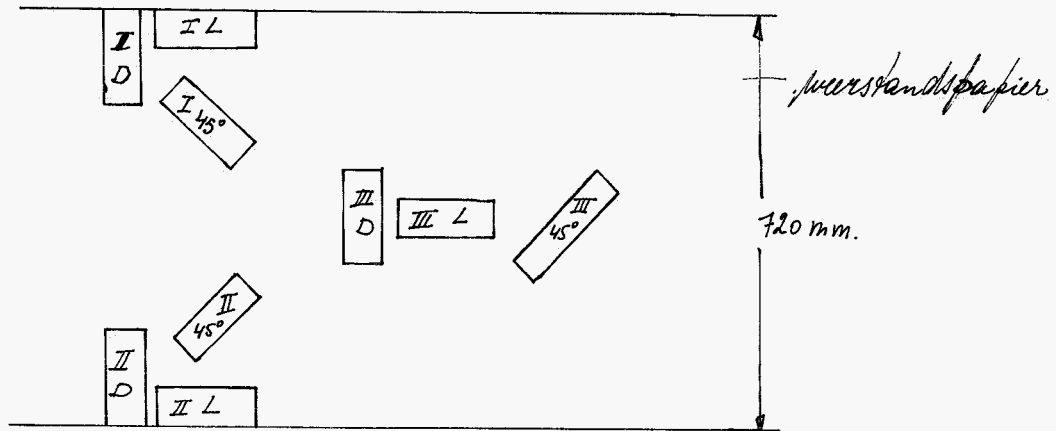


$R_1 = 30 \text{ cm}$
 $R_2 = 60 \text{ cm}$





de specifieke weerstand ρ van het gebruikte weerstandspapier



| | I L | I D | I 45° | II L | II D | II 45° | III L | III D | III 45° |
|--------------------|-------|-------|-------|-------|------|--------|-------|-------|---------|
| V volt | 20 | 20 | 20 | 20 | 20 | 20 | 20 | 20 | 20 |
| A mA | 3,32 | 2,88 | 2,85 | 3,66 | 3,2 | 3,32 | 3,5 | 2,96 | 3,1 |
| ρ Ω | 2070 | 2318 | 2340 | 1820 | 2080 | 2010 | 1900 | 2255 | 2150 |
| P % | 4,15% | 15,3% | 16,4% | 8,45% | 0,8% | 4,16% | 9,4% | 11,9% | 7,3% |

De proefstukjes zijn op de hierboven aangegeven plaatsen met het papier geknipt. De spanning V en de stroomsterkte A zijn volgens stroomstaande methode gemeten.

$V = A \cdot R.$ $V = \text{spanning (Volts)}$
 $V = A \cdot \frac{l}{b} \rho.$ $A = \text{ampere}$
 $R = \text{weerstand.}$

$\rho = \frac{V}{A \cdot \frac{l}{b}}$

Gemiddelde waarde van $\rho = 2097 \Omega$

De afwijking in % is gegeven in de tabel. ($\rho\%$)

Bijlage I

de formule die uitgerekend werd, is (zie bladz. 21)

$$\varphi' = \frac{\lambda}{u^2} \left[\frac{1}{2} (R-a)^2 + \frac{4aR}{P} \log \frac{r}{R-a} - \sum_{n=1,3,5}^{\infty} \frac{2(R^2+a^2)P^2}{(P^2+n^2\pi^2) n\pi} \cdot \frac{\cosh\left(\frac{2n\pi}{P}\theta\right)}{\cosh\left(\frac{2n\pi}{P}d\right)} \sin\left(\frac{2n\pi}{P} \log \frac{r}{R-a}\right) \right]$$

Constanten: $\lambda = 0,4$ $\gamma \rightarrow \frac{\lambda}{u^2} = \frac{1}{90}$ Variable: r
 $u = 6$ Parameter: θ
 $R = 45$
 $a = 15$
 $P = 2 \log\left(\frac{R+a}{R-a}\right)$
 $d = \frac{\pi}{2}$

Van de somfunctie zijn de eerste drie termen meegenomen.

Parameter: $\theta = 0,5, 10, 45, 75, 80, 83, 85, 86, 87, 88, 89, 90$

| | | |
|--------------------|-----------------|------|
| Variable: $r = 30$ | 32 | 59,4 |
| 30,2 | enk. in stappen | 59,6 |
| 30,4 | van 1 tot | 59,8 |
| 30,6 | 58 | 60. |
| 30,8 | 59 | |
| 31 | 59,2 | |

Programma.

Gegeven handje 20 FORMAT (F4.0)

660.
 665.
 670.
 645.
 675.
 680.
 683.
 685.
 686.
 687.
 688.
 689.
 690.

Programma kendje.

20 FORMAT (F4.0)

30 FORMAT (F5.1, 5H, F10.5)

HLAB = 0.4

U = 6.

R = 45.

AA = 15.

PI = 3.1415927

ALPHA = 1.5707964

A = HLAB / (U**2.)

B = 0.5 * ((R-AA)**2.)

D = 2. * LOG((R+AA)/(R-AA))

C = 4. * AA * R / D

EE = 2. * PI / D

EF = 3. * EE

EG = 5. * EE

FK = 2. * (R**2. + AA**2.) * (D**2.)

DE = FK / (((D**2. + PI**2.) * PI * (EXP(ALPHA * EE) + EXP(-ALPHA * EE))))

DF = FK / (((D**2. + 9. * (PI**2.)) * 3. * PI * (EXP(ALPHA * EF) + EXP(-ALPHA * EF))))

DG = FK / (((D**2. + 25. * (PI**2.)) * 5. * PI * (EXP(ALPHA * EG) + EXP(-ALPHA * EG))))

3 DO 15, I = 1, 13

ACCEPT TAPE 20, THETA

PUNCH TAPE 20, THETA

TET = THETA * PI / 180.

FE = EXP(EE * TET) + EXP(-EE * TET)

FF = EXP(EF * TET) + EXP(-EF * TET)

$$FG = \text{EXP}(EG * TET) + \text{EXP}(-EG * TET)$$

$$AR = 30.$$

$$J = 1$$

4 $G = \text{LOG}(AR / (R - AR))$

$$HE = \text{SIN}(EE * G)$$

$$HF = \text{SIN}(EF * G)$$

$$HG = \text{SIN}(EG * G)$$

$$PHI = A * (B + C * G - DE * FE * HE - DF * FF * HF - DG * FG * HG)$$

PUNCH TAPE 30, AR, PHI

IF (AR - 31.) 5, 6, 6

5 $AR = AR + 0.2$

GO TO 4

6 $J = J + 1$

IF (J - 30) 7, 8, 8

7 $AR = AR + 1.$

GO TO 4

8 IF (AR - 60.) 5, 15, 15

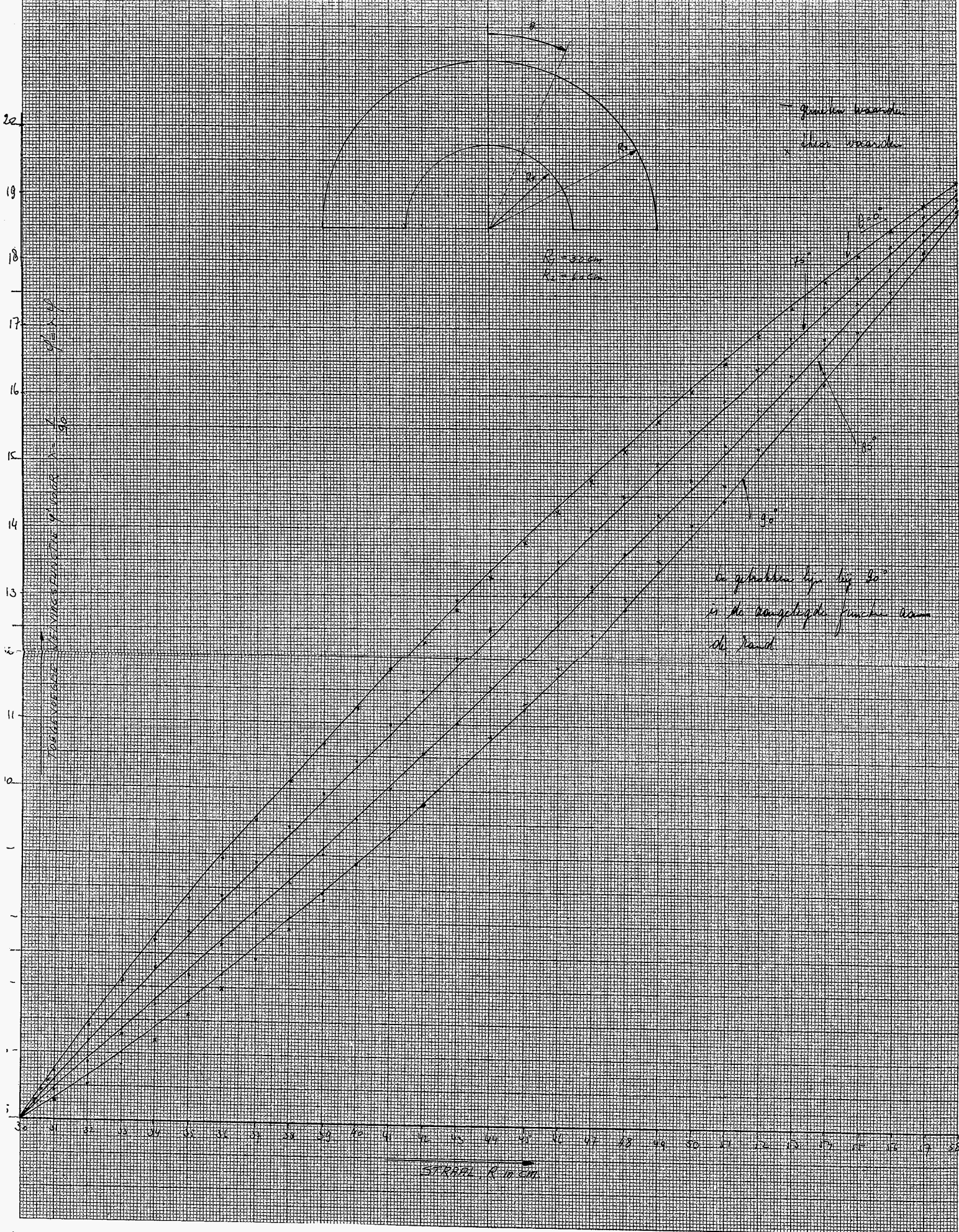
15 CONTINUE

STOP

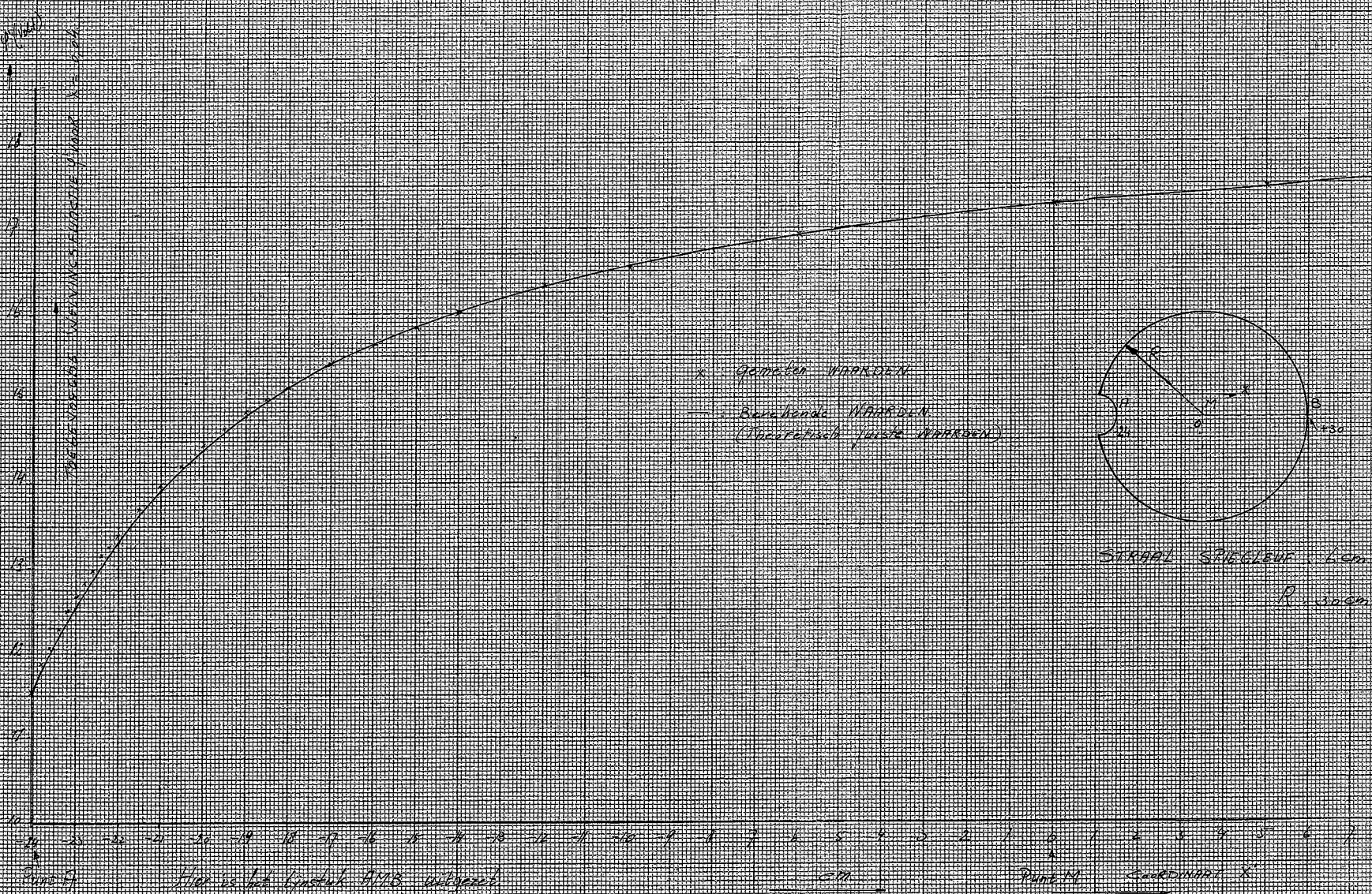
END

Uitvoering.

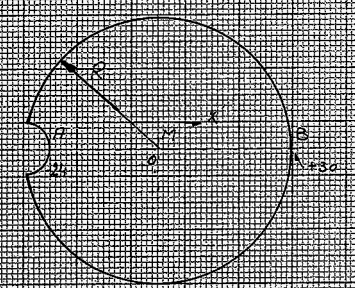
- Pons gegevensband
- Pons programmaband
- Vertalen van source programma
- Leg DATA-bandje (gegeven bandje) op
- traaien van programma met alle switches af.
- Resultaten komen uit machine via pons
- Decoderen van de ponsband



DEEL VOORBIJ WENNIGST MOEDERLIJKE VINDEN VAN DEER



x gemeten waarden
 - berekende waarden
 (Dit is waarschijnlijk juist waarden)



STRAAL SPREEKWIJDE
 R (cm)
 y (cm)

Hier is het stuk AMB uitgezet

CM

Punt M COORDINAT X